

بِسْمِ اللّٰهِ الرَّحْمٰنِ الرَّحِيْمِ



دانشکده کشاورزی

گروه زراعت و اصلاح نباتات

## بررسی برهمکنش فارج‌ها بر باکتری‌های پاتوژن گیاهی به منظور کنترل زیستی باکتری‌ها

دانشجو: ساره کاظم‌زاده

اساتید راهنما:

دکتر ناصر فرخی

دکتر مجتبی مهرآبادی

اساتید مشاور:

دکتر سعید امین‌زاده

دکتر شاهرخ قرنجیک

پایان نامه ارشد جهت اخذ درجه کارشناسی ارشد

۱۳۹۲

دانشگاه صنعتی شاهرود

دانشکده : کشاورزی  
گروه : زراعت و اصلاح نباتات

پایان نامه کارشناسی ارشد خانم ساره کاظمزاده

تحت عنوان: بررسی برهمکنش قارچ‌ها بر باکتری‌های پاتوژن گیاهی به منظور کنترل زیستی باکتری‌ها

در تاریخ ..... توسط کمیته تخصصی زیر جهت اخذ مدرک کارشناسی ارشد مورد ارزیابی و با درجه ..... مورد پذیرش قرار گرفت.

امضاء	اساتید مشاور	امضاء	اساتید راهنما
	نام و نام خانوادگی: دکتر سعید امین-زاده		نام و نام خانوادگی: دکتر ناصر فرخی
	نام و نام خانوادگی: دکتر شاهرخ قرنجیک		نام و نام خانوادگی: دکتر مجتبی ممر آبادی

امضاء	نماينده تحصيلات تكميلي	امضاء	اساتيد داور
	نام و نام خانوادگی: دکتر کامبیز جهان بین		نام و نام خانوادگی: دکتر مهدیه پارساییان
			نام و نام خانوادگی: دکتر حمیدرضا اصغری

تعدیم به:

پدرم

که راهی جز علم از فرزندانش نظریم، کرچه زمانه امان نداد که خود باستان خویشتن این کتیبه را به پیشاپیش تعدیم کنم.

مادرم

که بخطات ناب باور بودن، لذت و غرور داشتن، جسارت خواستن، عظمت رسیدن و تمام تجربه های یکتا و زیبای زندگیم می یون حضور ش است.

## مشکر و قدردانی

این پیمان نامه حاصل پیشیانی فکری و روحی افراد می‌شاری است که بر خود لازم می‌دانم در اینجا نخشی از آن هاراید آور شوم:  
تحت از محبت‌های بی‌دین خانواده‌ام، خصوصاً مدیر مربایم و برادران عزیزم عباس و حسین، که آرایش روحی و آسایش فکری مرافق ام نمودند تا با حیات‌هایی به جانبه د  
محیطی مطلوب، مرتب تحصیلی و نیز این پیمان نامه را به نوح احسن به امام بر سالم صمیمانه قدردانی می‌نمایم.

از این‌ایدی کرامی جناب آقای دکتر ناصر فرنجی و جناب آقای دکتر سید این زاده که در طول اجرای این تحقیق مراسمیله و معملاً یاری داده‌اند مشکر و قدردانی می‌نمایم.  
همین از جناب آقای دکتر مجتبی مرآبادی و جناب آقای دکتر شرح فرجیک که در طول اجرای این تحقیق از پیچ کونه مساحت و راهنمایی دین نمودند مشکر و  
پاسکزاری می‌نمایم.

از جناب آقای دکتر سید محمدی طلوی مدیرکروه محترم طرح او لویت محور شنکر مركبات به خاطر تائین هزینه‌های مالی طرح و نثارت دستای مراعل اجرایی پیمان نامه  
صمیمانه مشکر و پاسکزاری می‌نمایم.

از جناب آقای دکتر سرپل هیئت علمی مؤسسه کیهان پژوهی تهران به خاطر گمک در تهیه برخی از سویه‌ای قارچ مشکر و پاسکزاری می‌نمایم.  
همین از جناب آقای ابوالفضل مسعودی به خاطر گمک در تهیه جلدیه‌ای قارچ ویاری هاراهنمایی های ایشان پاسکزاری می‌نمایم.  
از جناب آقای دکتر حسن کرنی زاده به خاطر راهنمایی ایشان که به بسود نتیج گمک کرد پاسکزارم.

در اینها فرصتی است مقتضم تا از محبت‌های تمام دستان عزیزم در پژوه، سکھا ملی مهندسی روشیک، خانم ها زینب امروزی، هنزاگودرزی، فاطمه زبردست، انداز فیزی،  
ریحانه عنقی، سرچنایی، پروانه بکتاش، بهاره رجایی، اعلم مختاری و آقایان داریوش غلامی، علی مطلع، رضا بهروزی، یاسرا مینی، میثم رضایی و این کوهری پور مشکر  
نمایم. همین از بسیاری دیگر از این‌ایدی و دانشجویان پژوه، سکھا ملی مهندسی روشیک وزیرت فناوری که بنده را در طی دوره پژوه، هشی از دیدگاه هاراید های پر فایده می‌شان در ارتباط با  
موضوع این تحقیق بروندند مصیمانه پاسکزاری می‌نمایم.

# تعهد نامه

اینجانب ساره کاظم‌زاده دانشجوی دوره کارشناسی ارشد رشته بیوتکنولوژی کشاورزی دانشکده کشاورزی دانشگاه صنعتی شاهروド نویسنده پایان نامه بررسی برهمکنش قارچ‌ها بر باکتری‌های پاتوژن گیاهی به منظور کنترل زیستی باکتری‌های پاتوژن تحت راهنمایی دکتر ناصر فرخی و دکتر مجتبی ممرآبادی متعهد می‌شوم.

- تحقیقات در این پایان نامه توسط اینجانب انجام شده است و از صحت و اصالت برخوردار است.
- در استفاده از نتایج پژوهش‌های محققان دیگر به مرجع مورد استفاده استناد شده است.
- مطالب مندرج در پایان نامه تاکنون توسط خود یا فرد دیگری برای دریافت هیچ نوع مدرک یا امتیازی در هیچ جا ارائه نشده است.
- کلیه حقوق معنوی این اثر متعلق به دانشگاه صنعتی شاهروド می‌باشد و مقالات مستخرج با نام «دانشگاه صنعتی شاهروド» و یا «Shahrood University of Technology» به چاپ خواهد رسید.
- حقوق معنوی تمام افرادی که در به دست آمدن نتایج اصلی پایان نامه تأثیرگذار بوده اند در مقالات مستخرج از پایان نامه رعایت می‌گردد.
- در کلیه مراحل انجام این پایان نامه، در مواردی که از موجود زنده (یا بافت‌های آنها) استفاده شده است ضوابط و اصول اخلاقی رعایت شده است.
- در کلیه مراحل انجام این پایان نامه، در مواردی که به حوزه اطلاعات شخصی افراد دسترسی یافته یا استفاده شده است اصل اشت رازداری، ضوابط، و اصول اخلاقی رعایت شده است.

## تاریخ

### امضای دانشجو

#### مالکیت نتایج و حق نشر

- کلیه حقوق معنوی این اثر و محصولات آن (مقالات مستخرج، کتاب، برنامه‌های رایانه‌ای، نرم افزارها و تجهیزات ساخته شده است) متعلق به دانشگاه صنعتی شاهروド می‌باشد.
- این مطلب باید به نحو مقتضی در تولیدات علمی مربوطه ذکر شود.
- استفاده از اطلاعات و نتایج موجود در پایان نامه بدون ذکر مرجع مجاز نمی‌باشد.

\* متن این صفحه نیز باید در ابتدای نسخه‌های تکثیر شده پایان نامه وجود داشته باشد.

## چکیده

بیماری‌های باکتریایی از جمله دلائل اصلی خسارت در گیاهان به شمار می‌آیند. در این میان، باکتری عامل بیماری شانکر مركبات، *Xanthomonas citri* ssp. *citri* (Xcc) کشت لیمو در سراسر دنیا را تحت تأثیر خود قرار داده است. عمدتاً کنترل بیماری‌های گیاهی از طریق مواد شیمیایی صورت می‌گیرد که دارای اثرات منفی بر اکوسیستم‌ها است. در این مطالعه کنترل بیولوژیک پاتوژن‌های باکتریایی، که روشی سازگار با محیط است به کار گرفته شد. اثرات آنتاگونیستی سکروتوم دو قارچ در مقابل جدایه NIGEB-88 باکتری Xcc با استفاده از روش دیسک مورد ارزیابی قرار گرفت. به منظور تعیین ماهیت عصاره‌های دارای خاصیت ضد میکروبی، فعالیت هر دو سکروتوم در برابر طیفی از پروتئازها بررسی شد. فعالیت هر دو عصاره در حضور پروتئازها کاهش یافت که نشان از پروتئینی بودن ماهیت ترکیب بازدارنده دارد. در ادامه مطالعات، طیف بازدارندگی پروتئین‌های ضد میکروبی (AMPs) در مقابل سایر قارچ‌ها و باکتری‌های پاتوژن نیز مورد ارزیابی واقع شد که در همه موارد طیفی از بازدارندگی مشاهده گردید. همچنین این ترکیبات در مقابل گرما، pH های اسیدی و بازی و همینطور دترژنات‌ها پایداری خوبی را نشان دادند.

**واژگان کلیدی:** بیماری‌های باکتریایی، قارچ، کنترل بیولوژیک

## فصل اول: مقدمه

۲	۱- کلیات و سابقه تحقیق.....
۵	۲- کنترل زیستی.....
۸	۳- آنتی بیوتیک ها.....
۱۳	۱-۳-۱ پپتیدهای ریبوزومی.....
۱۳	۲-۳-۱ پپتیدهای غیر ریبوزومی.....
۱۶	۴- پپتیدهای آنتی باکتریال.....
۱۸	۱-۴-۱ پپتیدهای ضد میکروبی با منشا باکتریالی.....
۲۰	۱-۴-۲ پپتیدهای ضد میکروبی پستانداران.....
۲۰	۱-۴-۳ پپتیدهای ضد میکروبی گیاهی.....
۲۱	۱-۴-۴ پپتیدهای ضد میکروبی حشره ای.....
۲۲	۱-۵-۴ پپتیدهای ضد میکروبی دوزیستان.....
۲۲	۱-۵ مکانیزم عمل پپتیدهای آنتی باکتریال.....
۲۵	۱-۶ آنالیز توالی های پپتیدهای آنتی باکتریال.....

## فصل دوم: مواد و روش ها

۲۸	۱-۲ مواد شیمیایی.....
۲۸	۲-۲ دستگاه های آزمایشگاهی.....
۲۹	۳-۲ میکروارگانیزم ها.....
۲۹	۴-۲ جمع آوری داده ها به صورت بیوانفورماتیکی .....
۲۹	۵-۲ نمونه برداری و جداسازی قارچ از خاک.....
۳۱	۶-۲ جداسازی تک اسپور.....
۳۱	۷-۲ تهیه عصاره خام از هر یک از جدایه های قارچ.....
۳۲	۸-۲ سنجش فعالیت آنتی میکروبیال.....
۳۲	۹-۲ شناسایی مولکولی جدایه قارچی دارای خاصیت آنتاگونیستی.....
۳۳	۱۰-۲ استخراج DNA ژنومی به روش CTAB.....
۳۴	۱۱-۲ تکثیر ۱۸S rRNA به کمک واکنش زنجیره ای پلی مراز.....
۳۶	۱۲-۲ تأثیر حرارت بر فعالیت عصاره قارچی .....
۳۶	۱۳-۲ تأثیر pH بر فعالیت عصاره قارچی.....

۱۴-۲ تأثیر مواد شیمیایی بر فعالیت عصاره قارچی	۳۸
۱۵-۲ تست تعیین حداقل غلظت بازدارنده پروتئین آنتی باکتریال	۳۸
۱۶-۲ بررسی اثر زمان کشت بر تولید پروتئین های ضد میکروبی	۳۹
۱۷-۲ تست عصاره های قارچ به منظور بررسی اثر بازدارندگی بر روی آنزیم ترنسکریپتاز معکوس	۳۹
۱۷-۲ استخراج RNA	۴۰
۲-۱۷-۲ ستر cDNA	۴۰
۱۸-۲ SDS PAGE Tris Tricin	۴۱
۱۹-۲ تشخیص پروتئین دارای خاصیت کنترل کنندگی با استفاده از الکتروبلاستینگ	۴۴
۲۰-۲ تخلیص پروتئین	۴۵
۱-۲۰-۲ جداسازی و تخلیص پروتئین با استفاده از HPLC	۴۵

### فصل سوم: نتایج

۱-۳ شناسایی عصاره های دارای خاصیت آنتاگونیستی	۴۸
۲-۳ شناسایی جدایه قارچی شماره ۳	۵۲
۳-۳ بررسی طیف بازدارندگی سکروتوم قارچ <i>Aspergillus Sp.</i> و <i>T.harzianum 1103</i>	۵۲
۴-۳ بررسی اثر آنتاگونیستی دو عصاره قارچی بر روی سایر سویه های زانتوموناس	۵۶
۵-۳ تعیین غلظت پروتئین به روش بردفورد	۵۶
۶-۳ تأثیر پروتئازها بر فعالیت عصاره قارچی	۶۰
۷-۳ اثر دما، pH و مواد شیمیایی بر فعالیت عصاره های قارچی	۶۰
۸-۳ تعیین حداقل غلظت بازدارنده	۶۲
۹-۳ بررسی اثر زمان کشت بر تولید پروتئین های ضد میکروبی	۶۲
۱۰-۳ تست عصاره های دارای خاصیت آنتاگونیستی به منظور بررسی اثر بازدارندگی بر روی آنزیم	۶۵
۱۱-۳ و تعیین الگوی پروتئینی برای عصاره های قارچی SDS PAGE Tris Tricin	۶۶
۱۲-۳ تشخیص پروتئین دارای خاصیت کنترل کنندگی با استفاده از الکتروبلاستینگ	۶۷
۱۳-۳ تخلیص پروتئین ضد میکروبی عصاره قارچ Aspergillus Sp. به استفاده از HPLC	۶۷

### فصل چهارم: بحث

بحث	۶۹
پیشنهادات	۷۴
منابع	۷۵

# فصل اول

مقدمة

## مقدمه

روش‌های مختلفی برای کنترل بیولوژیک باکتری‌ها وجود دارد که از بین آن‌ها می‌توان به آنتی-بیوتیک‌ها (توکسین‌های میکروبی)، پپتیدها (پروتئین‌هایی با کمتر از ۱۰۰ اسید آمینه) و برخی پروتئین‌ها اشاره نمود. از آن‌جا که تأثیر قارچ‌ها بر کنترل بیولوژیک باکتری‌ها با استفاده از پروتئین‌ها و یا پپتیدهای آنتی‌باکتریال در تعداد محدودی از مطالعات گزارش شده است، در این پایان نامه بر آن شدیم ضمن معرفی این عوامل، تأثیر کنترلی قارچ‌ها را بر روی برخی از باکتری‌های پاتوژن، مورد بررسی قرار دهیم. برای این‌کار ابتدا مواد مترشحه مجموعه‌ای از قارچ‌ها جداسازی شد و اثر بیوکنترلی آن‌ها مورد ارزیابی قرار گرفت که نتایج حاصل از این مطالعه در فصل سوم آورده شده است. به‌طور کلی اهداف زیر از انجام این پژوهش متصور بوده است:

۱) شناسایی امکان کنترل باکتری‌ها به کمک قارچ‌ها و اثرات متقابل آن‌ها

۲) بررسی امکان کنترل بیولوژیک توسط مواد مترشحه قارچی

## ۱-۱ کلیات و سابقه تحقیق

کنترل آفات و بیماری‌ها و علف‌های هرز به دلیل خسارتی که به محصولات کشاورزی وارد می‌کنند در همه‌ی کشورها از اهمیّت زیادی برخوردار است. برای کنترل این عوامل خسارت‌زا از روش‌های گوناگونی استفاده می‌شود که از آن‌جمله می‌توان به کنترل زراعی، مکانیکی، بیولوژیکی، شیمیایی و تلفیقی اشاره کرد (صالحی و همکاران، ۱۳۸۸). کنترل شیمیایی رایج‌ترین شیوه کنترل آفات و بیماری‌های گیاهی است. افزایش سریع جمعیت کره زمین و نیاز روز افزون به تولید هر چه بیشتر مواد غذایی موجب گردیده تا علی‌رغم زیان‌ها و خطرات استفاده از سموم و مواد شیمیایی، این شیوه همچنان به عنوان شایع‌ترین روش در سراسر جهان، حتی در پیشرفت‌های ترین کشورها در نظر

گرفته شود. چنانکه بزرگ‌ترین مصرف‌کنندگان سموم و مواد شیمیایی کشاورزی آمریکا، ژاپن و فرانسه هستند. آمار و ارقام موجود نشان می‌دهند که مصرف آفت‌کش‌ها، علف‌کش‌ها و سموم کشاورزی در سال‌های اخیر در ایران نیز رشد نسبتاً چشمگیری داشته است (رضایی مقدم و همکاران، ۲۰۰۵). به‌طوری که در کمتر از یک دهه میزان فروش سموم در کشور از ۱۴,۸۰۰ تن (۱۳۷۴) به ۲۵,۸۰۰ تن (۱۳۸۱) رسیده است (خسروشاهی، ۱۳۸۵).

افزایش مصرف سموم شیمیایی، هزینه‌های بسیار زیادی از قبیل آلودگی آب، انتقال آن به خاک و دام‌ها، آلودگی مواد غذایی و علوفه دامی و آلودگی هوا را به دنبال داشته است (کاشانی، ۱۳۸۰). براساس گزارش‌های داخلی، شیوع بیش از اندازه بیماری‌هایی چون سلطان دستگاه گوارش، در برخی استان‌های کشور به مصرف بی رویه سموم کشاورزی نسبت داده شده است. روشن است که حفظ سلامت جامعه جز با رعایت استانداردهای کشاورزی پایدار ممکن نیست. از همین روست که در چند سال گذشته محدودیت‌هایی مانند عوارض زیست محیطی در مورد سموم در حال ثبت به طور جدی در دستور کار مسئولان قرار گرفته است. لذا راهبردهایی که مصرف سموم و مواد شیمیایی را کاهش دهند، می‌توانند از تخریب فزاینده محیط زیست جلوگیری و سبب بهبود آن شود (صالحی و همکاران، ۱۳۸۸).

تاریخچه‌ی آغاز کنترل بیولوژیک به انسان‌هایی بر می‌گردد که از کشاورزی با برنامه و برخوردار از نظم بهره می‌جستند. در هزاره سوم و چهارم پیش از میلاد مسیح به‌طور محدودی در منطقه بین‌النهرین از تناوب<sup>۱</sup> و کشت مخلوط<sup>۲</sup> استفاده می‌شد و خیلی زود سیستم‌های کشاورزی قرون وسطایی اروپا از تناوب و آیش برای کاهش بیماری‌ها و افزایش حاصلخیزی استفاده کردند. واژه

---

1- Crop rotation  
2- Inter cropping

کنترل بیولوژیک اول بار برای کنترل حشرات به‌وسیله شکارگرها<sup>۱</sup> به کار گرفته شد (کوک و بیکر، ۱۹۸۳؛ بیکر، ۱۹۸۷). گزارش‌ها در خصوص کنترل بیولوژیک بیماری‌ها توسط قارچ‌های آنتاگونیست، به اوایل قرن ۲۰ میلادی بازمی‌گردد. هارتلی (۱۹۲۱) قارچ آنتاگونیست خاکزادی را برای کنترل بوته میری<sup>۲</sup> در گیاهچه‌های کاج معرفی کرد. در سال ۱۹۲۸ آنتی‌بیوتیکی خاص به نام پنی‌سیلین توسط فلمینگ کشف شد (کمپبل، ۱۹۸۹؛ بابایی و همکاران، ۱۳۷۸). هنری (۱۹۴۳) بیماری‌های ریشه غلات را به‌وسیله میکرووارگانیزم‌های خاک کنترل کرد. واکسمن (۱۹۴۳) استرپتومایسین را از *Streptomyces* به دست آورد (سیلو و داز، ۲۰۰۴). با گذشت زمان به علت پیدایش مقاومت در باکتری‌ها تأثیر آنتی‌بیوتیک‌ها روز به روز کمتر شد. در نتیجه دانشمندان تلاش کردند تا آنتی‌بیوتیکی جدید را کشف کنند. در راستای تحقق این هدف از *Corylophilum dierckx* میکروبی داشت (سیلو و داز، ۲۰۰۴). ریشبیت (۱۹۶۳) مقاله‌ای را در مورد کنترل *Fomes annosus* به‌وسیله *Peniophora gigantea* منتشر کرد. در سال ۱۹۶۷، آنتی‌بیوتیک تتراسایکلین برای کنترل بیماری‌های گیاهی ناشی از موجودات شبیه باکتریایی به کار رفت (اگریوس، ۲۰۰۵). بندیکت و بردى (۱۹۷۲) فعالیت متابولیت‌های mushroom های انتخابی را روی تعدادی از باکتری‌ها امتحان و گزارش دادند که بهترین پاسخ بازدارندگی علیه باکتری‌های گرم مثبت و مخمرها است. این کشف اطلاعاتی را در مورد فعالیت ضد میکروبی تعدادی از mushroom ها فراهم کرد. سپس مایجیند و همکاران (۲۰۰۵) پپتید آنتی‌باکتریال دیگری را تحت عنوان plectasin از قارچ ساپروفیت *Pseudoplectania nigrella* با استفاده از <sup>۳</sup>NMR شناسایی کردند که این پپتید با

1- Predators

2- Damping off

3- Nuclear magnetic resonance

طولی معادل ۴۰ اسید آمینه و بار خالص <sup>۳</sup>+ دارای خاصیت آنتی باکتریالی علیه *Streptococcus* بود. سویوزنگ و همکارانش (۲۰۱۰) به پروتئین آنتی باکتریالی جدید از قارچ *pneumoniae* به وزن مولکولی ۴۴ کیلو دالتون دست یافتند. در همین سال یک پپتید آنتی باکتریال دیگر به وزن مولکولی ۶ کیلو دالتون به نام <sup>۱</sup>AcAMP با طولی معادل ۵۱ اسید آمینه و بار خالص <sup>۷</sup>+ از قارچ *Aspergillus clavatus* جدا شد که دارای آثار ضد باکتریایی علیه چندین باکتری گرم مثبت و گرم منفی بود ( حاجی و همکاران، ۲۰۱۰). در جدول (۱-۱) نام و توالی انتهای آمینی سه پپتید و پروتئین آنتی باکتریال جدا شده از قارچ‌ها آورده شده است.

در ادامه توضیحات بیشتری پیرامون کنترل باکتری‌های پاتوژن گیاهی به شیوه زیستی با استفاده از پروتئین‌ها و پپتیدهای ضد میکروبی داده می‌شود.

## ۲-۱ کنترل زیستی<sup>۲</sup>

براساس تعریف آکادمی ملّی علوم آمریکا، کنترل زیستی عبارت است از: استفاده از موجودات طبیعی یا تغییر یافته ژنتیکی و فرآورده‌های ژنی آن‌ها، برای کاهش اثر موجودات مضر و مناسب کردن شرایط برای موجودات مفید که از آن جمله می‌توان به گیاهان زراعی، حشرات و میکروارگانیزم‌های مفید اشاره کرد (احمدزاده، ۱۳۸۱).

واژه کنترل زیستی در علم زیست‌شناسی به‌ویژه حشره‌شناسی و بیماری‌شناسی گیاهی استفاده می‌شود. در حشره‌شناسی، برای توصیف حشرات زنده، شکارگرها<sup>۳</sup> و نماتدها و همچنین برای پاتوژن‌های میکروبی که جمعیت حشرات مختلف آفت را سرکوب می‌کنند استفاده شده است. در بیماری‌شناسی گیاهی نیز این واژه در مورد استفاده از آنتاگونیست‌های میکروبی برای سرکوب بیماری‌ها و همچنین

1- *Aspergillus clavatus* antimicrobial peptide

2- Biological control

3- Predators

در استفاده از میزبان تخصصی پاتوژن‌ها برای کنترل جمعیت علف‌های هرز کاربرد دارد. در هر دو رشته، موجودی که پاتوژن را سرکوب می‌کند به عنوان عامل کنترل بیولوژیک (BCA<sup>۱</sup>) تعریف می‌شود (اگریوس، ۲۰۰۵). به طور کلی آثار متقابلی که منجر به کنترل زیستی می‌شوند، در سه دسته کلی

---

#### جدول ۱- نام و توالی پپتیدها و پروتئین‌های آنتی‌باکتریال جدا شده از قارچ‌ها (aps.unmc.edu)

---

نام قارچ	توالی آمینواسیدی
<i>Pseudoplectania nigrella</i>	GFGCNGPWEDDMQCHNHCKSIKGYKGGYCAKGGFVCKCY
<i>Clitocybe sinopica</i>	ATRVVYCNRRSGSVVGGDDTVYYEG
<i>Aspergillus clavatus</i>	ATYDGKCYKKDNICKYKAQSGKTAICKCYVKVCPRDGAKCEFDSYKGKCYC

---

شامل آنتاگونیست مستقیم<sup>۱</sup>، آنتاگونیست ترکیبی<sup>۲</sup> و آنتاگونیست غیر مستقیم<sup>۳</sup> قرار می‌گیرند که هریک دارای انواعی است. در ادامه به انواع مکانیزم‌های کنترل زیستی به تفکیک اشاره خواهد شد.

آنتاگونیست مستقیم در حقیقت براساس تماس‌های فیزیکی ایجاد می‌شود و خود شامل مکانیزم هایپرپارازیتیسم<sup>۴</sup> است که در این مکانیزم پاتوژن به صورت مستقیم به وسیله عوامل کنترل زیستی مورد حمله قرار می‌گیرد (کریشن و گاردنر، ۲۰۰۶).

در آنتاگونیست غیرمستقیم یک پاتوژن به وسیله‌ی عوامل کنترل بیولوژیک مورد حمله قرار نمی‌گیرد. بلکه در اثر رقابت<sup>۵</sup> و القا مقاومت میزبانی<sup>۶</sup> عامل بیمارگر، حشره آفت و یا علف هرز از میان برداشته می‌شود.

رقابت زمانی رخ می‌دهد که دو و یا تعداد بیشتری از موجودات از همان چیزی که به مقدار کمتر وجود دارد استفاده می‌کنند (کمپبل، ۱۹۸۹). به عنوان مثال بعضی از میکروارگانیزم‌ها با تولید ترکیباتی به نام سیدروفور (سیدروفور ریشه یونانی دارد و به معنی حامل آهن است) با آهن سه ظرفیتی پیوند برقرار کرده و سبب می‌شود که ترکیبات حاصل به مصرف گیاه برسد و بدین صورت آهن را از دسترس بیمارگرهای گیاهی خارج می‌کنند (احمدزاده، ۱۳۸۱).

گیاهان به طور عمده با دو شیوه با استفاده از القا مقاومت در میزبان، در مقابل پاتوژن از خودشان دفاع می‌کنند. اولاً واکنش‌های ساختاری که در واقع موانع و سدهای فیزیکی گیاه هستند و این ساختارها مانع از نفوذ و انتشار بیمارگر در گیاه می‌شوند و ثانیاً واکنش‌های بیوشیمیایی که در سلول‌ها و بافت‌ها رخ می‌دهد که نتیجه آن تولید موادی است که برای بیمارگر سمی هستند یا

1- Direct antagonism

2- Mixed-path antagonism

3- Indirect antagonism

4 - Hyper parasitism

5- Competition

6- Induction of host resistance

شرایطی را ایجاد می‌کند که مانع از رشد بیمارگر در گیاه می‌شوند. این مکانیزم‌ها ممکن است از پیش وجود داشته باشند یا در اثر تحیریک بیمارگر یا عوامل دیگر مثل باکتری‌های مفید ریشه ایجاد شود. در نتیجه این تحیریکات سیگنال‌های مقاومت تولید و در سراسر گیاه پخش می‌شوند. این پیام‌ها باعث تحیریک پروتئین‌های تنظیم کننده بیان ژن‌های مقاومت می‌گردد و موجب بیان این ژن‌ها در سراسر گیاه می‌شوند (احمدزاده، ۱۳۸۱).

در نهایت آنتاگونیست ترکیبی، به مکانیزم‌هایی اطلاق می‌شود که بر اساس ترکیب پاتوژن، آنتاگونیست را بوجود می‌آورند که خود به دو گروه آنزیم‌های لیتیک<sup>۱</sup> و آنتی‌بیوتیک‌ها<sup>۲</sup> تقسیم می‌شوند:

به طور کلی میکروارگانیزم‌ها متابولیت‌هایی را ترشح می‌کنند که می‌تواند در رشد پاتوژن و یا فعالیت آن اختلال ایجاد کند. تعداد زیادی از میکروارگانیزم‌ها آنزیم‌های تجزیه کننده‌ای مانند کیتینازها، گلوکونازها و پروتئازها را تولید می‌کنند که می‌تواند ترکیباتی مثل پروتئین‌ها، سلولز، همی‌سلولز، DNA و... را تجزیه کنند. از جمله فرآورده‌های جانبی که ممکن است از رشد پاتوژن‌ها ممانعت کند هیدروژن سیانید است که به طور مؤثری مسیر سیتوکروم اکسیداز را بلوکه می‌کند (کریشنا و گاردنر، ۲۰۰۶).

### ۱-۳ آنتی‌بیوتیک‌ها

در واقع توکسین‌های میکروبی هستند که در غلظت‌های کم سمی هستند و می‌توانند سبب مرگ سایر موجودات شوند (کریشنا و گاردنر، ۲۰۰۶). تاکنون چندین سویه باکتریایی برای تولید آنتی‌بیوتیک‌ها شناخته شده‌اند که می‌توانند از رشد یک یا چند پاتوژن جلوگیری کنند مثلاً سویه‌ی *Bacillus cereus* UW85، به تولید زویتروومایسین و کانامایسین می‌پردازد (اسمیت و همکاران،

1- Lytic enzymes

2- Antibiotics

۱۹۹۳). توانایی تولید چند آنتیبیوتیک به طور مؤثری از رشد پاتوژن‌ها جلوگیری می‌کند و می‌تواند احتمال بیوکنترل را افزایش دهد. از جمله این آنتیبیوتیک‌ها می‌توان به لیپوپپتیدهای حلقوی<sup>۱</sup> (شکل ۱-۱) اشاره کرد (کریشنا و گاردنر، ۲۰۰۶). به طور کلی صدها آنتیبیوتیک با ساختار پپتیدی در طی نیم قرن گذشته شناسایی شده‌اند (هنکوک و همکاران، ۱۹۹۵؛ کلیانکوف و همکاران، ۱۹۸۸؛ پرلمن و همکاران، ۱۹۷۱) که در دو گروه، پپتیدهای غیر ریبوزومی<sup>۲</sup> مانند gramicidins، defensin<sup>۳</sup> (طبیعی) مثل glycopeptides، bacitracin، polymyxins طبقه بندی می‌شوند. گروه اوّل اغلب به وسیله‌ی باکتری‌ها و قارچ‌ها تولید می‌شود (موتز و همکاران، ۲۰۰۲؛ ریبر و همکاران، ۲۰۰۵). در حالی که گروه دوم متابولیت‌های بیواکتیو را در همه موجودات زنده تولید می‌کنند (هنکوک و کپل، ۱۹۹۹). پپتیدهای آنتی میکروبیال (AMPS)<sup>۴</sup> نقش حفاظتی مهمی برای موجودات زنده ایفا می‌کنند. با مقایسه پپتیدهای تمامی موجودات زنده می‌توان به این نتیجه رسید که می‌توان از آن‌ها، برای طراحی پپتیدهایی علیه برخی موجودات خاص استفاده کرد. هرچند برخی از گروه‌های ساختاری در این پپتیدها به صورت تصادفی ایجاد می‌شوند (هنکوک و همکاران، ۱۹۹۵). این پپتیدها با یک بخش قطبی و یک بخش آب‌گریز، ساختار دوگانه دوستی<sup>۵</sup> دارند. آب‌گریزی<sup>۶</sup> خصوصیت ضروری برای پپتیدهای آنتی‌میکروبیال است چون به واسطه این خاصیت می‌توانند با غشای دولاویه تماس برقرار کنند (یمن و همکاران، ۲۰۰۳). اکثر پپتیدهای آنتی‌میکروبیال حداقل ۵۰٪ اسیدهای آمینه هیدروفوب و نسبت پایینی از اسیدهای آمینه خنثی و

1- Cyclic lipopeptid

2- Non ribosomally

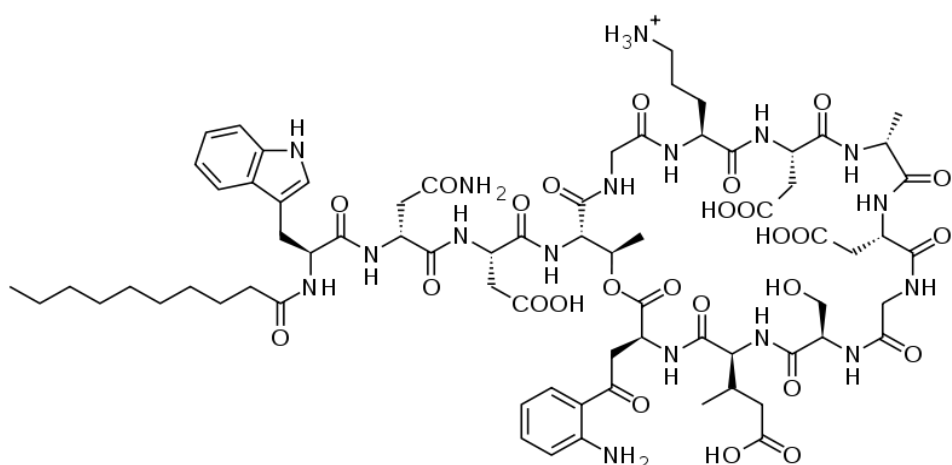
3- Ribosomally

4- Antimicrobial peptides

5- Amphipathic

6- Hydrophobicity

بار منفی را دارا هستند. هرچند پپتیدهای که فعالیت ضد قارچی دارند، نسبت بالاتری از اسدآمینه‌های خنثی را دارند (هنکوک و همکاران، ۱۹۹۹).



شکل ۱-۱ ساختاری از Daptomycin- یک لیپوپپتید حلقوی. از جمله لیپوپپتیدهای حلقوی است که در درمان عفونت‌های ناشی از باکتری‌های گرم مثبت مورد استفاده قرار می‌گیرد (en.wikipedia.org)

تعداد زیادی از پپتیدهای آنتی میکروبیال که تا این زمان کشف شده‌اند بار مثبتی را از  $+2$  تا  $+9$  نشان می‌دهند. باید توجه کرد که ارتباط بین بار و خاصیت آنتی‌باکتریالی ضرورتاً خطی نیست. اساساً تا محدوده خاصی افزایش بار مثبت پپتید، سبب افزایش خاصیت آنتی‌میکروبیالی آن می‌شود. به عنوان مثال در Magainin پپتید آنتی‌باکتریال ترشحی به وسیله پوست قورباغه، دیده شده است که افزایش بار از  $+3$  به  $+5$  سبب افزایش فعالیت آنتی‌باکتریالی، علیه باکتری‌های گرم مثبت و گرم منفی می‌شود. اما وقتی بار از  $+6$  به  $+7$  افزایش یافت خاصیت تجزیه کنندگی<sup>۱</sup> نیز افزوده شد در حالی که خاصیت آنتی‌میکروبیالی کاهش یافت (داته و همکاران، ۲۰۰۱).

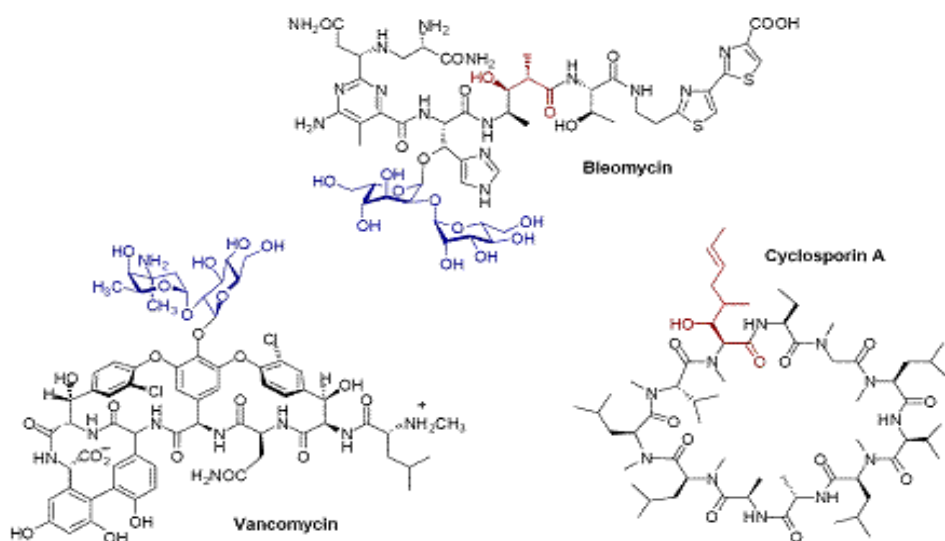
اگرچه پپتیدهای ضد میکروبی ساختار متفاوتی دارند ولی بیشتر آن‌ها دارای دو یا چند اسید آمینه با بار مثبت مثل آرژنین و لیزین هستند. پپتیدهای ضد میکروبی اثر آنتی‌بیوتیکی خود را به طرق مختلف از جمله نفوذپذیر کردن غشاء و تداخل در متابولیسم با هدف قرار دادن اجزای سیتوپلاسمی خاص اعمال می‌کنند.

در بسیاری موارد، این فعالیت آنتی‌بیوتیکی با آزمایشات زیست‌سننجی شناسایی می‌شود و مکانیزم واقعی کشتن ناشناخته است. علاوه بر کشتن میکرووارگانیزم‌ها به‌طور مستقیم، این پپتیدها با سیستم ایمنی نیز واکنش می‌دهند. این پپتیدها بر عکس آنتی‌بیوتیک‌های متعارف عموماً طیف اثر گسترده‌ای دارند و ظاهراً بر علیه آن‌ها مقاومت ایجاد نمی‌شود. دلیل این مسئله هم تا حدی این است که آن‌ها بیشتر باکتریوساید<sup>۲</sup> هستند و در زمان کوتاهی سبب کشتن سلول‌های بیماریزا می‌شوند. به عبارت دیگر موجوداتی که با غلظت مؤثر این ترکیبات مواجه می‌شوند، عموماً قبل از آن که وقتی برای ایجاد مقاومت پیدا کنند کشته می‌شوند. چون این پپتیدها مولکول‌های کاملاً مؤثر و قدرتمندی

1- Hemolytic

2- Bactericide

هستند، لذا در میزبان‌ها به مقدار بسیار ناچیزی وجود دارند. در نتیجه خالص سازی مقدار کافی آن‌ها، حتی برای آنالیز معمولاً دشوار است ([www.zare-bidaki.com](http://www.zare-bidaki.com)). در شکل (۲-۱) ساختار چند پپتید آنتی بیوتیک آورده شده است.



شکل ۲-۱ ساختاری از چند پپتید آنتی میکروبیال که به شیوه غیر ریبوزومی سنتز شده‌اند- [www.beilstein-institut.de](http://www.beilstein-institut.de) (institut.de). یک آنتی بیوتیک گلیکوپپتیدی است که با اثر بر روی ساخت دیواره سلولی بر روی اغلب باکتری‌ها کشنده است. Bleomycin از جمله آنتی بیوتیک‌های گلیکوپپتیدی است که فعالیت ضد سرطانی دارد. Cyclosporin A سرکوب کننده سیستم ایمنی است.

### ۱-۳-۱ پپتیدهای ریبوزومی

این پپتیدها در طی فرآیند ترجمه mRNA، در داخل ریبوزومها ایجاد می‌شوند. نخستین بار کیس و میچل (۱۹۶۲) به حضور پپتیدهای ضد میکروبی و همولیتیک در ترشحات پوستی *Bombina vaiegata* توجه کردند و این مسئله به جدا کردن یک پپتید آنتی میکروبیال با ۲۴ اسید آمینه به نام bombinin کمک کرد (کزوردادس و میچل، ۱۹۷۰). از پوست قورباغه قرن‌هاست که برای اهداف دارویی استفاده می‌شود و هنوز هم در کشورهای آمریکای جنوبی از آن استفاده می‌کنند. ده سال بعد نیز یک پپتید همولیتیک آنتی‌میکروبیال دیگری به نام melittin از سم زنبور عسل<sup>۱</sup> جدا شد (هابرمن، ۱۹۷۲).

Melittin محرک قدرتمندی برای فسفولیپازها است و این ماهیّت تجزیه‌کنندگی اجازه نمی‌داد که از آن به عنوان آنتی‌میکروبیال جدید بهره برداری شود، اما منجر به جدا شدن پپتیدهای متعددی با فعالیّت ضد میکروبی و بدون فعالیّت تجزیه‌کنندگی شد (بونیز، ۱۹۹۴؛ کریل، ۱۹۹۴؛ بومن، ۱۹۹۵؛ هنکوک و همکاران، ۱۹۹۵؛ بروکرت و همکاران، ۱۹۹۷؛ گنز و لهر، ۱۹۹۷).

پپتیدهای آنتی‌میکروبیال ریبوزومی به عنوان بخش مهمی از ایمنی ذاتی به رسمیت شناخته شده‌اند (بونیز، ۱۹۹۴؛ بومن، ۱۹۹۵؛ هنکوک و لهر، ۱۹۹۸). با این حال بررسی این پپتیدها مشخص کرده است که این توالی‌ها همولوژی کمی با هم دارند و این نشان می‌دهد که هر پپتید، برای انجام عملی مطلوب در طبیعت تکامل یافته است. البته این عدم همسانی، پیش‌بینی توالی آن‌ها را نیز با دشواری مواجه ساخته است (هنکوک و همکاران، ۱۹۹۹).

### ۱-۳-۲ پپتیدهای غیر ریبوزومی

پپتیدهای غیر ریبوزومی طبقه‌ای از متابولیت‌های ثانویه پپتیدی‌اند که معمولاً به وسیله‌ی باکتری‌ها و قارچ‌ها تولید می‌شوند و از دو یا چند اسید آمینه مشتق شده‌اند (پرلمن و بودن اسکای، ۱۹۷۱؛ کلینکوف و دوهرن، ۱۹۸۸). بیوسنتز این پپتیدها به وسیله‌یک و یا تعداد خاصی از آنزیم‌های اختصاصی، تحت عنوان<sup>۱</sup> NRPs صورت می‌گیرد. اولین پپتید غیر ریبوزومی قارچی بود که تنها به وسیله‌یک NRPs با وزن مولکولی ۱/۶ مگا‌دالتون سنتز می‌شود. Cyclosporin ژن‌های NRPs در پروکاریوت‌ها در اپران<sup>۲</sup> و در یوکاریوت‌ها در خوش‌های ژنی<sup>۳</sup> سنتز می‌شوند (وست و همکاران، ۲۰۰۲؛ کلهر و همکاران، ۲۰۰۵). این آنزیم‌ها قالب‌هایی را سازماندهی می‌کنند که هر قالب شامل چندین دومایین<sup>۴</sup> با عملی مشخص است و این دومایین‌ها هر یک با spacer که طول هریک حدود ۱۵ اسید آمینه است جدا می‌شوند (تورگای و همکاران، ۱۹۹۲). مسیر بیوسنتز پپتید آنتی‌باکتریال A Tyrocidine در شکل ۱-۳ ترسیم شده است. همانطور که در شکل نشان داده شده است، سنتز پپتیدهای غیر ریبوزومی بر اساس مکانیزمی چند ناقلی<sup>۵</sup> انجام می‌پذیرد (استین و همکاران، ۱۹۹۶). در این مجموعه‌ی الگو، مجموعه‌ای از پپتیدهای چند منظوره<sup>۶</sup> بسیار بزرگ، با برنامه‌ریزی مدون، پپتید را سنتز می‌کنند. این مکانیزم می‌تواند سبب تنوع شیمیایی زیادی در محصولات پپتیدی شود. شامل هیدروکسی<sup>۷</sup>، راست گرد و چپ گرد بودن و یا حتی در پیدایش اسیدهای آمینه غیر معمول<sup>۸</sup> نقش داشته باشد که خود می‌تواند سبب تغییرات بعدی، از جمله Nمتیلاسیون<sup>۹</sup>، آسیلاسیون<sup>۱</sup>، گلوکوزیلاسیون<sup>۲</sup> و یا تشکیل حلقه هتروسیکلیک<sup>۳</sup> را موجب گردد.

1- Nonribosomal peptide synthetases

2- Operon

3- Gene clusters

4- Domains

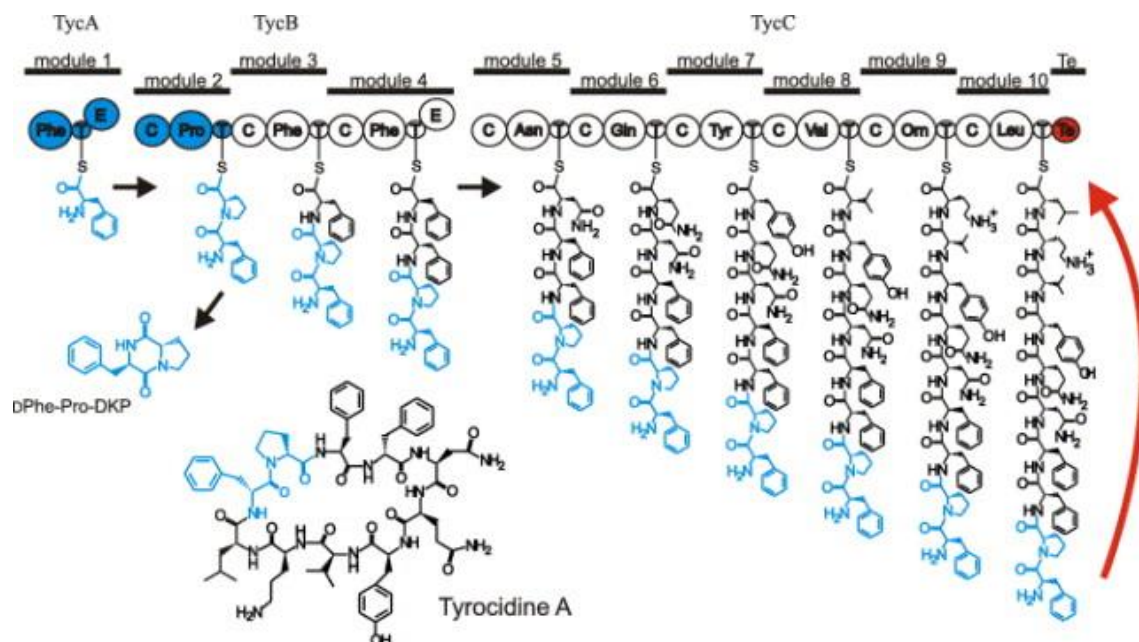
5- Multi-carrier

6- Mmultifunctional

7- Hydroxy

8- Unusual amino acids

9- N-metylation



شکل ۳-۱ به طور کلی ۳ آنزیم NRPs، شامل TycC، TycB، TycA برای سنتز Tyrocidine A فعالیت می‌کنند. TycA از یک قالب، TycB از سه قالب و TycC از ۶ قالب تشکیل شده‌اند. هر یک از این قالب‌ها مسئول درج یک اسیدآمینه در زنجیره پلی پپتیدی هستند. در نهایت دومایین TE (که با رنگ قرمز مشخص شده است) در قالب انتهایی TycC سبب انتشار نسخه نهایی پپتید می‌شود (هنینگ، ۲۰۰۰)

- 1- Acylation
- 2- Glycosylation
- 3- Heterocyclic ring

از جمله پپتیدهای غیر ریبوزومی می‌توان به گلیکوپپتیدهایی<sup>۱</sup> مثل Teicoplanin و vancomycin و اشاره کرد که در آن‌ها زنجیرهای پپتیدی حاوی زیروحد قندی است (شکل ۴-۱) (ریبر و همکاران، ۲۰۰۵).

#### ۴- پپتیدهای آنتی‌باکتریال

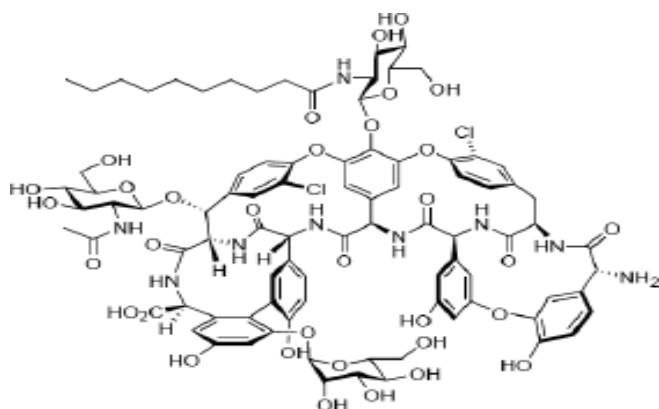
این پپتیدها، آنتی‌بیوتیک‌هایی با طیف عمل گسترده هستند که به عنوان عوامل نوین درمانی مطرح هستند. نخستین بار، هولتمارک و همکارانش (۱۹۸۰) دو پپتید مقاوم در برابر حرارت را که خاصیت آنتی‌باکتریالی زیادی داشتند، از *Hyalophora cecropia* جدا کردند. یک سال بعد نیز دو پپتید خطی دیگر با ۳۵ و ۳۷ اسید آمینه و بدون سیستئین خالص شد (استینر و همکاران، ۱۹۸۱). در سال ۱۹۸۳ دو پپتید آنتی‌باکتریال با سه سیستئین از خرگوش جدا گردید که بعدها نام آن-*defensin* گذاشتند (سلستد و همکاران، ۱۹۸۵). این کار با جدا کردن پپتیدهایی از سایر حشرات و پستانداران ادامه یافت. پس از جدا کردن magainin توسط زاسلوف<sup>۲</sup> از ترشحات پوست قورباغه، دانشمندان به این موضوع علاقمند شدند. تاکنون حدود ۱۳۹۶ توالی پپتیدی با خاصیت آنتی-باکتریالی از موجودات مختلف کشف شده است (Aps.unmc.edu). اما از این تعداد، تنها ۴ توالی آن متعلق به قارچ‌هاست.

به‌طور کلی پپتیدهای آنتی‌باکتریال را می‌توان در ۵ گروه با ساختارهای سه‌بعدی متفاوت گروه-بندی کرد (بومن، ۱۹۹۵؛ جک و همکاران، ۱۹۹۸) اما تاکنون دانشمندان فقط روی سه گروه آن تمرکز کرده‌اند. این گروه‌ها شامل: ۱) پپتیدهای خطی بدون سیستئین و اغلب با یک مارپیچ آلفا و

1- Glycopeptide

2- Zasloff

ساختاری دوگانه دوست ۲) پپتیدهایی با سه پیوند دی سولفیدی با ساختار  $\beta$ -sheet ۳) پپتیدهایی با اسیدهای آمینه غیر معمول مثل پرولین، آرژینین، تریپتوفان و هیستیدین.



شکل ۴-۱ شمایی از Teicoplanin-پپتید غیر ریبوzومی حاوی زبر واحد قندی. این پپتید آنتیبیوتیک با مهار سنتز دیواره سلولی علیه باکتری‌های گرم مثبت فعالیت می کند ([www.jmg.ch.cam.ac.uk](http://www.jmg.ch.cam.ac.uk)).

توضیح آن که این اسیدهای آمینه غیر معمول از طریق تغییر در اسیدهای آمینه معمولی در اثر تغییرات پس از رونویسی<sup>۱</sup> ایجاد می‌شوند. اغلب آمینواسیدهای غیر معمول به فعالیت زیستی پروتئین‌ها و پپتیدهای آنتی‌باکتریال از جمله افزایش طول عمر در شرایط *in vivo*, خاصیت انتخابی و ... کمک می‌کنند (بومن، ۲۰۰۳). در ادامه نگاهی اجمالی به پپتیدهای ضد میکروبی در باکتری‌ها، پستانداران، دوزیستان، حشرات و گیاهان خواهیم داشت.

#### ۱-۴-۱ پپتیدهای ضد میکروبی با منشاً باکتریایی

تاکنون ۱۴۳ پپتید ضد میکروبی با منشاً باکتریایی کشف شده است (aps.unmc.edu). این پپتیدها هر دو گروه خنثی و کاتیونیک را دارا هستند و از باکتری‌های گرم مثبت و گرم منفی ترشح می‌شوند. پپتیدهای ضد میکروبی ترشح شده به وسیله باکتری‌ها، تحت عنوان کلی باکتریوسین‌ها طبقه بندی می‌شوند (آبی، باب و اسکنویند، ۱۹۹۸؛ جک و ژانگ، ۱۹۹۸). باکتریوسین‌ها می‌توانند رقبای باکتریایی خود را از بین ببرند این در حالیست که برای باکتری میزبان، به علت تغییرات پس از رونویسی و یا مکانیزم‌های خاص ایمنی، کمتر آسیب پذیر هستند (اسکنویند و باب، ۱۹۹۸). تعدادی از باکتریوسین‌ها، شامل *Escherichia coli* از باکتری *Microcin c7* پپتیدی با ۷ اسید آمینه را تولید می‌کند که از سنتز پروتئین‌ها جلوگیری می‌کند و یا پپتید Mersacidin که توسط *Lactococcus* ایجاد و از بیوسنتز پپتیدوگلایکان‌ها ممانعت می‌کند، با مکانیزم‌های خاصی عملکرد باکتریایی را کاهش می‌دهند. هر چند تصور می‌شود که بیشتر این پپتیدها مثل Nisin و Epidermidin در غشا سلول هدف ایجاد نشد می‌کنند (وان و همکاران، ۱۹۹۱؛ اسکنویند و باب، ۱۹۹۸). در جدول (۲-۱) نام برخی از پپتیدهای ضد میکروبی جدا شده از باکتری‌ها آورده شده است.

1 - Post transcriptional modification  
2- Bacteriocins

جدول ۲-۱ برخی از پپتیدهای ضد میکروبی جدا شده از باکتری‌ها (Aps.unmc.edu)

Name of bacteria	Name of antibiotic	sequence	Reference
<i>Escherichia coli</i> AY25	Microcin J25	VGIGTPIFSYGGGAGHVPEY F	(Rosengren KJ and et al., 2003)
<i>Serratia plymuthica</i>	Serracin-P	ALPKKKYLNLNFNDGFNY MGVV	(Jabrane A. and et al., 2002)
<i>Serratia plymuthica</i>	Serracin-P	DYHHGVRVL	(Jabrane A. and et al., 2002)
<i>Bacillus subtilis</i>	Entianin	WKSESVCTPGCVTGLLQTC FLQTITCNCKISK	(Fuchs SW. and et al., 2011)
<i>Escherichia coli</i>	Microcin C7	MRTGNAD	(Garcia-Bustos JF. And et al., 1985)
<i>Bacillus thuringiensis</i> DPC 6431	Thuricin CD	GNAACVIGCIGSCVISEGIG SLVGTAAFTLG	(Rea MC. And et al., 2010)
<i>Halobacterium strain AS7092</i>	Nisin Q	ITSISLCTPGCKTGVLMGCN LKTATCNCVHSVSK	(Zendo T. and et al., 2003)
<i>Streptococcus mutans</i>	Mutacin II	NRWWQGVVPTVSYECRM NSWQHVFTCC	(Nicolas G, and et al., 2006)

### ۱-۴-۲- پپتیدهای ضد میکروبی پستانداران

تاکنون ۴۳ پپتید آنتی باکتریال از پستانداران جدا شده است (Aps.unmc.edu). پپتیدهای ضد میکروبی پستانداران را می‌توان در نوتروفیل‌ها<sup>۱</sup> (گویچه‌های سفید بیگانه‌خوار)، ترشحات پوستی سلول‌های مخاطی<sup>۲</sup> و یا در تجزیه ترکیبات پروتئینی یافت (بومن، ۱۹۹۵). نوتروفیل‌هایی که اختصاصاً فعالیت ضد میکروبی دارند حاوی طیف وسیعی از پروتئین‌ها و پپتیدهای آنتی‌میکروبیال هستند که از آن جمله می‌توان به لیزوزیم، لاکتوفیرین<sup>۳</sup>، cathelicidins و defensin و ... اشاره کرد (گنز و همکاران، ۱۹۹۵؛ هنکوک و همکاران، ۱۹۹۰). انواع سلول‌های دیگر از جمله سلول‌های اپتیلیال،  $\beta$ -defensin و  $\alpha$ -defensin می‌کنند. بیشتر تحقیقات انجام شده در ارتباط با پپتیدهای پستانداران، در مورد defensin‌ها است (گنز و همکاران، ۱۹۹۰). defensin‌ها در دو گروه قرار می‌گیرند، شامل  $\alpha$ -defensin و انواع کلاسیک، که گاهآنرا آلفا می‌نامند. عمدتاً defensin کلاسیک در درون نوتروفیل‌ها و سلول‌های اپتیلیال، نوتروفیل‌ها و لکوسیت‌ها حضور دارند. البته defensin و paneth در چربی بدن حشرات و دانه گیاهان نیز یافت شده‌اند (بومن، ۱۹۹۵؛ بروکارت و همکاران، ۱۹۹۷). پپتیدهای ضد میکروبی پستانداران بر علیه باکتری‌ها، قارچ‌ها و ویروس‌ها مؤثر هستند (گنز و همکاران، ۱۹۹۰).

### ۱-۴-۳- پپتیدهای ضد میکروبی گیاهی

تاکنون ۶۲ پپتید آنتی‌باکتریال از گیاهان جدا شده است (aps.unmc.edu). اصولاً پپتیدهای گیاهی مولکول‌های پروتئینی با وزن کمتر از ۱۰ کیلو دالتون و اغلب دارای توالی موتیفی خاصی

1- Neutrophils

2- Epithelial cell

3- Lactoferrin

هستند. تیونین<sup>۱</sup> اوّین پپتید آنتی‌میکروبیال جدا شده از گیاهان است که امروزه به عنوان یک آنتی-بیوتیک جدید گسترش یافته است (فرخی و همکاران، ۲۰۰۸). این پپتیدها برای باکتری‌های گرم مثبت و گرم منفی، قارچ‌ها، مخمرها و انواع مختلف سلول‌های پستانداران سمی هستند. عمدتاً پپتیدهای آنتی‌میکروبیال جدا شده از گیاهان ساختاری مشابه defensin حشرات و پستانداران دارند به همین علت به آن‌ها defensin‌های گیاهی<sup>۲</sup> می‌گویند. در حالی که بیشتر پپتیدهای باکتریایی و حیوانی فعالیت ضد باکتریایی دارند، پپتیدهای گیاهی فعالیت ضد قارچی زیادی دارند (بروکارت و همکاران، ۱۹۹۷).

#### ۴-۴-۱ پپتیدهای ضد میکروبی حشره‌ای

تاکنون بیش از ۱۶۷ پپتید آنتی‌باکتریال از حشرات جدا شده است (aps.unmc.edu.). پپتیدهای ضد میکروبی حشره‌ای به دو طریق می‌توانند ترشح شوند. این پپتیدها یا در داخل بدن حشرات ترشح می‌شوند مثل cecropin (هولتمارک و همکاران، ۱۹۸۰)، و یا در خارج از بدن آن‌ها، مثل venoms که از زنبور melittin ترشح می‌شود (هابرمن، ۱۹۷۲). پپتیدهای مختلفی که عمدتاً علیه باکتری‌های گرم منفی مؤثر هستند (بومن، ۱۹۹۵). حشرات می‌توانند پپتیدهای مختلفی را با توجه به نوع مهاجم بیان کنند. به عنوان مثال حداقل هفت پپتید ضد میکروبی در همولنف مگس سرکه<sup>۳</sup> وجود دارد (هافمن و همکاران، ۱۹۹۷). تعدادی از این پپتیدها پس از آلودگی القا می‌شوند و زیر مجموعه‌ای از پپتیدهای دیگر را توسط همان نوع مسیر القا می‌کنند. جالب است که مگس سرکه

1- Thionin

2- Plant defensins

3- Drosophila

می‌تواند بین موجودات مختلف تفاوت قائل شود و پپتید مناسبی را تولید کند (لمیتر و همکاران، ۱۹۹۷).

#### ۵-۴-۱ پپتیدهای ضد میکروبی دوزیستان

دوزیستان به واسطه زندگی در مردابها و تالابها از قوی‌ترین سیستم‌های دفاع با اینمی اولیه برخوردارند. غدد گرانولار پوست دوزیستان انباری از ترکیبات مختلف زیستی است. این ترکیبات در پاسخ به حرکت‌های مختلف به سطح پشتی حیوان ترشح می‌شوند و در تنظیم نقش فیزیولوژیک پوست و یا در دفاع علیه میکرووارگانیزم‌های مهاجم فعالیت می‌کنند.

جدا شدن bombinin (سوردادس و همکاران، ۱۹۷۰) و متعاقباً magainin از گونه‌ی *xenopus* (زالوف، ۱۹۸۷) منجر به کشف و بررسی پپتیدهای ضد میکروبی در گونه‌های مختلف دوزیستان شد. مثلاً در *xenopus* بیش از دوازده پپتید آنتی‌بیوتیک در غدد پوستی، سلول‌های مخاط معده و مجرای روده کشف شده است. در قورباغه *Phylomedusa sauvagii* خانواده‌ای با پنج پپتید آنتی‌بیوتیک حضور دارند که به‌طور قابل توجهی علیه قارچ‌ها مؤثر هستند (مور و همکاران، ۱۹۹۴). دنباله پپتیدهای دوزیستان همولوژی کمی با هم دارند (کریل، ۱۹۹۴).

#### ۱-۵ مکانیزم عمل پپتیدهای آنتی‌باکتریال

پپتیدهای آنتی‌باکتریال به طرق مختلف، از جمله اختلال در غشا، تداخل در متابولیسم و هدف قرار دادن اجزای سیتوپلاسمی، باکتری‌ها را از بین می‌برند. چون سطح باکتری آنیونی است، تماس اولیه بین پپتید و باکتری به صورت الکتروستاتیک ایجاد می‌شود. ترکیب اسیدآمینه‌ای پپتیدها، دوگانه دوستی<sup>۱</sup>، بار کاتیونی و سایز به آنها اجازه می‌دهد تا در غشای دو لایه<sup>۱</sup> درج و به وسیله سه

1- Amphipathicity

مکانیزم Toroidal pore، Barrel stave و یا Carpet منافذی را در آن ایجاد کنند. این پپتیدها همچنین می‌توانند به وسیله‌ی اتصال به مولکول‌های درون سلولی که برای زندگی سلول حیاتی هستند سنتر دیواره سلولی، RNA، پروتئین‌ها و یا آنزیم‌های خاص را مهار کنند (شای، ۲۰۰۲). بنابراین، اتصال به غشای میکروبی اولین گام AMP برای از بین بردن باکتری است. بعد از اتصال، همه AMP‌ها ساختار ثانویه خود را به دست می‌آورند. البته در بسیاری موارد مکانیزم دقیق کشته شدن شناخته شده نیست. به طور کلی فعالیت ضد میکروبی این پپتیدها به وسیله اندازه گیری حداقل غلظت بازدارنده (<sup>٣</sup>MIC) تعیین می‌شود که پایین‌ترین غلظتی است که رشد باکتری‌ها را مهار می‌کند (زنگ و همکاران، ۲۰۱۰).

**مکانیزم Barrel stave:** در این مکانیزم پپتید ابتدا به سطح غشا متصل می‌شود و بعد از رسیدن غلظت آن به یک حد آستانه، در غشای دو لایه به صورت عمود درج می‌شود. در این حالت لوله‌هایی مشابه بشکه<sup>١</sup> شکل می‌گیرند. این پپتیدها از طرف نواحی آبدوست جذب لومن منافذ غشایی شده و از طرف نواحی هیدروفوب با غشای دولایه ارتباط برقرار می‌کنند. البته پپتیدهای کمی از مکانیزم Barrel stave استفاده می‌کنند و بیشتر مطالعات اخیر پیرامون مدل Toroidal pore بوده است (یمن و همکاران، ۲۰۰۳).

**مکانیزم Toroidal pore:** یکی از مشخصه‌های بسیار خوب تماس پپتید و غشا، تشکیل منافذ Toroid است. مدل Toroid pore از پپتیدهای مارپیچی همچون Magainin پیشنهاد شده است. در این مکانیزم، مشابه با مکانیزم Barrel stave پپتید به صورت عمود در غشای دو لایه درج

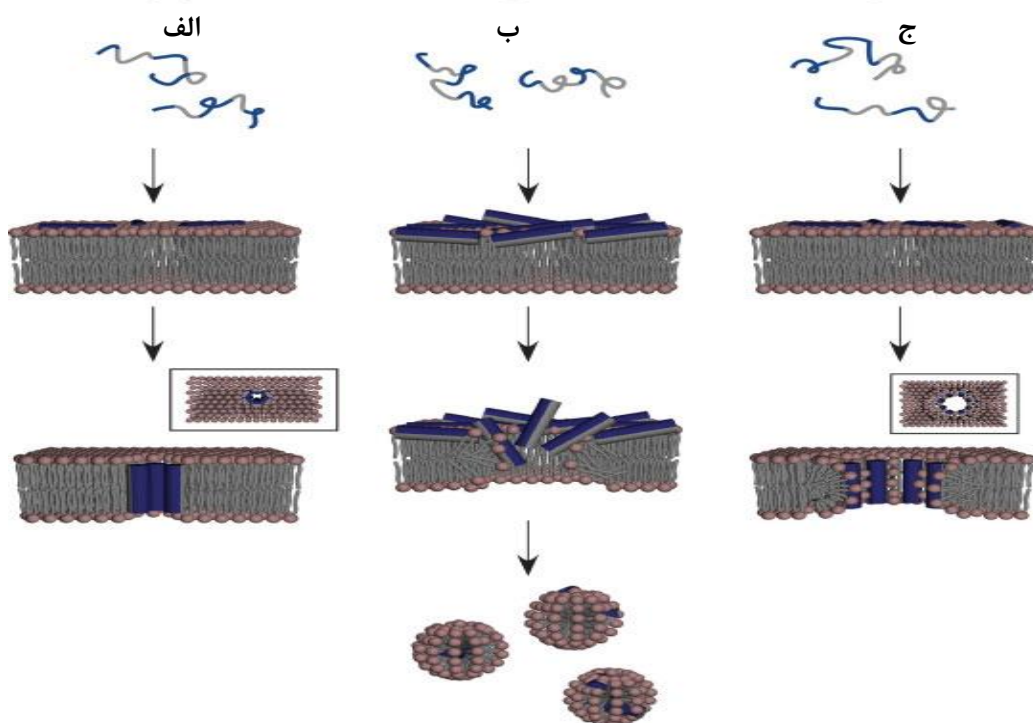
1- Bilayers

2- Minimum inhibitory concentration

3- Barrel

می‌شوند اما به جای آن که به موازات فسفولیپیدها قرار بگیرند، سبب انحنای غشا می‌شوند به گونه‌ای که بین غشای داخلی و خارجی پیوستگی ایجاد شود (یمن و همکاران، ۲۰۰۳).

**mekanizm Carpet:** برخی از پپتیدها ممکن است علیه میکرووارگانیزم‌ها از طریق شیوه نسبتاً پراکنده-ای موسوم به مکانیزم Carpet تأثیر بگذارند. در این مکانیزم پپتیدها به موازات غشای دولایه تجمع پیدا می‌کنند ناحیه مورد نظر را مشابه یک فرش<sup>۱</sup> پوشش می‌دهند و در یک غلظت مشخصی، فعالیتی مشابه دترژنت‌ها خواهند داشت و سبب تشکیل منافذی روی غشا می‌شوند (یمن و همکاران، ۲۰۰۳).



شکل ۱-۵ مکانیزم عمل پپتیدهای آنتی باکتریال. الف: مکانیزم Carpet stave، در این مکانیزم پپتید ابتدا به سطح غشا متصل می‌شود و پس از آن که غلظت آن به یک حد آستانه رسید، در غشای دولایه درج می‌شود. ب: مکانیزم Barrele stave، در این مکانیزم پپتیدها به موازات غشای دولایه تجمع پیدا می‌کنند و ناحیه مورد

نظر را مشابه یک فرش پوشش می‌دهند، ج: مکانیزم Toroide در این مکانیزم، پپتید به صورت عمود در غشای دو لایه درج می‌شود (گلینل و همکاران، ۲۰۱۲).

## ۱-۶ آنالیز توالی‌های پپتیدهای آنتی باکتریال

با بررسی ۴۸۶ پپتید آنتی‌باکتریال، نوعی اختصاصیت در پایانه‌های کربوکسیلی<sup>۱</sup> و آمینی<sup>۲</sup> دیده شد. هر دو انتهای، نقش مهمی را در رساندن خاصیت آنتی‌باکتریالی به این پپتیدها بازی می‌کنند. مثلاً انتهای کربوکسیلی در تماس با غشا و تشکیل منفذ<sup>۳</sup> اهمیّت دارد، در حالی‌که انتهای آمینی در فرآیند تعامل<sup>۴</sup> با باکتری مهم است (اتوس، ۲۰۰۵).

در طی آزمایشی نیز فراوانی حضور هر ۲۰ اسید آمینه در هر دو انتهای بررسی شد. مشاهده شد که اسید آمینه‌های خاصی در پپتیدهای آنتی‌باکتریال بیشتر هستند. آمینواسیدهای گلایسین و فنیل آلانین به مقدار قابل توجهی در اولین جایگاه انتهای آمینی پپتیدهای آنتی‌باکتریال بیشتر از غیر آنتی‌باکتریال‌ها هستند. به‌طور مشابهی تریپتوفان، ایزولوسین، لوسین، فنیل آلانین فراوانی زیادی در جایگاه دوم انتهای آمینی دارند. آمینواسیدهایی مثل پرولین، سرین، گلوتامیک اسید، آسپارتیک اسید در پپتیدهای آنتی‌باکتریال در ارجحیت نیستند. اگرچه هر دو انتها دارای فراوانی بالایی از اسیدهای آمینه مثبت مثل لیزین و آرژنین هستند. اختلاف بین این پپتیدهای آنتی‌باکتریال و غیر آنتی‌باکتریال در انتهای کربوکسیلی آن‌ها است. فراوانی زیاد بار مثبت در انتهای کربوکسیلی ممکن است به تماس با غشای منفی باکتری و در انتهای آمینی ممکن است در تماس بین این پپتیدها و ترکیبات داخل سلولی مثل DNA و RNA کمک کند و از فعالیت‌های مهم

1 - C-terminal

2 - N- terminal

3 - Pore

4- Interaction

باکتری ممانعت کند. آمینو اسیدهایی مثل لیزین، ایزوولوسین، سیستئین، گلایسین در پپتیدهای آنتیباکتریال زیادند و نسبت سیستئین نیز در پایانه آمینی بیشتر است (لتا و همکاران، ۲۰۰۷). در این پژوهش سعی گردید مطالعاتی در خصوص برهم‌کنش قارچ‌ها بر مجموعه‌ای از باکتری‌های پاتوژن گیاهی و جانوری به منظور شناسایی ترکیبات مؤثر در کنترل زیستی این باکتری‌های پاتوژن انجام پذیرد و توجه بیشتری معطوف به کنترل زیستی باکتری زانتوموناس عامل بیماری شانکر مركبات با استفاده از پپتیدها و پروتئین‌های آنتیباکتریال موجود در سکروتوم قارچ‌های مورد بررسی در این مطالعه شد.

فصل دوم

مواد دروس

## ۱-۲ مواد شیمیایی

اسیداستیک، اسیدکلریدریک، آگارز، آگار، گلیسرول، اتانول، متانول، گلوکز، گلایسین، ترایسین، نیترات نقره، پپتون، عصاره مخمر، تریس باز، اکریل آمید، بیس اکریل آمید، برمونوفول بلو، فرمالدئید، رنگ کوماسی بلو، آمونیوم پرسولفات، پوتیتو دکستروز آگار، استونیتریل خالص، اتیل استات،  $\text{Na}_2\text{HPO}_4$ ،  $\text{NaOH}$ ،  $\text{Na}_2\text{SO}_4 \cdot 5\text{H}_2\text{O}$ ، Tris-HCl،  $\text{NaCl}$ ، SDS، TCA، TEMED، EDTA،  $\text{NaH}_2\text{PO}_4$ ،  $\text{Na}_2\text{CO}_3$  (خریداری شده از شرکت Merck، آلمان) پروتئیناز k، پیپسین، تریپسین (خریداری شده از شرکت Sigma، آمریکا) DEPC water، Random hexamer، RT Buffer، RT، ۱kb، BSA، PMSF (خریداری شده از شرکت Fermentase، آمریکا) کیت استخراج RNA، Taq DNA polymerase،  $\text{MgCl}_2$ ، dNTP، PCR Buffer شرکت سیناژن، ایران) پرایمر 18S rRNA (خریداری شده از شرکت ژن فناوران، ایران) کیت خالص سازی محصول PCR (خریداری شده از شرکت Roche، آلمان)

## ۲-۲ دستگاه‌های آزمایشگاهی

دستگاه PCR معمولی (Peq lab)، ورتکس (Heidolph)، تانک الکتروفورز (Akhtarian)، دستگاه HPLC (Agilent)، تانک الکتروفورز افقی (Paya pajuhesh pars)، فریزر -۲۰°C (Pars)، فریزر -۷۰°C (Jahl)، یخچال (Pars)، میکروفیوز یخچال دار (Beckman)، سانتریفیوز یخچال دار (Eppendorf)، میکروسکوپ نوری (Leica)، هودهای بیولوژی مولکولی (Sarv tajhiz sakkoo)، مايكروبيو (Biorad)، اسپکتروفوتومتر (Panasonic)، اتوکلاو (Eppendorf) ۱۰۰۰  $\mu\text{l}$ ، ۱۰۰  $\mu\text{l}$ ، ۱۰  $\mu\text{l}$

(Iran Tolid)، میکروفیوز (Heraeus)، سانتریفیوز (Pars Asma Co)، شیکر انکوباتور (Jeio tech)، هیتر- استریپر (Bibby)، pH متر (Cenco)

### ۳-۲ میکروارگانیزم‌ها

در این پژوهش از میکروارگانیزم‌ها با مشخصات ارائه شده در جدول (۱-۲) استفاده شد.

### ۴-۲ جمع آوری داده‌ها به صورت بیوانفورماتیکی

در گام اول، برای جستجو و استخراج توالی‌های پروتئینی و پپتیدی دارای خاصیت آنتی‌باکتریالی از پایگاه aps.unmc.edu استفاده شد. سپس برای هم‌ردیفی چندگانه<sup>۱</sup> توالی‌های بدست آمده از الگوریتم ClustalW استفاده شد. در نهایت درختچه‌های فیلوژنتیکی<sup>۲</sup> مربوطه رسم گردید. تمامی آنالیزهای اشاره شده مربوط به توالی‌ها در پایگاه align genome.jp انجام گرفت.

### ۵-۲ نمونه‌برداری و جداسازی قارچ از خاک

نمونه‌برداری از خاک باغات نواحی شمال کشور (استان‌های گلستان و مازندران) و جنوب کشور (استان‌های هرمزگان، فارس و کرمان) در تابستان ۹۰ صورت گرفت. سپس از هر یک از نمونه‌های خاک، سری رقتی<sup>۳</sup> تهیه و بر روی محیط PDA (پیتون، گلوکز و آگار) کشت و در دمای ۳۰ درجه سلسیوس و در تاریکی به مدت یک هفته انکوبه شد. سپس جدایه‌های به‌دست آمده از هر یک از

1 - Multiple sequence alignment

2 - Phylogenetic tree

3 - Serial dilution

نمونه‌های خاک به ظروف پتری حاوی محیط کشت آب آگار منتقل شدند و با گرفتن تک اسپور از آن‌ها و انتقال به محیط PDA دیگری خالص شدند. در ادامه توضیحات بیشتری پیرامون خالص سازی قارچ‌ها و جداسازی تک اسپور داده می‌شود.

#### جدول ۱-۲ میکرووارگانیزم‌های استفاده شده در این پژوهش

نحوه تهیه	سویه‌های مورد مطالعه	نام ارگانیزم
باکتری	Xanthomonas citri (NIGEB-88 , NIGEB-9322)	همه سویه‌ها از پژوهشگاه ملی
	Bacillus subtilis	مهندسی
	Erwinia amylovora	ژنتیک و
	Pseudomonas fluorescens	زیست فناوری
	Escherichia coli	
	Staphylococcus aureus	تهیه شدند.
قارچ	Salmonella typhi	
	13 جدایه قارچی که از خاک‌های باغات شمال و جنوب ایران جدا شدند.	
	Trichoderma atraviridae	همه سویه‌ها از مؤسسه
	Trichoderma virens1101	
	Trichoderma virens	گیاه‌پژوهشکی
	Trichoderma harzianum 1482	کشور تهیه شد.
	Talaromyces flavus	
	Rhizoctonia solani	
	Macrophomina phaseolina	
	Trichoderma harzianum1103	
	Trianum-p(T22)	

## ۶-۲ جداسازی تک اسپور<sup>۱</sup>

در ابتدا با استفاده از لوب استریل، بخشی از سطح کلونی‌ها خراشیده<sup>۲</sup> و درون ۱۰ میلی‌لیتر آب مقطر استریل سوسپانسیون شدند. سوسپانسیون اسپوری با همزن لوله یکنواخت شد. سپس با انجام رقیق‌سازی مکرر و تهیه سوسپانسیون<sup>۴</sup>، مقدار ۱۰۰ میکرولیتر از سوسپانسیون مورد نظر در کف یک پتری دیش<sup>۳</sup> استریل قرار گرفت. سپس مقداری آب آگار به نحوی که به طور کامل کف پتری را پوشاند روی آن قرار گرفت. در نهایت پتری‌ها در دمای ۳۰ درجه سلسیوس به مدت ۴۸-۷۲ ساعت انکوبه شدند. برای تهیه کشت ثانویه<sup>۵</sup> کلونی‌هایی که از یک اسپور تک رشد یافته بودند توسط یک اسکالالپ استریل به همراه مقدار کمی از آگار بریده و به پلیت PDA<sup>۶</sup> دیگری منتقل شدند.

## ۷-۲ تهیه عصاره‌ی خام<sup>۵</sup> از هر یک از جدایه‌های قارچ

بدین منظور، از حاشیه کشت هفت روزه هر یک از جدایه‌ها، دو قطعه از محیط کشت قارچ حاوی ژلوز محیط کشت، به ابعاد تقریبی (۱cm×۱cm) حاوی ۱۰<sup>۶</sup> × ۷۵ سلول اسپور به‌طور تقریبی، جدا و در فلاسک ارلن مایر شامل ۱۰۰ میلی‌لیتر محیط PDB (شامل ۴ گرم پپتون، ۲۰ گرم گلوکز) ریخته شد و به مدت ۲۰ روز در شیکر انکوباتور با دور rpm ۱۸۰ و دمای ۳۰ درجه‌ی سلسیوس نگهداری شد. سپس محیط کشت حاوی میسلیوم‌های قارچی، با عبور از کاغذ صافی، فیلتر شد. برای استفاده طولانی مدت از مایع عبوری از کاغذ صافی و حفظ پروتئین‌های آن از تأثیر پروتئازها، به آن

<sup>1</sup> - Single-spore culture

<sup>2</sup> - Scrape

<sup>3</sup> - Plate

<sup>4</sup> - Subculture

<sup>5</sup> - Crude extract

<sup>۱</sup>PMSF افروده شد. سپس ۱۰ میلی‌لیتر مایع عبوری از صافی با ۱۰ میلی‌لیتر اتیل استات مخلوط و به مدت یک ساعت در دمای ۲۰- درجه سلسیوس قرار داده شد. پس از گذشت یک ساعت، به مدت ۳۰ دقیقه در  $11,627 \times g$  سانتریفیوژ شد. در نهایت عصاره با استفاده از تبخیر چرخشی در دستگاه تمامی عصاره‌ها در دمای ۴ درجه سلسیوس نگهداری شدند (جاناتان و همکاران، ۲۰۰۷؛ تونگ و همکاران، ۲۰۱۱؛ رادجی و همکاران، ۲۰۱۱).

## ۸-۲ سنجش فعالیت آنتی‌میکروبیال

عصاره ۲۰ قارچ برای سنجش فعالیت آنتی‌باکتریالی در مقابل دو سویه از باکتری زانتوموناس (سویه NIGEB-88 نماینده تیپ A و سویه NIGEB-9322 نماینده تیپ \*A) و همچنین سایر باکتری‌های گرم مثبت و گرم منفی دیگر، از جمله *Bacillus subtilis*، *Escherichia coli*، *Erwinia*، *Staphylococcus aureus*، *Salmonella typhi*، *Pseudomonas fluorescens* و همچنین ۲ قارچ *Macrophomina phaseolina* و *Rhizoctonia solani* و *amylovora* روش دیسک<sup>۲</sup> مورد بررسی قرار گرفت. برای تعیین طیف بازدارندگی عصاره‌های قارچی، تأثیر خاصیت آنتاگونیستی آن‌ها روی سایر سویه‌های زانتوموناس نیز مورد بررسی قرار گرفت (جدول ۳-۳).

برای بررسی فعالیت آنتی‌باکتریالی عصاره‌های قارچی، ابتدا مقدار ۱۰۰ میکرولیتر از باکتری کشت داده شده در محیط مایع YP (عصاره مخمر و پیتون) شامل  $10^{-3} \times 4$  تعداد باکتری، روی سطح پتری‌هایی که حاوی محیط کشت PDA بودند با استفاده از سوآپ<sup>۳</sup> استریل کشت شد.

1 - Phenylmethylsulfonyl fluoride

2 - Disk metode

3 - Swap

سپس مقدار ۱۵ میکرولیتر از هر یک از عصاره‌های قارچی روی سطح دیسک‌های اتوکلاو ۵ میلی-متری که به واسطه پانچ کاغذ صافی ایجاد شده بود، قرار گرفت و دیسک‌ها روی سطح پلیت‌های آغشته به سوسپانسیون باکتری، قرار داده شد. ظرف در دمای ۳۰ درجه‌ی سلسیوس به مدت ۲۴ ساعت انکوبه شد. فعالیت آنتی‌باکتریالی به صورت اندازه گیری قطر ناحیه بازدارنده بر حسب میلی‌متر مورد ارزیابی قرار گرفت (جورجنسن و همکاران، ۲۰۰۷؛ حاجی و همکاران، ۲۰۱۰؛ ژنگ و همکاران، ۲۰۱۱؛ رادجی و همکاران، ۲۰۱۱).

برای بررسی اثر ضد قارچی هر یک از عصاره‌های قارچی، ابتدا دو قارچ *Rhizoctonia solani* و *Macrophomina phaseolina* در پتریدیش حاوی محیط PDA واکشت شدند، سپس دیسک‌های آغشته به هر یک از عصاره‌های قارچی در اطراف پلیت‌ها قرار داده شد.

## ۹-۲ شناسایی مولکولی جدایه قارچی دارای خاصیت آنتاگونیستی

### ۱-۹-۲ استخراج DNA ژنومی به روش CTAB<sup>۱</sup>

میسلیوم‌های قارچ از محیط مایع PDB جمع آوری و درون ویال ۲ میلی‌لیتری ریخته شد و با دور  $\times 13,000$  در دمای ۴ درجه سانتی‌گراد به مدت ۱۰ دقیقه سانتریفیوژ گردید. محلول رویی را دور ریخته و میسلیوم‌های زیرین روی کاغذ صافی قرار داده شد تا کاملاً خشک شود. بعد از خشک شدن مجدداً به داخل ویال برگردانده و درون هر ویال ۲ عدد ساچمه قرار داده شد. سپس ویال‌ها به مدت ۵ دقیقه در ازت مایع قرار گرفت تا میسلیوم‌ها منجمد شوند. آن‌گاه توسط دستگاه خرد کن<sup>۲</sup> میسلیوم‌ها پودر شدند. بعد از خارج کردن ساچمه‌ها، به اندازه حجم محتوای ویال از بافر CTAB

1- N-Cetyl-N,N,N-trimethyl-ammonium bromide

2 - Cruncher

ریخته و ویال به خوبی ورتکس شد تا پودر حاصل درون بافر کاملاً حل شود. ویال به مدت ۱۰ دقیقه در دمای ۴۲ درجه سانتی‌گراد و سپس ۱۰ دقیقه در دمای ۶۵ درجه سانتی‌گراد قرار داده شد. در هر دو مرحله هر ۲-۳ دقیقه یکبار محتوای ویال را ورتکس نموده، سپس ۷۰۰ میکرولیتر محلول کلروفرم و ایزوآمیل الکل به نسبت ۲۴ به ۱ به محتوای ویال افزوده و ورتکس شد. ویال به مدت ۱۰ دقیقه با دور  $\times 8000$  در دمای اتاق سانتریفیوژ شد. سپس ۷۵۰ میکرولیتر از فاز روئی (حاوی  $\text{DNA}$  ژنومی) به ویال ۱/۵ میلی‌لیتری استریل منتقل و به آن ۵۰۰ میکرولیتر ایزوپروپانول مطلق افزوده شد و چند بار به آرامی تکان داده شد. در نهایت به مدت ۲۰ دقیقه در دمای اتاق قرار گرفت. سپس ویال به مدت ۱۵ دقیقه با دور  $\times 13000$  در دمای اتاق سانتریفیوژ شد. محلول روئی را دور ریخته و ۴۰۰ میکرولیتر اتانول ۷۰٪(v/v) سرد به رسوب اضافه گردید و به مدت ۱۰ دقیقه با دور  $\times 13000$  و دمای ۴ درجه سانتی‌گراد سانتریفیوژ شد. مایع روئی را دور ریخته و ویال به صورت وارونه روی دستمال قرار گرفت تا رسوب ته ویال کاملاً خشک شود. در انتها ۱۰۰ میکرولیتر آب دیونیزه به رسوب اضافه شد. آن‌گاه برای مشاهده میزان و کیفیت ژنوم استخراج شده، مقداری از آن روی ژل آگارز بررسی شد.

## ۲-۹-۲ تکثیر $18\text{S rRNA}$ به کمک واکنش زنجیره‌ای پلی‌مراز (PCR)

برای شناسایی ملکولی جدایه شماره ۳، می‌بایستی با استفاده از پرایمرهای عمومی، توالی  $18\text{S rRNA}$  برای تکثیر شود و پس از تعیین توالی های مربوط در سایت NCBI مقایسه گردد.

(R18S-5'-GCTTGATCCTCTGCAGGTT-3' ، F18S-5'-CCTGGTTGATCCTGCCAGTA-3')

برای تکثیر توالی 18S rRNA در طی PCR از برنامه ارائه شده در جدول (۳-۲) استفاده شد. مواد مورد نیاز برای انجام این واکنش در جدول (۲-۲) ذکر شده است.

جدول ۲-۲ مواد مورد نیاز PCR مربوط به تکثیر توالی 18S rRNA

ترکیبات	مقدار بر حسب $\mu\text{l}$
بافر 10x PCR	۲/۵
(50 mM) MgCl <sub>2</sub>	۰/۸
(10 mM) dNTP	۰/۵
آغازگر Forward (10 pmol)	۰/۵
آغازگر Reverse (10 pmol)	۰/۵
DNA الگو (با غلظت ۱۰-۵ نانوگرم)	۱
Taq DNA polymerase	۰/۲
ddH <sub>2</sub> O	۱۹

جدول ۳-۲ برنامه PCR استفاده شده برای تکثیر توالی 18S rRNA

تعداد سیکل	زمان	دما	مرحله
۱	۵ min	۹۴ °C	واسرشه سازی اولیه
۱	۱ min	۹۴ °C	واسرشه سازی
۲۰	۱ min	۵۶ °C	اتصال
۲	۲ min	۷۲ °C	طويل شدن
۱	۱۰ min	۷۲ °C	طويل شدن نهايى

پس از انجام واکنش PCR، محصول PCR با استفاده از کیت Roch خالص سازی شد. دستورالعمل استفاده از این کیت در پیوست ارائه شده است (پیوست ۵).

پس از خالص سازی برای بررسی کیفیت قطعات DNA، الکتروفورز ژل آگارز انجام شد. پس از اینکه نمونه‌ها به قدر کافی روی ژل حرکت کردند، رنگ آمیزی انجام شد و در انتهای بر روی دستگاه مولد UV (UVP bioimaging systems/USA) با طول موج ۳۲۰ nm برای مشاهده قرار داده شد و از آن عکس تهیه گردید.

## ۱۰-۱ تست برادفورد<sup>۱</sup>

به منظور تعیین غلظت پروتئین موجود در عصاره‌های قارچی که خاصیت آنتاگونیستی شاخص-تری را نسبت به بقیه نشان داده بودند، از روش برادفورد (تکنیک رنگ سنجی، ۱۹۷۶) استفاده شد.

پس از انجام تست برادفورد و تعیین غلظت پروتئین موجود در عصاره‌های دارای خاصیت آنتاگونیستی، برای اینکه تشخیص بدھیم آیا خاصیت آنتیباکتریالی مربوط به پروتئین‌ها و یا پپتیدهای آنتیباکتریال است یا خیر؟ تأثیر پروتئازها را بر فعالیت آنتاگونیستی مورد بررسی قرار دادیم که در ذیل آن را شرح می‌دهیم.

## ۱۱-۲ تأثیر پروتئازها بر فعالیت عصاره قارچی

برای انجام این تست از آنزیم پیپسین، تریپسین و پروتئیناز k با غلظت ۱ mg/ml استفاده شد. بدین منظور مقدار ۱۵ میکرولیتر از هر یک از آنزیمهای k و مقدار ۱۵ میکرولیتر از هر یک از عصاره‌های دارای خاصیت آنتاگونیستی با غلظت تقریبی ۳ میکروگرم در میلیلیتر در داخل یک میکروتیوب در

دمای اتاق مجاور گردید. پس از گذشت یک ساعت برای عصاره قارچ *T.harzianum 1103* و دو ساعت برای عصاره قارچ *Aspergillus sp.* مقدار ۱۵ میکرولیتر از هر نمونه روی سطح دیسک‌های کاغذی (NIGEB - ۸۸) ریخته شد و هر دیسک روی سطح پلیتی که با ۱۰۰ میکرولیتر از باکتری *Xanthomonas citri* آغشته شده بود قرار گرفت ( حاجی و همکاران، ۲۰۱۰). از سرم فیزیولوژیک به عنوان کنترل منفی استفاده شد.

## ۱۲-۲ تأثیر حرارت بر فعالیت عصاره قارچی

برای انجام این تست نمونه را به مدت ۱ ساعت در دمای ۵۰، ۷۰، ۹۰ و ۱۰۰ درجه سلسیوس قرار داده شد. سپس ۱۰۰ میکرولیتر از باکتری زانتوموناس سویه ۸۸ روی محیط کشت جامد PDA کشت شد. در نهایت مقدار ۱۵ میکرولیتر از هر یک از نمونه‌های فوق روی سطح دیسک‌ها قرار گرفت و دیسک‌ها روی سطح پلیت‌های کشت داده شده با باکتری زانتوموناس قرار داده شدند (سولانیلا و همکاران، ۲۰۰۳؛ اسکوری و همکاران، ۲۰۰۸؛ حاجی و همکاران، ۲۰۱۰؛ ژنگ و همکاران، ۲۰۱۰).

## ۱۳-۲ تأثیر pH بر فعالیت عصاره قارچی

برای انجام این تست بافر فسفات ساخته شد. بدین منظور غلظت ۰/۲۵ مولار  $\text{Na}_2\text{HPO}_4$  و ۰/۰۲۵ مولار از  $\text{NaH}_2\text{PO}_4$  تهییه شد. وقتی ۴۰ میلی‌لیتر  $\text{Na}_2\text{HPO}_4$  و ۶۰ میلی‌لیتر  $\text{NaH}_2\text{PO}_4$  با هم به خوبی مخلوط شود، مقدار pH معادل ۷/۴ خواهد بود. بر همین اساس سایر pH‌ها (از ۴ تا ۹)، درست شد. سپس ۲۰ میکرولیتر از عصاره و ۲۰ میکرولیتر از pH مورد نظر را در داخل یک و بال ریختیم و اجازه داده شد به مدت نیم ساعت در همین شرایط باقی بماند. درنهایت به مقدار ۱۵ میکرولیتر از هر pH روی هر دیسک قرار داده شد و دیسک‌ها روی پلیتی که با ۱۰۰ میکرولیتر از

سویه ۸۸ باکتری زانتوموناس کشت داده شده بود، قرار گرفت (حاجی و همکاران، ۲۰۱۰؛ ژنگ و همکاران، ۲۰۱۰).

#### ۱۴- تأثیر مواد شیمیایی، بر فعالیت عصاره قارچی

برای بررسی اثر شلات کننده‌ی EDTA<sup>1</sup> و دترژنت سدیم دودسیل سولفات (SDS) عصاره قارچی با EDTA و SDS یک درصد به مدت نیم ساعت در دمای اتاق مجاور گردید و فعالیت آنتاکوئنیستی استفاده از روش دیسک بررسی شد (مرگانی و همکاران، ۱۳۸۵).

۲-۱۵- تست تعیین حداقل غلظت یازدارنده<sup>۲</sup> بر و تئین آنتی باکتریال

MIC کمترین غلظت از آنتیبیوتیک است که رشد قابل رؤیت باکتری‌ها را بعد از یک انکوباسیون ۱۸ ساعته متوقف می‌کند. MIC برای تأیید مقاومت آنتیبیوتیکی باکتری‌ها در آزمایشگاه‌های تشخیصی و همچنین برای بررسی طیف مقاومت باکتری‌ها به آنتیبیوتیک‌های مختلف و یا میزان فعالیت یک آنتیبیوتیک جدید بر علیه باکتری‌ها در آزمایشگاه‌های تحقیقاتی استفاده می‌شود. در این مطالعه آزمایش MIC به روش Broth microdilution (http://www.nccls.org) گرفت.

در این مطالعه دامنه غلظت از  $\mu\text{g/ml}$  ۲۰۴۸ شروع شد و به  $\mu\text{g/ml}$  ۲ ختم گردید. برای ساختن غلظت‌های ذکر شده ابتدا  $20\text{ g}$  میلی‌گرم از عصاره دارای خاصیت آنتاگونویستی را در  $1\text{ ml}$  لیتر محیط کشت، حل نموده تا محلول استوک با غلظت  $\mu\text{g/ml}$  ۲۰۴۸ بددست آید. برای رسیدن به غلظت-های کمتر به نسبت ۱ به ۲ رقت سازی صورت گرفت. محلول استوک در یخچال به مدت دو هفته قابل نگهداری است.

## 1 - EthyleneDiamineTetraacetic Acid

1 - EthyleneDiamineTetraacetic Acid  
2 - Minimum Inhibitory Concentration

پس از ساختن غلظت‌های مختلف از عصاره، کدورت نمونه‌های باکتریایی را به کمک دستگاه اسپکتروفتوومتری به نیم مک فارلندرساندیم. لازم به ذکر است که میزان جذب نیم مک فارلندر در طول موج ۶۲۵ نانومتر معادل  $0.08 - 0.13$  است که کدورت باکتری در آن برابر با  $10^8 \text{ cfu.ml}^{-1}$  می‌باشد. اما کدورت استاندارد برای انجام آزمایش MIC معادل  $10^5 \text{ cfu.ml}^{-1}$  است که برای رسیدن به این عدد پس از اینکه کدورت نمونه‌ها در نیم مک فارلندر تنظیم گردید، آن‌ها را به میزان ۱ به ۲۰۰ رقیق نمودیم. در نهایت میکروپلیت را در انکوباتور با دمای ۳۷ درجه سلسیوس به مدت ۱۸ ساعت قرار دادیم.

## ۱۶-۲ بررسی اثر زمان کشت بر تولید پروتئین‌های ضد میکروبی

برای تعیین مناسبترین زمان عصاره‌گیری، فعالیت آنتی‌باکتریالی علاوه بر روز بیستم، در ۳، ۵، ۷ و ۱۴ روز پس از کشت در محیط مایع نیز مورد ارزیابی قرار گرفت.

## ۱۷-۲ تست عصاره‌های قارچ Aspergillus Sp. و T. harzianum 1103 به منظور بررسی اثر

### بازدارندگی بر روی آنزیم ترانسکریپتاز معکوس<sup>۱</sup>

Aspergillus Sp. و T. harzianum 1103 در این تست فعالیت آنتاگونیستی هر یک از قارچ‌های ۱۱۰۳ بر روی آنزیم ترانسکریپتاز معکوس مورد ارزیابی قرار گرفت. هدف از انجام این تست بررسی اثر ضد ویروسی عصاره‌های قارچی بوده است.

## ۱-۱۷-۲ استخراج RNA

در این پژوهش برای استخراج RNA از کیت RNX-plus (سیناژن / ایران) استفاده شد. استخراج بطبق دستورالعمل زیر صورت گرفت.

ابتدا مقدار ۱۰ میلی‌لیتر از باکتری زانتوموناس سویه NIGEB-88 رسوب داده شد. در حقیقت به مدت ۱۰ دقیقه در  $g \times 8000$  سانتریفیوژ شد تا رسوب ایجاد شود. بعد مایع رویی را بیرون ریخته و رسوب برداشته شد. سپس ۱ میلی‌لیتر از محلول RNX-plus به رسوب باکتری اضافه شد (محلول RNX-plus باید روی یخ نگهداری شود). ۵ ثانیه مخلوط فوق ورتکس شد و در نهایت به مدت ۵ دقیقه در دمای اتاق قرار گرفت. در این مرحله ۲۰۰ میکرولیتر کلروفرم به مخلوط فوق اضافه شد. سپس روی یخ به مدت ۵ دقیقه قرار گرفت. در مرحله بعد در دور  $g \times 12000$  و دمای ۴ درجه سلسیوس به مدت ۱۵ سانتریفیوژ شد. سپس فاز بالایی به یک تیوب استریل دیگر اضافه شد و به مقدار برابر ایزوپروپانول اضافه شد. به آرامی آن را تکان داده و روی یخ به مدت ۱۵ دقیقه قرار داده شد. مخلوط فوق در  $g \times 12000$  در دمای ۴ درجه سلسیوس به مدت ۱۵ دقیقه سانتریفیوژ شد. سپس سوپرناتانت را دور ریخته و ۱ میلی‌لیتر اتانول ۷۵ درصد به آن اضافه شد. درانتها در ۴ درجه سلسیوس به مدت ۸ دقیقه در  $g \times 7500$  سانتریفیوژ شد. سوپرناتانت را دور ریخته و اجازه داده شد رسوب در زمان کم در دمای اتاق خشک شود. در پایان کار رسوب در ۵۰ میکرولیتر آب DEPC<sup>۱</sup> حل شد. برای کمک به حل رسوب آن را در ۵۵-۶۰ درجه سلسیوس در Hot plate به مدت ۱۰ دقیقه قرار دادیم. RNA را باید پس از استخراج در دمای ۷۰- درجه سلسیوس قرار داده شود.

## ۲-۱۷-۲ سنتز cDNA

۱ - Diethylpyrocarbonate

غلظت RNA استخراج شده با استفاده از دستگاه نانودرایپ اندازه گرفته شد. در مرحله ابتدایی مطابق با جدول (۵-۲) محتويات Master I را با یکدیگر مخلوط می‌کنیم و به مدت ۵ دقیقه در دمای  $65^{\circ}\text{C}$  قرار می‌دهیم. در مرحله بعد محتويات Master II را به میکروتیوب‌های حاوی Master I اضافه می‌کنیم. در نهایت به مدت ۱۰ دقیقه ویال‌ها در دمای  $25^{\circ}\text{C}$  درجه سلسیوس، و به مدت ۱ ساعت در دمای  $42^{\circ}\text{C}$  قرار داده شد. در پایان کار cDNA سنتز شده را در دمای  $20^{\circ}\text{C}$ - قرار می‌دهیم. در این تست برای بررسی اثر آنتاگونیستی عصاره‌ی هر دو قارچ *T. harzianum* 1103 و *Aspergillus Sp.* بر ترنسکریپتاز معکوس، ابتدا مقدار  $0.5\text{ }\mu\text{l}$  میکرولیتر از RT و  $0.5\text{ }\mu\text{l}$  میکرولیتر از هر دو عصاره به مدت ۳۰ دقیقه روی یخ انکوبه شدند تا تأثیر آن بر فعالیت ترنسکریپتاز معکوس و در نهایت سنتز cDNA مورد ارزیابی قرار بگیرد. سپس همانطور که شرح داده شد، سنتز cDNA صورت گرفت. برای تشخیص سنتز cDNA و اطمینان از سلامت آن برای نمونه cDNA سنتز شده PCR گذاشته شد. واکنش PCR با استفاده از پرایمرهای 16S rRNA انجام شد (جدول ۲-۵، ۶-۲ و ۷-۲).

### SDS-PAGE Tris -Tricine ۱۸-۲

SDS-PAGE روشی کم هزینه، سریع و تکرار پذیر در مطالعه پروتئین‌ها است. این روش به طور معمول برای بررسی مراحل خالص سازی، محاسبه مقدار نسبی و تعیین وزن مولکولی پروتئین‌ها و پپتیدها به کار می‌رود. این روش را می‌توان با هدف خالص سازی مقادیر کم پروتئین‌ها نیز به کار برد. در این نوع ژل به جای استفاده از گلایسین، از تریسین در بافر الکترود استفاده می‌شود. تریسین به دلیل حرکت الکتروفورزی سریعتر نسبت به گلایسین باعث می‌شود تا کمپلکس‌های پپتید-SDS بهتر تفکیک گردد. در ضمن این ماده برخلاف گلایسین در آزمایشاتی همچون تعیین توالی اسیدهای آمینه اختلال ایجاد نمی‌کند.

ژل مورد استفاده برای جداسازی در این پژوهش با روش فوق دارای سه قسمت پایینی، میانی و بالایی است که در آن درصد  $T^1$  به ترتیب از پایین به بالا شامل ۱۶/۵ ، ۱۰ و ۴ درصد می‌باشد.

جدول ۲-۲ محتویات ترکیبات به کار رفته در هر یک از Masterها

	ترکیبات موجود در هر یک از Masterها	غلظت
<b>Master I</b>	RNA	<b>5 <math>\mu</math>l</b>
	Random hexamer	<b>0.5 <math>\mu</math>l</b>
	DEPC water	<b>6.5 <math>\mu</math>l</b>
	5x Buffer	<b>4 <math>\mu</math>l</b>
	dNTP	<b>2 <math>\mu</math>l</b>
<b>Master II</b>	Reverse Transcriptase	<b>1 <math>\mu</math>l</b>
	RNase Inhibitor	<b>0.5 <math>\mu</math>l</b>

$$1 - \%T = \frac{\text{حجم / گرم}}{\text{بیس + اکریل آمید}} \times 100$$

جدول ۲-۵ ترکیبات واکنش PCR

ترکیبات	مقدار بر حسب میکرولیتر
۱۰ x PCR بافر	۲/۵
(50 mM) MgCl <sub>2</sub>	۰/۷۵
(10 mM) dNTP	۰/۵
آغازگر Forward (10 pmol)	۱
آغازگر Reverse (10 pmol)	۱
Template (cDNA)	۲
Taq DNA polymerase	۰/۵
ddH <sub>2</sub> O	۱۵/۵

جدول ۲-۶ برنامه PCR استفاده شده برای تکثیر توالی cDNA

مرحله	دما	زمان	تعداد سیکل
واسرشه سازی اولیه	۹۴°C	۵ min	۱
واسرشه سازی	۹۴°C	۳۰ s	
اتصال	۵۷°C	۴۵ s	۳۵
طويل شدن	۷۲°C	۹۰ s	
طويل شدن نهايی	۷۲°C	۵ min	۱

چگونگی آماده‌سازی هر یک از بافرهای مورد نیاز برای این شیوه الکتروفورز، در ذیل آورده شده است:

**محلول استوک اکریل آمید.** ۲۹/۴ گرم اکریل آمید و ۰/۹ گرم بیس اکریل آمید را در زیر هود وزن کرده و در آب مقطر تا حجم نهایی ۱۰۰ میلی‌لیتر حل می‌کنیم سپس محلول را صاف و در ظرف تیره در یخچال نگهداری می‌شود.  $C^1$  و  $T$  در این محلول به ترتیب ۳۰ و ۳ درصد است.

**بافر ژل پایین و میانی.** ۳۶/۴ گرم تریس باز و ۰/۳ گرم SDS را در حدود ۸۰ میلی‌لیتر آب مقطر حل کرده، pH آن را با اسید کلریدریک غلیظ حدود ۳ مولار به ۸/۹ می‌رسانیم. سپس آب مقطر تا حجم نهایی ۱۰۰ میلی‌لیتر اضافه می‌شود. غلظت تریس در این بافر ۳ مولار است.

**بافر ژل بالا.** ۶ گرم تریس باز را در حدود ۵۰ میلی‌لیتر آب مقطر حل کرده و pH آن را با اسید کلریدریک ۲ مولار به ۶/۸ می‌رسانیم. سپس آب مقطر تا حجم نهایی ۱۰۰ میلی‌لیتر اضافه می‌کنیم. غلظت تریس در این بافر ۵/۰ مولار است.

**بافر کاتد (مخزن بالا).** ۱۲/۱ گرم تریس باز، ۱۷/۹ گرم تریسین<sup>۲</sup> و ۱ گرم SDS را در یک لیتر آب مقطر حل می‌کنیم. pH این محلول حدود ۸/۲ است و نیازی به تنظیم ندارد. غلظت تریس، ترایسین و SDS-PAGE در این بافر به ترتیب ۱/۰ مولار، ۰/۱ مولار و ۰/۱ درصد (W/V) است. تفاوت Tris Glycine با روش اخیر در همین قسمت محلول سازی است. چرا که در آن جا به جای استفاده از ترایسین از گلایسین استفاده می‌شود.

1 -  $\times$  گرم (اکریل آمید + بیس) / گرم (بیس) = ۱۰۰

2- Tricine: N-tris[hydroxymethyl]methylglycine

بافر آند (مخزن پایین). ۲۴/۲ گرم تریس باز را در حدود نیم لیتر آب م قطر حل کرده و pH آن را با اسید کلریدریک ۱ یا ۲ مولار به ۸/۹ می‌رسانیم. سپس آب م قطر تا حجم نهایی یک لیتر اضافه می‌کنیم. غلظت تریس در این بافر حدود ۰/۲ مولار است.

بافر نمونه (۲x). شامل ۰/۲ گرم SDS، ۱/۲۵ میلی‌لیتر بافر ژل بالا، ۱ میلی‌لیتر گلیسرول و ۷/۵ میلی‌لیتر آب م قطر است. پس از مخلوط کردن اجزای فوق چند کریستال برمو فنول بلو اضافه می‌کنیم تا محلول آبی رنگ شود.

**محلول EDTA** ۰/۰۰۰۱۵۲ مولار. ۰/۰۰۰۱۵۲ گرم EDTA (نمک دارای چهار سدیم) را در ۲ میلی‌لیتر آب م قطر حل می‌کنیم.

محلول پر سولفات آمونیوم ۱۰ درصد. ۰/۱ گرم پر سولفات آمونیوم در ۱ میلی‌لیتر آب م قطر حل می‌کیم (این محلول بایستی تازه باشد).

محلول <sup>۱</sup>TEMED ۱۰ درصد. ۰/۱ میلی‌لیتر TEMED در ۰/۰۰۰۹ میلی‌لیتر آب م قطر حل می‌کنیم. این محلول نیز بایستی تازه باشد.

## ۲-۱۹ تشخیص پروتئین دارای خاصیت کنترل کنندگی با استفاده از الکتروبلاتینگ<sup>۲</sup>

در این روش ابتدا الکتروفورز (Bio-Rad, USA) به شیوه PAGE انجام گرفت. اصول انجام SDS PAGE مشابه روش PAGE Tris-Trisine است. تنها تفاوت آن در نحوه آماده سازی ژل است. که در پیوست، جداول مربوط به تهیه ژل آن آورده شده است. سپس باندهای پروتئینی جدا شده به وسیله الکتروفورز، از روی ژل به غشای نیتروسلولزی، در طی ۲۴ ساعت منتقل شدند. در نهایت غشا

<sup>1</sup> - Tetramethylethylenediamine

<sup>2</sup> - Electroblotting

را از ژل جدا کرده و با استفاده از یک اسکالپل تمیز نواحی مربوط به باندهای پروتئینی برش داده شد و روی سطح پلیتی که با ۱۰۰ میکرولیتر باکتری زانتوموناس سویه NIGEB ۸۸ – کشت داده شده بود، قرار گرفت.

## ۲۰-۲ تخلیص پروتئین

### ۱-۲۰-۲ جداسازی و تخلیص پروتئین با استفاده از <sup>۱</sup>HPLC

HPLC ابزاری قدرتمند جهت جمع آوری اطلاعات کمی و کیفی برای شناخت و ارزیابی واکنش‌های شیمیایی و جداسازی محصولات این واکنش‌ها است. در HPLC فاز ثابت از جنس جامد و فازمتحرک مایع است. از مزایای این تکنیک کم بودن زمان کروماتوگرافی، قدرت تفکیک بالا و حساسیت بالا است. حساسیت این روش به قدری است که مقادیر در حد پیکومول نیز با این روش قابل تفکیک هستند. در این ارزیابی ستون C<sub>18</sub> به عنوان فاز ثابت و آب و استونیتریل به عنوان فاز متحرک استفاده شد. ستون C<sub>18</sub> عمدتاً به عنوان فاز ثابت در نظر گرفته می‌شود چرا که نسبت به سایر ستون‌ها (C<sub>4</sub> یا C<sub>8</sub> و ...) خاصیت آبگریزی بیشتری دارد و می‌تواند با بسیاری از ترکیبات تعامل داشته باشد. لازم به توضیح آن که در فاز آنالایتیکال HPLC تنها تعیین کمیت و کیفیت ترکیب مدنظر قرار می‌گیرد این در حالی است که در فاز Preparative جداسازی و خالص سازی مقدار قابل توجهی از محصول در نظر گرفته می‌شود (هیوبر، ۲۰۰۷). شرایطی که در دو مرحله Analytical و Preparative مورد استفاده قرار گرفت، در جدول (۴-۲) آورده شده است. نکته قابل توجه آن که، حجم محلول تزریقی در مرحله آنالایتیکال ۵۰ میکرولیتر و در مرحله Preparative ۱۰۰۰ میکرولیتر بوده است.

**جدول ۷-۲** شرایطی که در HPLC به شیوه Preparative و Analytical استفاده شد.

	Analytical	Preparative
نوع ستون	C <sub>18</sub>	C <sub>18</sub>
Flow (میلی لیتر در دقیقه)	۱	۲۰
طول موج	۲۲۰	۲۲۰
سایز ستون (میلی متر)	۲۵۰	۱۵۰
قطر داخلی (میلی متر)	۴/۲	۲۱/۲
سایز ذرات C <sub>18</sub> (میکرون)	۵	۵
شیب گرادیانت	از ۱۰٪ استونیتریل شروع و به ۶۰٪ ختم شد.	از ۱۰٪ استونیتریل شروع و به ۶۰٪ ختم شد.

فصل سوم

نتیجہ

همانطور که در بخش (۱-۲) شرح داده شد، پس از بررسی پایگاه (aps.unmc.edu) و تقسیم‌بندی توالی‌های آنتی‌باکتریال پیتیدی در گروه‌های مختلف به این نتیجه رسیدیم که می‌توان از قارچ‌ها به عنوان منبعی برای بررسی خصوصیات آنتاگونیستی بهره جست. جدول (۱-۳) پیتیدها و پروتئین‌های آنتی‌باکتریال گزارش شده از موجودات مختلف را نشان می‌دهد. نکته قابل توجه آن که بررسی‌های ما نشان داد تاکنون تنها از ۳ قارچ این توالی‌های پروتئینی و پیتیدی جدا شده است.

همانطور که در قسمت مواد و روش‌ها شرح داده شد به منظور تعیین موتیف‌های<sup>۱</sup> مشترک در بین توالی‌های ضد میکروبی قارچی و سایر توالی‌های مربوط به موجودات مختلف، همه توالی‌های ضد میکروبی با یکدیگر هم‌ردیف شدند. بررسی‌های ما نشان داد که این توالی‌ها همولوژی بسیار کمی با یکدیگر دارند و این می‌تواند بیانگر این مهم باشد که هر توالی ضد میکروبی با ماهیت پیتیدی یا پروتئینی برای عملی خاص در طبیعت تکامل یافته است. در شکل (۱-۳) بخشی از هم‌ردیفی مربوط به توالی‌های ضد میکروبی حشره‌ای و قارچی آورده شده است. رسم درختچه‌های فیلوزنتیکی نیز مؤید عدم وجود موتیف مشترک بین توالی‌های قارچی با سایر موجودات بود (شکل ۳-۲).

### ۱-۳ شناسایی عصاره‌های دارای خاصیت آنتاگونیستی

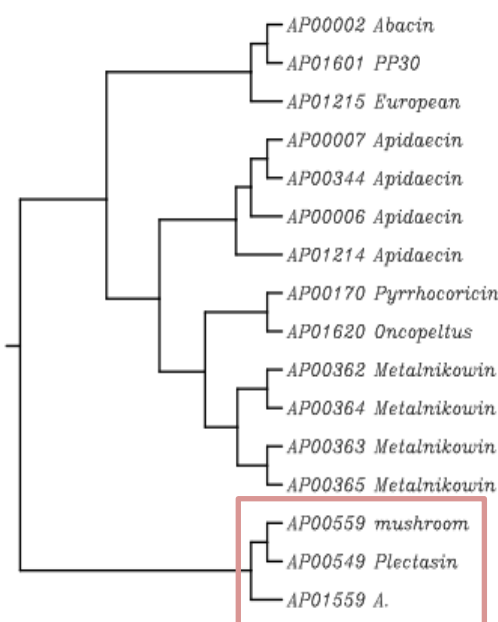
پس از انجام تست آنتی‌باکتریالی نتایج و بررسی‌های اولیه بر روی سویه NIGEB-88 باکتری زانتوموناس با استفاده از عصاره خام ۲۰ قارچ مورد آزمون در این پژوهش، نشان داد ۲ قارچ خاصیت کنترل کنندگی بیشتری نسبت به سایرین دارند. از این دو قارچ، قارچ شماره ۳ جدایه و قارچ شماره ۱۶، *Trichoderma harzianum* 1103 اهدایی از موسسه گیاه‌پزشکی کشور بود. نتایج انجام این تست آنتی‌باکتریالی در جدول (۲-۳) آورده شده است.

جدول ۱-۳ پپتیدهای آنتیباکتریال جدا شده از موجودات مختلف (aps.unmc.edu)

نام موجود	تعداد پروتئین و پپتید آنتیباکتریال
حیوانات	۸۲۷
حشرات	۱۶۷
باکتری‌ها	۱۴۲
گیاهان	۶۲
انسان	۴۹
پرندگان	۳۲
سخت پوستان	۲۹
سنตیک	۲۶
عنکبوتیان	۲۱
نماد	۱۶
تک سلولی‌ها	۹
قارچ‌ها	۳
مجموع	۱۳۸۴

AP00002_Abacin	-----YVPLPNVPQPGRRPFPPTFPGQGPFNPKIKWP-QGY
AP01601_PP30_	-----YVPPVQKPHPNNGPKFTP-----
AP01215_European	-----FVPYNPPRPyQSKPFPSFPGHGPFPNPKIQWP-YPL
AP00007_Apidaecin	-----GNNRPVYIPQPRPPHPRL-----
AP00344_Apidaecin	-----GNNRPYIYIPQPRPPHPRL-----
AP00006_Apidaecin	-----GNNRPVYIPQPRPPHPRI-----
AP01214_Apidaecin	-----GNRPVYIPPPRPPHPRL-----
AP00170_Pyrrhocoricin	-----VDKGSYLPRPTPPRPIYNRN-----
AP01620_Oncopeltus	-----VDKPYYLPRPPPPIPNNR-----
AP00362_Metalnikowin	-----VDKPDYRPRPPRN-----
AP00364_Metalnikowin	-----VDKPDYRPRPWRPN-----
AP00363_Metalnikowin	-----VDKPDYRPRPWRPNM-----
AP00365_Metalnikowin	-----ATRVVYCNRSGSVVGGDDTVYYEG-----
<b>AP00559_mushroom</b>	-----GFGCNGPWDEDMDQCHNHCKSIKGYKGGYCAKGGF-VCK
<b>AP00549_Plectasin</b>	
<b>AP01559_A.</b>	ATYDGKCYKKDNICKYKAQSGKTAICKCYVKVCPRDGAKCEFDSYKGKCY
AP00002_Abacin	-----
AP01601_PP30_	-----
AP01215_European	PNPGH
AP00007_Apidaecin	-----
AP00344_Apidaecin	-----
AP00006_Apidaecin	-----
AP01214_Apidaecin	-----
AP00170_Pyrrhocoricin	-----
AP01620_Oncopeltus	-----
AP00362_Metalnikowin	-----
AP00364_Metalnikowin	-----
AP00363_Metalnikowin	-----
AP00365_Metalnikowin	-----
AP00559_mushroom	CY---
AP00549_Plectasin	C----
AP01559_A.	C----

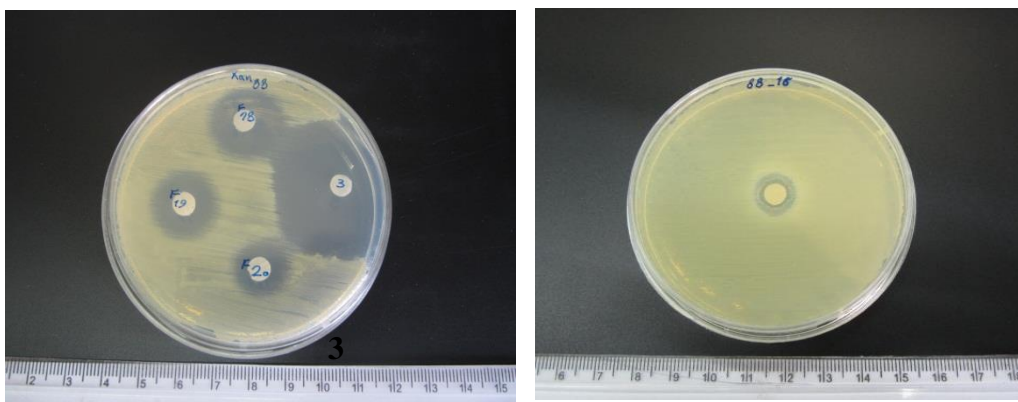
شکل ۱-۳ نمونه‌ای از هم‌دیفی چندگانه بین توالی‌های ضد میکروبی قارچی و حشرات- همانطور که در تصویر فوق مشخص است هیچ شباهتی بین توالی‌های ضد میکروبی قارچی و حشره‌ای وجود ندارد. از الگوریتم ClastalW برای ترسیم هم‌دیفی چندگانه استفاده شد. نواحی پرنگ شده مربوط به توالی‌های قارچی می‌باشد.



شکل ۲-۳ قرار گرفتن قارچ‌ها در شاخه‌ای جداگانه بیانگر عدم شباهت آن‌ها با توالی‌های ضد میکروبی حشره‌ای است.

جدول ۳-۳ میزان ناحیه بازدارنده عصاره خام ۲۰ قارچ مورد بررسی در این پژوهش

قطر هاله عدم رشد (میلی‌متر)	کد قارچ
سویه NIGEB-88 باکتری زانتوموناس	
.	۰۱
.	۰۲
۳۰	۰۳
.	۰۴
.	۰۵
.	۰۶
.	۰۷
.	۰۸
.	۰۹
.	۱۰
.	۱۱
.	۱۲
.	۱۳
۱۰	۱۴
.	۱۵
۱۵	۱۶
.	۱۷
.	۱۸
.	۱۹
.	۲۰



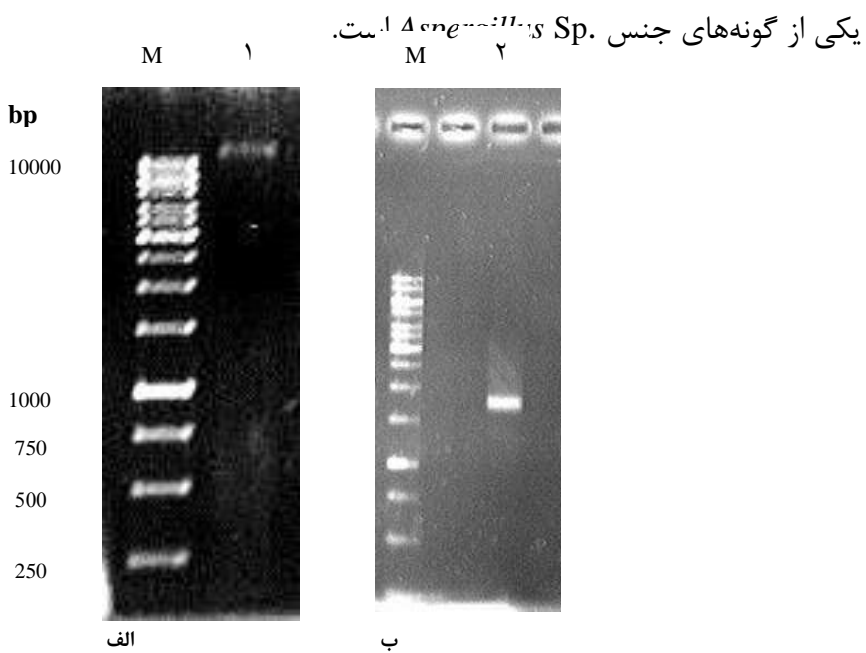
ب

الف

شکل ۳-۳ بررسی خاصیت آنتاگونیستی عصاره خام الف: قارچ Trichoderma harzianum 1103 ب: جدایه شماره ۳

### ۲-۳ شناسایی جدایه قارچی شماره ۳

پس از تأیید کیفیت محصول PCR با استفاده از الکتروفورز ژل آگارز، محصول PCR با استفاده از کیت (Penzberg/Germany) Roche خالص و برای تعیین توالی به شرکت ژن فناوران فرستاده شد. نتیجه توالی‌یابی حاصل پس از انجام BLAST در سایت NCBI نشان داد که توالی حاصل مربوط به یکی از گونه‌های جنس *Aspergillus* است.



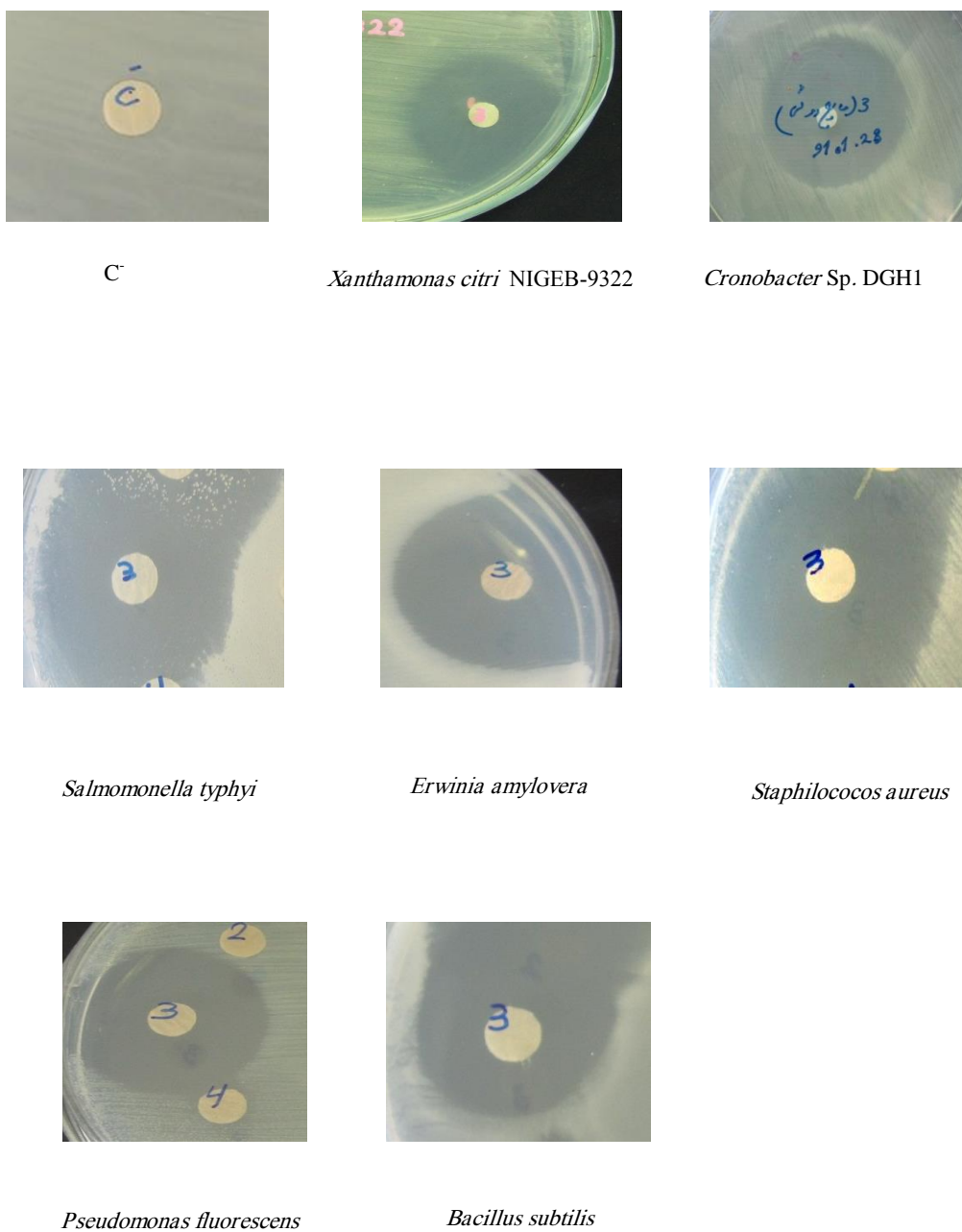
شکل ۳-۳ الف: الکتروفورز ژل آگارز DNA استخراجی از جدایه شماره ۳ ب: الکتروفورز ژل آگارز محصول PCR حاصل از تکثیر توالی 18S rRNA از جدایه قارچی شماره ۳ ، M، مارکر، ۱. DNA استخراجی از جدایه ۳، ۲. توالی 18S rRNA ناحیه

### ۳-۳ بررسی طیف بازدارندگی سکروتوم قارچ *Trichoderma harzianum* 1103 و

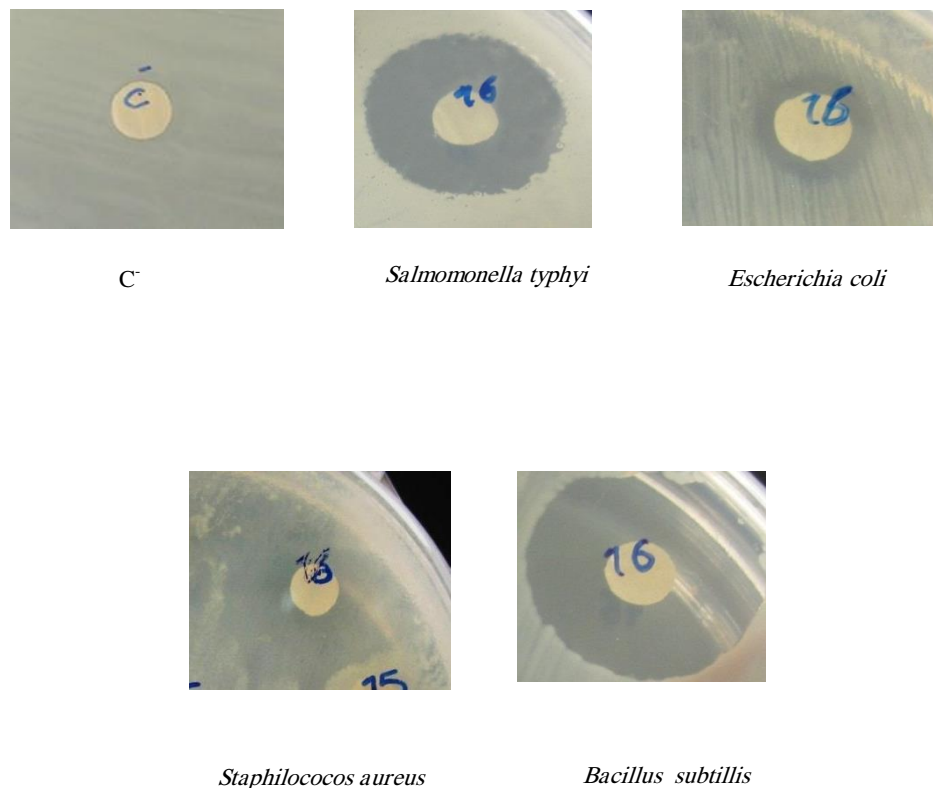
#### *Aspergillus* Sp.

طیف بازدارندگی ترکیب ضدمیکروبی سکروتوم قارچ ۱۱۰۳ و *Trichoderma harzianum* ۱۱۰۳ بر علیه باکتری‌های گرم مثبت و گرم منفی دیگر از جمله باکتری *Bacillus* sp. *Aspergillus* sp. *Staphylococcus aureus* *Pseudomonas fluorescens* *Erwinia amylovora* *subtilis*

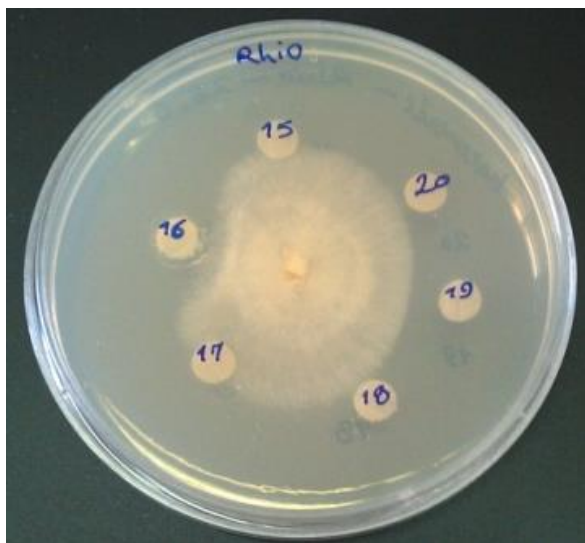
*citri* NIGEB-9322 و همین‌طور سویه *Escherichia coli* و *Salmonella typhi* نیز بررسی شد (شکل ۳-۴ و ۳-۵). همچنین برای بررسی اثر ضد قارچی فعالیت آن‌ها بر روی دو قارچ *Rhizoctonia solani* و *Macrophomina phaseolina* مورد ارزیابی قرار گرفت (شکل ۳-۶).



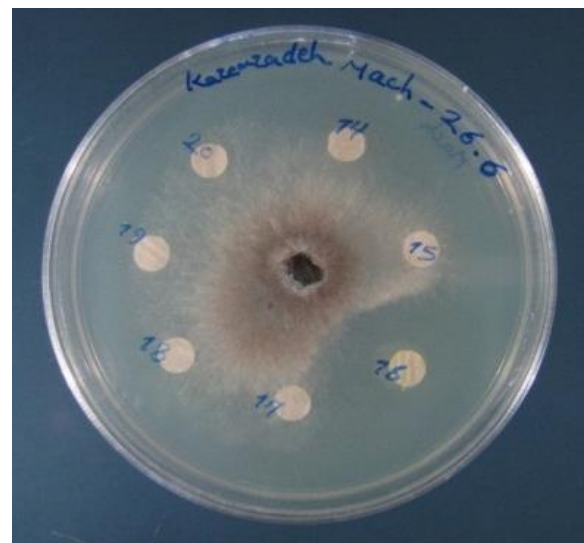
شکل ۴-۳ بررسی اثر آنتاگونیستی سکروتوم *Aspergillus* Sp. یا روی *Erwinia amylovera* ، *Bacillus subtilis* و *X. citri* (NIGEB-9322) ، *Salmonella typhi* ، *Staphylococcus aureus* ، *Pseudomonas fluorescens* و *Cronobacter* Sp. DGH1



شکل ۳-۵ بررسی خاصیت آنتاگونیستی سکروتوم قارچ *T. harzianum* 1103 بر روی *Bacillus subtilis*, *Escherichia coli*, *Salmonella typhi*, *Staphylococcus aureus*



*Rhizoctonia solani*



*Macrophomina phaseolina*

شکل ۳-۶ بررسی خاصیت آنتاگونیستی سکروتوم قارچ *T.harzianum* 1103 بر روی دو قارچ پاتوژن *Aspergillus Sp.* اثری بر روی این دو قارچ نداشته است.

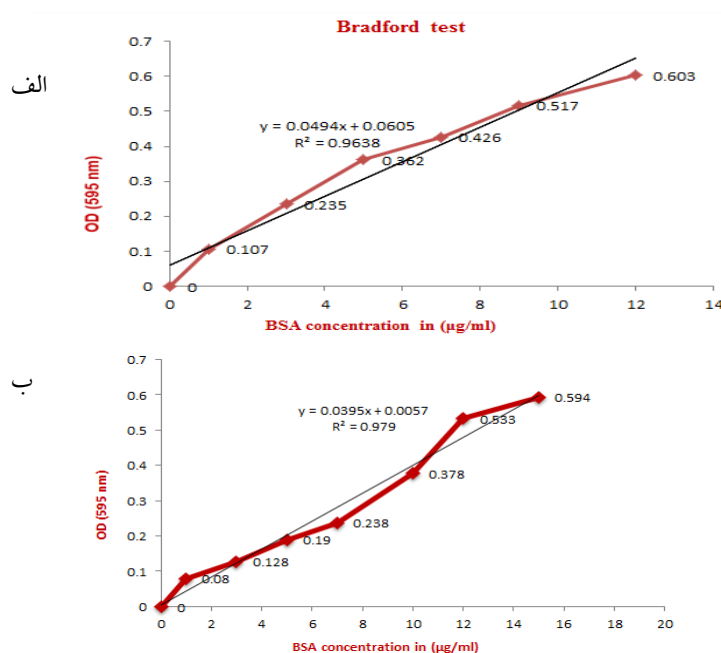
شکل ۴-۳ بررسی اثر آنتاگونیستی دو عصاره قارچی دارای خاصیت آنتاگونیستی بر روی سایر

سویه‌های زانتوموناس

عصاره دو قارچ *Aspergillus Sp.* و *Trichoderma harzianum* 1103 بر روی ۲۶ سویه بیماری- زای دیگر از زانتوموناس مورد تست واقع شدند. در جدول (۳-۳) میزان ناحیه کنترل کننده توسط هر یک آورده شده است. بخشی از تصاویر مربوط به انجام این تست نیز در شکل (۳-۸ و ۹-۳) آورده شده است.

### ۵-۳ تعیین غلظت پروتئین به روش بردفورد

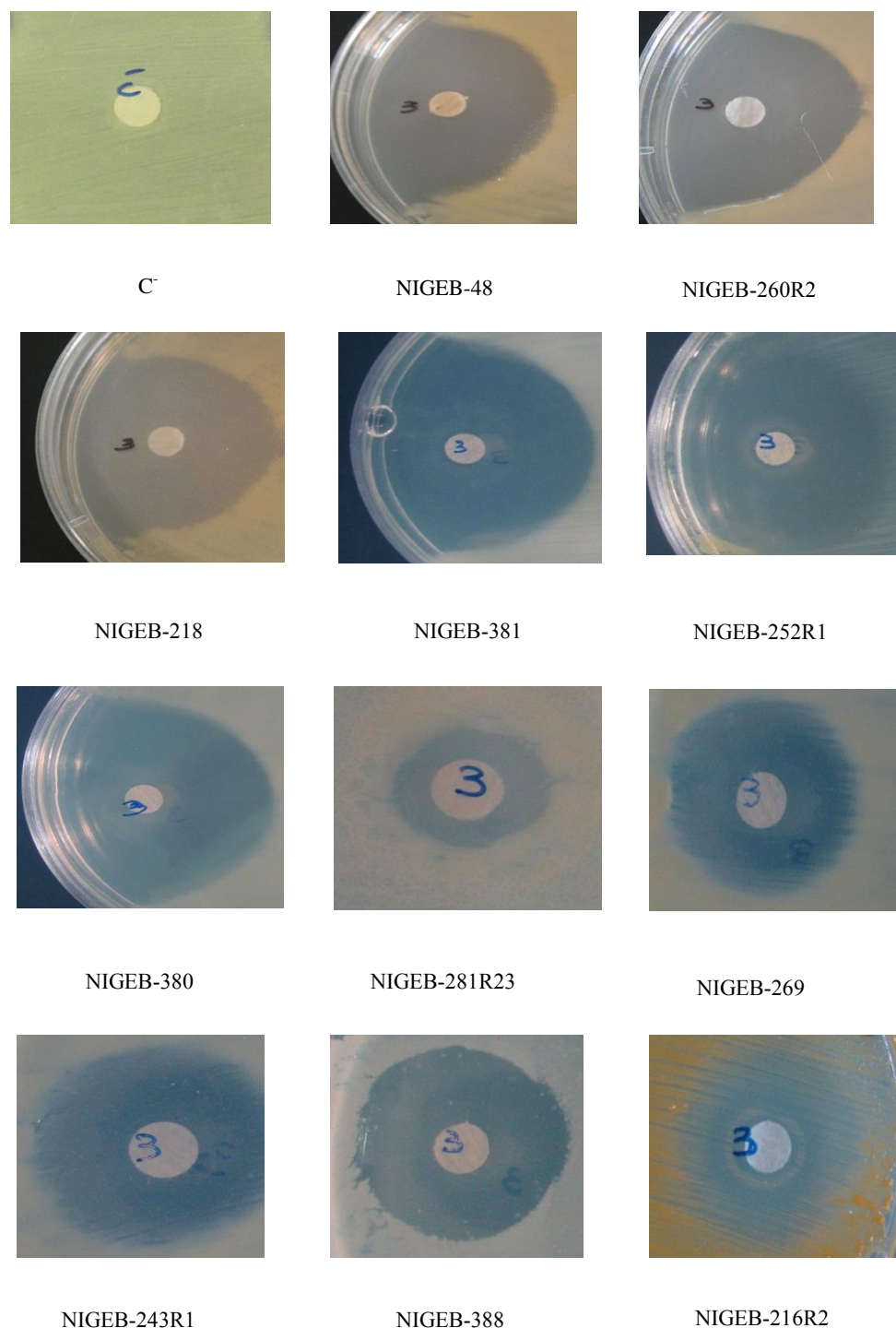
برای بررسی میزان پروتئین موجود در سکروتوم قارچ‌های دارای خاصیت آنتاگونیستی، میزان غلظت پروتئین موجود در عصاره با استفاده از روش بردفورد مورد بررسی قرار گرفت. در شکل (۳-۷) منحنی مربوط به این تست آورده شده است. این میزان برای قارچ *T. harzianum* 1103 ۳/۴ میکروگرم در میلی‌لیتر و برای قارچ *Aspergillus sp.* ۱/۰۲ میکروگرم در میلی‌لیتر به دست آمد.



شکل ۳-۷ منحنی مربوط به تست بردفورد الف: قارچ *Trichoderma harzianum* 1103 ، ب: *Aspergillus sp.*

جدول ۳-۳ میزان ناحیه بازدارنده دو عصاره قارچی برای سویه‌های مختلف زانتوموناس

ردیف	نام سویه	قطر ناحیه بازدارنده بر حسب میلی‌متر	
		<i>Trichoderma harzianum</i> 1103	<i>Aspergillus</i> Sp.
۱	NIGEB-213R1	۱۰	۲۵
۲	NIGEB-243R2	۱۰	۱۵
۳	NIGEB-31	۱۲	۱۶
۴	NIGEB-287R1	۱۱	۲۲
۵	NIGEB-A2L3R1L	۱۰	۱۳
۶	NIGEB-213R2	۱۵	۳۵
۷	NIGEB-281R23	۱۲	۱۶
۸	NIGEB-216R2	۱۱	۲۵
۹	NIGEB-228R1	۱۰	۲۰
۱۰	NIGEB-244R1	۷	۱۷
۱۱	NIGEB-266R2	۷	۱۰
۱۲	NIGEB-243R1	۶	۱۱
۱۳	NIGEB-384	۶	۱۰
۱۴	NIGEB-170	۱۰	۱۵
۱۵	NIGEB-232	-	۲۰
۱۶	NIGEB-385	۶	۲۰
۱۷	NIGEB-48	-	۳۵
۱۸	NIGEB-218	-	۳۵
۱۹	NIGEB-9322	۱۳	۲۵
۲۰	NIGEB-A252R1	۱۰	۴۰
۲۱	NIGEB-388	۱۰	۲۲
۲۲	NIGEB-380	۱۲	۳۵
۲۳	NIGEB-260R2	-	۳۰
۲۴	NIGEB-381	۱۰	۳۵
۲۵	NIGEB-242R1	۱۱	۲۵
۲۶	NIGEB-269	۱۱	۲۵



شکل ۸-۳ بررسی اثر آنتاگونیستی سکروتوم قارچ *Aspergillus Sp.* بر روی برخی از سویه‌های بیماری‌زای زانتوموناس



C-

NIGEB-170

NIGEB-31



NIGEB-213R1

NIGEB-228R1

NIGEB-216R2



NIGEB-242R1

NIGEB-213R2

NIGEB-281R23

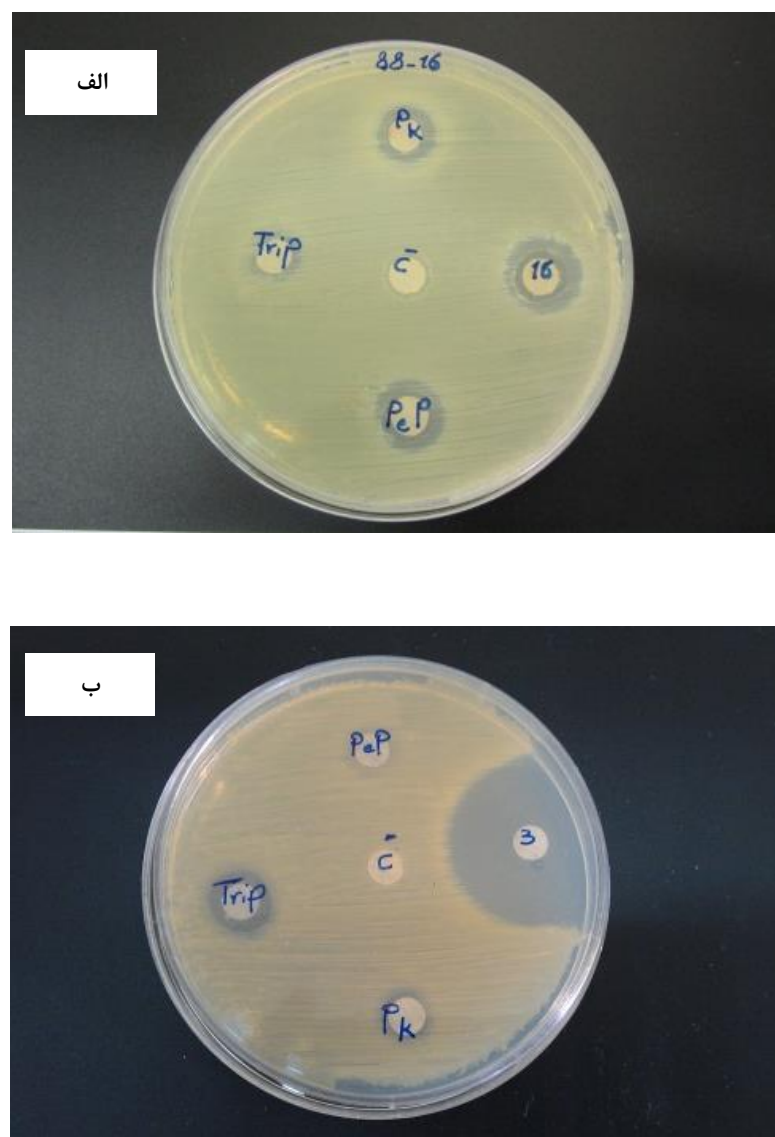
شکل ۹-۳ بررسی اثر آنتاگونیستی سکروتوم قارچ *T. harzianum* 1103 بر روی برشی از سویه‌های زانتوموناس

### ۳-۶ تأثیر پروتئازها بر فعالیت عصاره قارچی

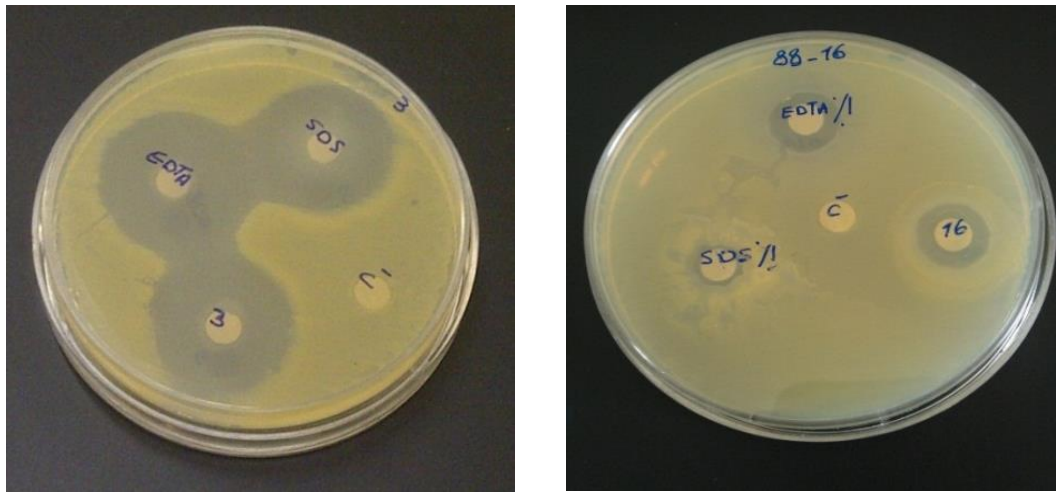
عصاره قارچ ۱۱۰۳ *T. harzianum* به مدت یک ساعت و عصاره قارچ *Aspergillus* sp. به مدت ۲ ساعت با سه پروتئاز پیپسین، تریپسین و پروتئیناز k مجاور شد. فعالیت هر دو عصاره در حضور پروتئازها با غلظت ۱ میلی‌گرم در میلی‌لیتر کاهش یافته است (شکل ۳-۱۰). بنابراین انتظار می‌رود که عصاره قارچی ماهیت پروتئینی داشته باشد.

### ۳-۷ اثر دما، pH و مواد شیمیایی بر فعالیت عصاره‌های قارچی

برای بررسی خصوصیات ماده ضد میکروبی موجود در هر یک از عصاره‌های قارچی *T. harzianum* ۱۱۰۳ و *Aspergillus* Sp. فعالیت هر دو عصاره در طیف دمای ۵۰-۱۰۰ درجه سلسیوس به مدت ۶۰ دقیقه بررسی شد. عصاره قارچ ۱۱۰۳ پس از ۱۵ دقیقه ماندن در دمای ۹۰ درجه سلسیوس به میزان قابل توجهی کاهش یافت اما خاصیت مهم عصاره *Aspergillus* Sp. پایداری در دمای ۱۰۰ درجه سلسیوس به مدت یک ساعت است (شکل ۳-۱۳). همچنین در طیف pH های تولیدی (۴-۹) هر دو عصاره پس از ۳۰ دقیقه مجاورت فعالیت خود را به خوبی حفظ کردند (شکل ۳-۱۲). ترکیب عصاره قارچ *Aspergillus* sp. با SDS و EDTA یک درصد نیز تغییری را در عملکرد آن ایجاد نکرد. این درحالی است که فعالیت عصاره قارچ *Trichoderma harzianum* ۱۱۰۳ در مجاورت با SDS کاهش یافت (شکل ۳-۱۱).



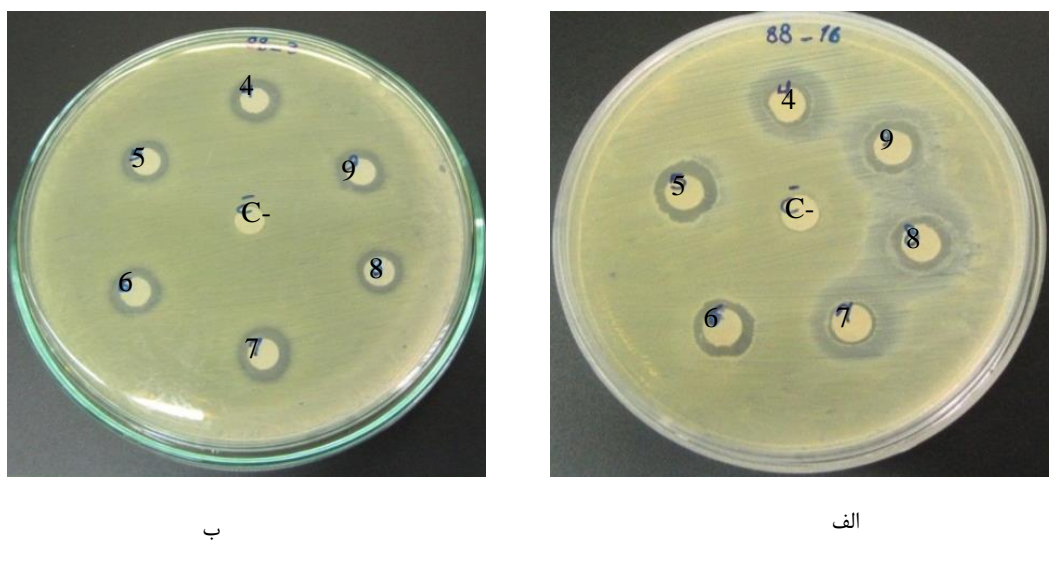
شکل ۳-۱۰ تأثیر سه پروتئاز پپسین، تریپسین و پروتئیناز k بر عصاره قارچ الف: *T. harzianum* 1103، ب: *Aspergillus* sp.



ب

الف

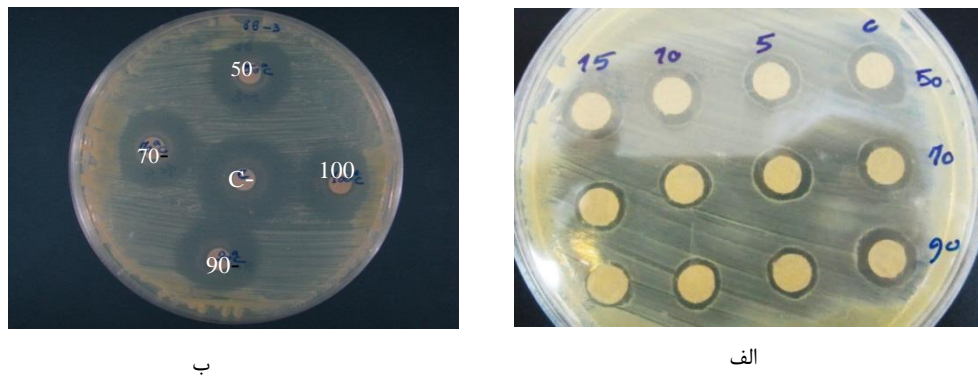
شکل ۱۱-۳ بررسی اثر مواد شیمیایی SDS و EDTA بر روی الف: عصاره قارچ *T. harzianum* 1103، ب: عصاره *Aspergillus* Sp. قارچ



ب

الف

شکل ۳-۱۲ بررسی اثر عصاره قارچ ۱۱۰۳ NIGEB-۸۸ بر سویه *T. harzianum* باکتری زانتوموناس در pHهای مختلف (الف) بررسی اثر عصاره قارچ *Aspergillus* sp. در pHهای مختلف (ب).



شکل ۳-۱۳ بررسی اثر عصاره قارچ الف: *T. harzianum* ۱۱۰۳ بر سویه *Aspergillus* Sp. ب: *Aspergillus* Sp. بررسی زانتوموناس در دماهای مختلف

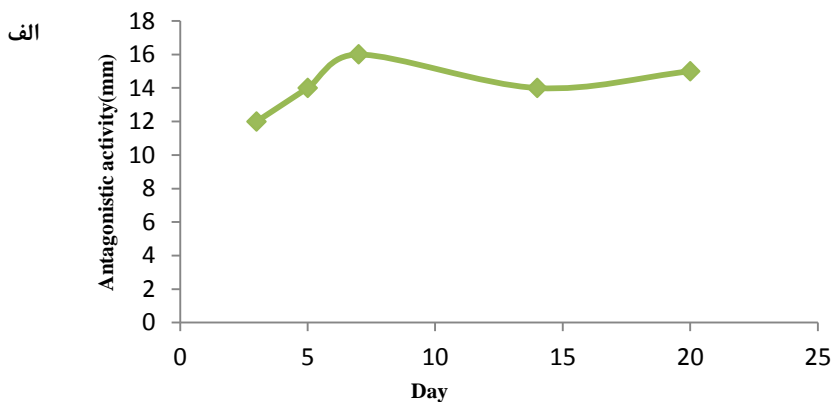
### ۸-۳ تعیین حداقل غلظت بازدارنده (Minimum Inhibitory Concentration)

این تست به روش Broth microdilution و در میکروپلیت الایزا انجام گرفت. حداقل غلظت بازدارنده برای عصاره ۱۱۰۳ *Trichoderma harzianum* ۲۶۵ میکروگرم بر میلی‌لیتر تعیین شد. این در حالی است که این مقدار برای عصاره قارچ *Aspergillus* Sp. ۱۲۸ میکروگرم بر میلی‌لیتر تعیین شد. لازم به توضیح آن که MIC، بیان کننده کمترین غلظتی است که می‌تواند رشد باکتری را مهار کند.

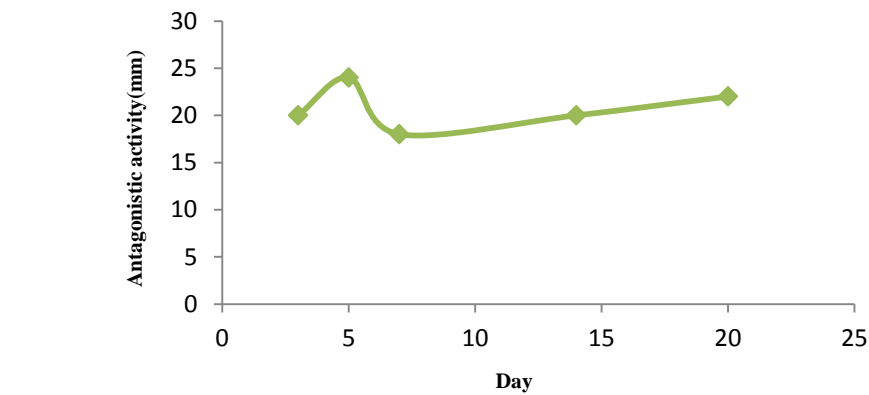
### ۹-۳ بررسی اثر زمان کشت بر تولید پروتئین‌های ضد میکروبی

همانطور که در قسمت مواد و روش‌ها شرح داده شد، میزان هاله عدم رشد هر دو قارچ *Trichoderma harzianum* 1103 و *Aspergillus* Sp. علاوه بر روز بیستم، در ۳، ۵، ۷ و ۱۴ روز پس از کشت نیز مورد بررسی قرار گرفت. بر اساس مشاهدات ما و همانطور که در شکل (۱۴-۳) مشخص است، عملأً تفاوت معنی داری در قطر هاله عدم رشد در روزهای مختلف وجود ندارد.

**Growth inhibition halo for *T. harzianum* 1103**



**Growth inhibition halo for *Aspergillus* Sp.**



شکل ۳-۱۴ بررسی هاله عدم رشد در عصاره‌ی مربوط به روزهای ۳، ۵، ۷، ۱۴ و ۲۰ روز بعد از کشت در محیط مایع.

الف) *Aspergillus Sp.* (ب) *T. harzianum* 1103

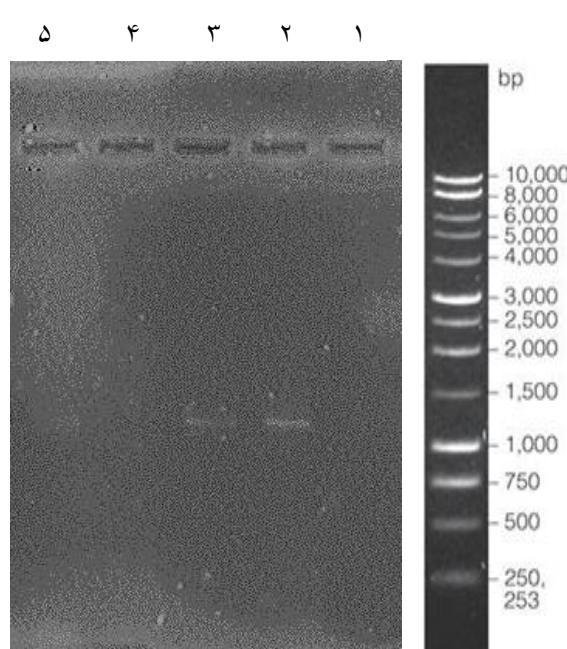
۱۰-۳ تست عصاره‌های قارچ 1103 به منظور بررسی اثر

بازدارندگی بر روی آنزیم ترنسکریپتاز معکوس<sup>۱</sup>

این تست به منظور بررسی اثر ضد ویروسی عصاره‌های قارچی بر روی آنزیم ترنسکریپتاز معکوس

انجام گرفت. همانطور که در تصویر (۱۵-۳) مشخص است، در حضور هر دو عصاره قارچ *Aspergillus* و *T. harzianum* 1103 *Sp.*

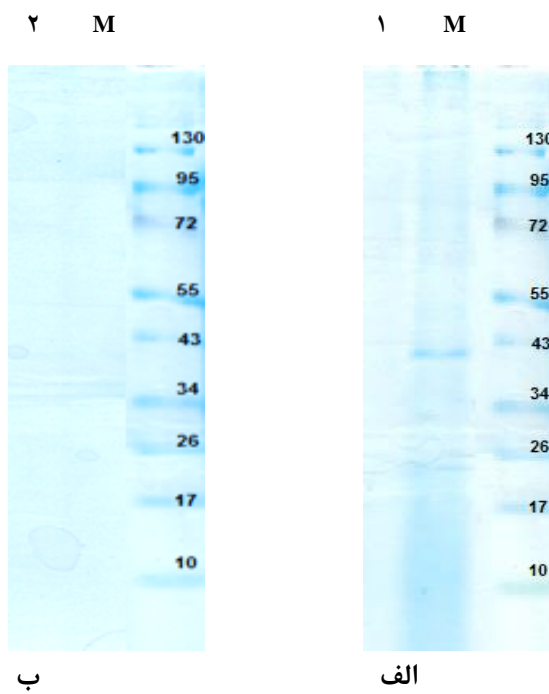
ضد میکروبی یافته شده در این پژوهش خاصیت ضد ویروسی نیز دارند.



شکل ۳-۱۵: ۱: کنترل منفی، ۲ و ۳: کنترل مثبت، ۴: عدم سنتز cDNA پس از نیم ساعت مجاورت با سکروتوم قارچ *Aspergillus Sp.* ۵: عدم سنتز cDNA پس از نیم ساعت مجاورت با سکروتوم قارچ *T. harzianum* 1103

### ۱۱-۳ و تعیین الگوی پروتئینی برای عصاره‌های قارچی SDS PAGE Tris-Tricine

برای بررسی الگوی پروتئینی عصاره‌های قارچی از SDS PAGE Tris-Tricin استفاده شد. در قارچ *Trichoderma harzianum* 1103 سه باند که بیان بالایی نداشتند دیده شد. این در حالیست که عصاره *Aspergillus* sp. هیچ باندی بر روی ژل SDS-PAGE نشان نداد. در شکل زیر سه باند ضعیف در ناحیه ۴۰، ۳۵ و ۲۶ کیلو دالتون برای عصاره قارچ *Trichoderma harzianum* 1103 دیده می‌شود.



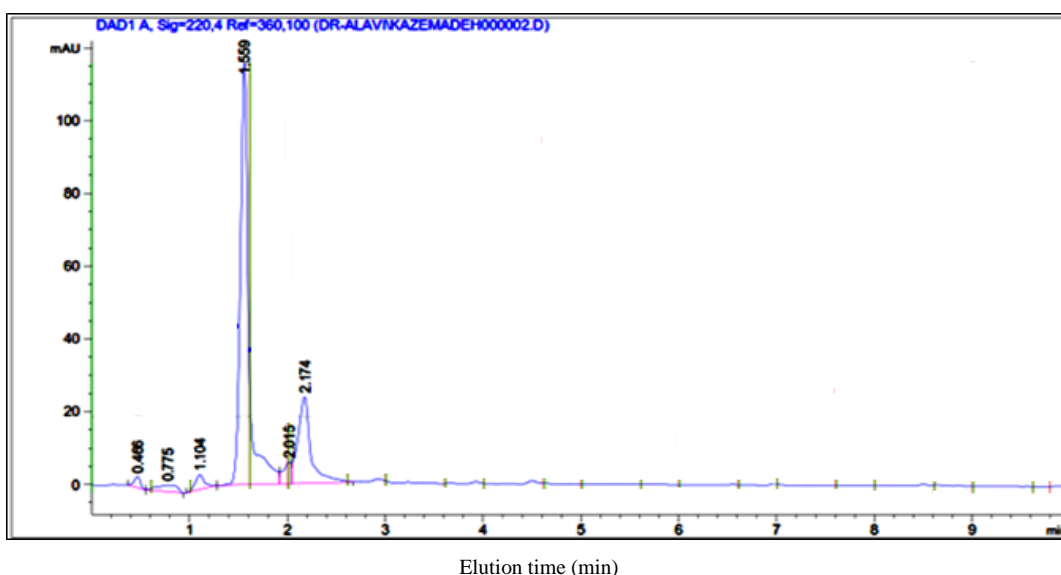
شکل ۱۱-۳ الف: ۱. ژل SDS-PAGE مربوط به سکروتوم قارچ *T. harzianum* 1103 ب: ۲. ژل مربوط به سکروتوم *Aspergillus* sp. همانطور که در تصویر مشخص است باندی دیده نمی‌شود. M: مارکر

### ۱۲-۳ تشخیص پروتئین دارای خاصیت کنترل کنندگی با استفاده از الکتروبلاتینگ

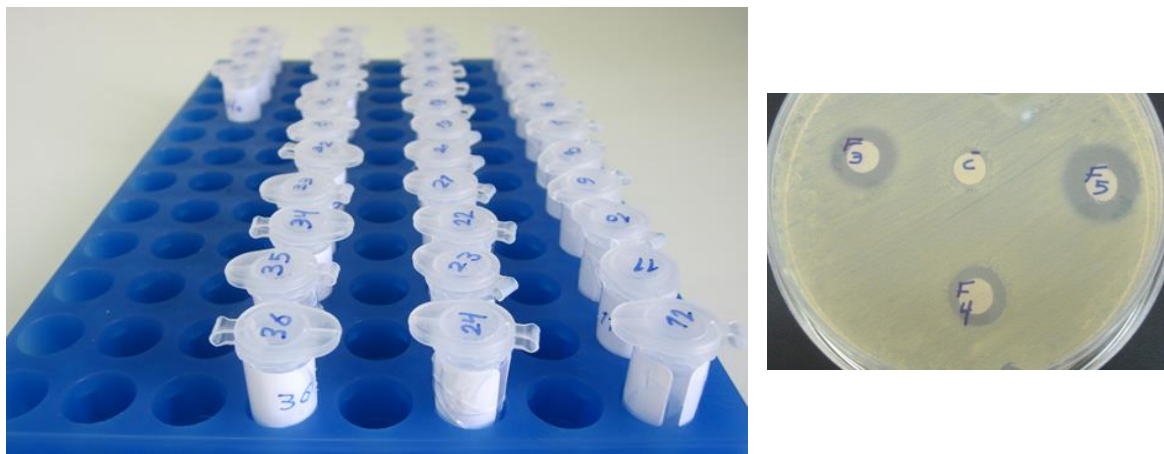
برای تعیین باند پروتئینی دارای خاصیت کنترل کنندگی پس از انتقال باندهای پروتئینی به غشای نیتروسلولزی، غشا بریده شد و روی سطح پلیت کشته شده با باکتری زانتوموناس سویه NIGEB-88 قرار گرفت. انجام این تست برای تشخیص باند دارای خاصیت کنترل کنندگی نتیجه‌ای را در بر نداشت.

### ۱۳-۳ تخلیص پروتئین ضد میکروبی عصاره قارچ *Aspergillus sp.* با استفاده از HPLC

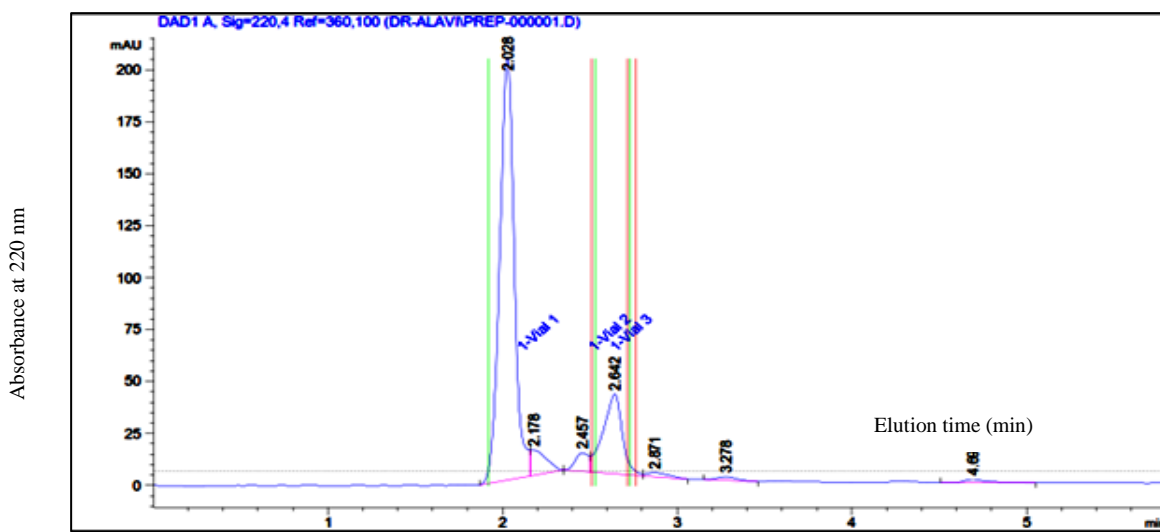
برای تخلیص پروتئین دارای خاصیت آنتی‌باکتریالی *Aspergillus sp.* از HPLC-Preparative استفاده شد. در مرحله آنالیتیکال ۴۰ جدایه کروماتوگرافی ایجاد شد (شکل ۱۷-۳) که پس از بررسی تک تک آن‌ها و انجام تست دیسک ۳ جدایه فعال (شکل ۱۸-۳) که دارای خاصیت آنتاگونیستی بودند انتخاب شدند. در مرحله Preprative (شکل ۱۹-۳) هم که ۱۰۰۰ میکرولیتر به دستگاه تزریق شد ۳ جدایه انتخابی جداسازی و لیوفیلیزه شدند.



شکل ۱۷-۳ دیاگرام مربوط مرحله آنالایتیکال HPLC - از ستون C<sub>18</sub> به عنوان فاز ثابت و آب و استونیتیریل به عنوان فاز متحرک استفاده شد.



شکل ۱۸-۳ جدایه‌های جدا شده از مرحله آنالایتیکال و بررسی خاصیت ضد میکروبی آن‌ها بر روی سویه NIGEB 88 باکتری زانتوموناس



شکل ۱۹-۳ دیاگرام مربوط به مرحله HPLC-Preparative - از ستون C<sub>18</sub> به عنوان فاز ثابت و آب و استونیتیریل به عنوان فاز متحرک استفاده شد.

# فصل چهارم

## بحث

پروتئین‌ها و پپتیدهای آنتیباکتریال ارزش اقتصادی بسیار زیادی دارند به این علت که آن‌ها گیاهان و جانوران را از خسارت مربوط به آلودگی‌های باکتریایی، محافظت می‌کنند. بیماری باکتریایی شانکر مركبات که به وسیله باکتری *Xanthomonas citri* pv. *Citri* ایجاد می‌شود، از جمله بیماری‌های باکتریایی است که بر روی درختان میوه ایجاد می‌گردد. عامل این بیماری دارای دو تیپ متفاوت A و  $A^*$  است. سویه‌های تیپ A در اغلب مناطق کشت و تولید مركبات دیده می‌شود و سویه‌های تیپ  $A^*$  تنها در هند، تایلند و کشورهای حوضه خلیج فارس از جمله ایران شناسایی شده‌اند و دامنه میزانی آن‌ها تنها محدود به درخت لیموترش است. این تحقیق به لحاظ بررسی اثر ترکیبات ضد میکروبی با ماهیت پروتئینی در بیوکنترل عامل بیماری شانکر مركبات منحصر به فرد است چرا که تاکنون پژوهشی پیرامون کنترل بیماری شانکر مركبات با استفاده از پروتئین‌ها و پپتیدهای ضد میکروبی گزارش نشده است.

بررسی‌های ما در شرایط *in silico* مشخص کرد که تاکنون پروتئین‌ها و پپتیدهای بسیاری با فعالیت‌های آنتیباکتریال و ضدقارچی گزارش شده‌اند که بیشتر آن‌ها از حیوانات (استینر و همکاران، ۱۹۸۱؛ لمیتر و همکاران، ۱۹۹۶؛ دستومیوکس و همکاران، ۱۹۹۷؛ کریشنا کوماری و نگاراج، ۱۹۹۷؛ تورس لاریوس و همکاران، ۲۰۰۰)، گیاهان (هاین و همکاران، ۱۹۹۲؛ کامو و همکاران، ۱۹۹۵؛ تالاس، ۲۰۰۴) و باکتری‌ها (بارجا و همکاران، ۱۹۸۹؛ جیمز و همکاران، ۱۹۹۶؛ لونجیون و همکاران، ۲۰۰۴) استخراج شده‌اند و تاکنون تنها ۳ توالی پروتئینی و پپتیدی با خاصیت آنتیباکتریال از قارچ‌های *Clitocybe sinopica* (زنگ و همکاران، ۲۰۱۰)، *Pseudoplectania nigrella* (ماجیند و همکاران، ۲۰۰۵)، *Aspergillus clavatus* ES1 ( حاجی و همکاران، ۲۰۱۰) جداسازی شده است ([aps.unmc.edu](http://aps.unmc.edu)) و این اهمیت کار روی قارچ‌ها جدا شده است که از آن می‌کند. هرچند تاکنون توالی‌های بسیاری با فعالیت ضد قارچی از قارچ‌ها جدا شده است که از آن

جمله می‌توان به AFP از *Penicillium chrysogenum* (لاکاندا و همکاران، ۱۹۹۵)، NAF از *Aspergillus niger* (مارکس، ۲۰۰۴) اشاره کرد. همه‌ی ترکیبات فوق دارای خاصیت ضد قارچی هستند و هرگز فعالیت آنتی‌باکتریالی نداشته‌اند.

در این بررسی دو عصاره قارچ *T. harzianum* ۱۱۰۳ و *Aspergillus* Sp. علیه باکتری مولد بیماری شانکر مركبات خاصیت آنتاگونیستی نشان دادند. جهت تعیین ماهیت عصاره ضد میکروبی عصاره قارچ *Trichoderma harzianum* ۱۱۰۳، اثر پروتئازهای گوناگون بر فعالیت ضد میکروبی هر دو عصاره مورد آزمایش قرار گرفت. هر دو عصاره پس از مجاورت با سه پروتئاز پپسین، تریپسین و پروتئیناز k با غلظت ۱ میلی‌گرم در میلی‌لیتر فعالیت خود را از دست دادند که نشان از ماهیت پروتئینی ترکیب بازدارنده دارد. این مطابق با نتایجی است که توسط حاجی و همکاران (۲۰۱۰) به دست آمده است. آن‌ها نشان دادند که فعالیت AcAMP<sup>۱</sup> پس از یک ساعت مجاورت با سه آنزیم پپسین، تریپسین و پروتئیناز k با غلظت ۲ میلی‌گرم در میلی‌لیتر به طور کامل از بین رفت.

نتایج بررسی‌های ما در شرایط آزمایشگاهی ثابت کرد که می‌توان از پروتئین‌های ضد میکروبی موجود در سکروتوم قارچ *T. harzianum* ۱۱۰۳ و *Aspergillus* Sp. به عنوان عاملی برای بیوکنترل سایر باکتری‌های پاتوژن استفاده نمود.

پروتئین ضدمیکروبی تولید شده توسط قارچ *T. harzianum*-۱۱۰۳ علاوه بر سویه‌های مختلف باکتری زانتوموناس فعالیت بازدارنده‌گی برعلیه سایر باکتری‌های گرم مثبت و گرم منفی دیگر از جمله *Pseudomonas fluorescens*, *Bacillus subtilis*, *E. coli*, *Erwinia* را نشان داد اما علیه باکتری *Staphylococcus aureus*, *Salmonella typhi*

۱ - *Aspergillus clavatus* AntiMicrobial Peptide

اثر کنترل کنندگی نشان نداد. این در حالی است که پروتئین ضد میکروبی تولید شده توسط قارچ *Aspergillus Sp.* توانست با اثر کنترل کنندگی بسیار زیاد تمامی باکتری‌های مورد آزمون در این پژوهش را به خوبی کنترل کند. هر دو پروتئین ضد میکروبی موجود در سکروتوم قارچ *Aspergillus Sp.* و *T.harzianum* 1103 میکروبیتاز معکوس را متوقف کنند و این مسئله نشان از ضد ویروسی بودن این ترکیبات دارد. این مهم بیانگر وسیع الطیف بودن این پروتئین‌های ضد میکروبی است و این اثر بازدارندگی وسیع می‌تواند ناشی از سیستم‌های پیچیده آنتاگونیستی باشد که توسط این قارچ‌ها تولید می‌شود. نتایج حاصل از بررسی‌های ژنگ و همکاران (۲۰۱۰) و زارع (۱۳۸۶) مؤید همین مسئله است.

همچنین فعالیت ضد قارچی سکروتوم *T. harzianum*-1103 بسیار قابل توجه بوده است. البته گزارشات متعددی پیرامون استفاده از تریکودرماها در امر بیوکنترل بیماری‌های قارچی موجود است (سید اصلی و همکاران، ۱۳۸۳؛ حریقی و همکاران، ۱۳۸۵). هرچند سکروتوم قارچ *Macrophomina phaseolina* و *Aspergillus Sp.* هیچ اثر کنترل کنندگی را در مقابل دو قارچ *Rhizoctonia solani* نشان نداد.

خاصیت مهم پروتئین ضد میکروبی موجود در سکروتوم قارچ *Aspergillus Sp.* پایداری در دمای ۱۰۰ درجه سلسیوس به مدت یک ساعت است که احتمالاً ناشی از ساختار سه بعدی آن‌ها و عدم نقش نیروهای ضعیف الکتروستاتیک و هیدروژنی در شکل‌گیری این پروتئین است. گزارشات بسیاری پیرامون مقاومت پروتئین‌های آنتی‌میکروبیال در دماهای بالا وجود دارد. هرچند پروتئین ضد میکروبی موجود در سکروتوم *T.harzianum* 1103 پس از ۱۵ دقیقه ماندن در دمای ۹۰ درجه سلسیوس فعالیتش را به طور کامل از دست داد.

ژنگ و همکاران (۲۰۱۰) نشان دادند حساسیت پروتئین‌های آنتی‌میکروبیال نسبت به pH بسیار متفاوت است و تعداد زیادی از آن‌ها در محدودهٔ وسیعی از pH ها فعال می‌باشند. هر دو پروتئین استخراجی در این پژوهش نیز همین خصوصیت را نشان داده و در تمامی pH های pH تهیه شده فعالیت خود را به خوبی حفظ کردند. مشابه نتایج مژگانی و همکاران (۱۳۸۵) ترکیب هر دو عصاره دارای خاصیت ضد میکروبی با EDTA پس از نیم ساعت مجاورت تغییری را در عملکرد آن‌ها ایجاد نکرد. این عدم بازدارندگی حاکی از این است که کاتیون‌های فلزی نقشی در فعالیت این پروتئین ضد میکروبی ندارند. این در حالیست که در مجاورت با SDS عملکرد عصاره قارچ *T. harzianum* 1103 کاهش یافت که مطابق با نتایجی است که توسط تگ و همکاران (۱۹۷۶) گزارش شد که حاکی از آن است که اگر زیر واحد بزرگ توسط دترژن‌ها به زیر واحد کوچک‌تر تقسیم شود، ممکن است فعالیت ضد میکروبی آن‌ها کاهش یابد و یا به طور کلی متوقف شود.

همچنین در این تحقیق اثر زمان کشت بر تولید پروتئین ضد میکروبی در دو قارچ *Aspergillus* Sp. و *T. harzianum* 1103 در زمان‌های ۳، ۵، ۷، ۱۴ و ۲۰ روز نیز مورد بررسی قرار گرفت. نتایج حاصل از مطالعات فوق ثابت نمود که عملاً از روز پنجم به بعد تفاوت معنی داری در قطر هاله عدم رشد و میزان کنترل کنندگی وجود ندارد.

با توجه به نتایج حاصل از مرحله تخلیص پروتئین موجود در سکروتوم قارچ *Aspergillus* Sp. می‌توان نتیجه گرفت که HPLC در دو مرحله Preparative و Analytical روشی کارآمد در تخلیص پروتئین‌های ضد میکروبی محسوب می‌شود. در این مورد می‌توان به تحقیقات رکنی زاده و همکاران (۲۰۱۲) اشاره کرد و به جرأت می‌توان گفت این شیوه در قیاس با تخلیص به شیوه دستی بسیار مؤثرتر و کارآمدتر است.

در پایان می‌توان با قاطعیت ابراز کرد که برای نخستین بار عامل بیماری شانکر مركبات به وسیله پروتئین‌های ضد میکروبی موجود در سکروتوم قارچ *Trichoderma* sp. و *Aspergillus* sp. در شرایط *in vitro* در این پژوهش توانست کنترل شود. از آن‌جا که این پپتیدها و پروتئین‌های ضد میکروبی بر عکس آنتی‌بیوتیک‌های متعارف عموماً طیف اثر گسترده‌ای دارند و بر علیه آن‌ها مقاومت ایجاد نمی‌شود لذا سرمایه گذاری بر روی این پروتئین‌های استخراجی جهت مهار بیماری شانکر مركبات و سایر بیماری‌های باکتریایی و قارچی دیگر ارزشمند خواهد بود.

### پیشنهادات

- پیشنهاد می‌شود اثر پروتئین‌های ضد میکروبی در شرایط *in vivo* نیز مورد بررسی قرار بگیرد.
- با توجه به طیف گسترده اثر پپتیدها و پروتئین‌های ضد میکروبی پیشنهاد می‌شود اثر این پروتئین‌های ضد میکروبی بر روی سلول‌های سرطانی با انجام تست<sup>۱</sup> MTT صورت بگیرد.
- شناسایی ژن‌های کد کننده این ترکیبات ضد میکروبی و Over expression آن‌ها
- از آنجا که این ترکیبات ضد میکروبی مکانیزم عمل مشخصی ندارند، شناسایی مکانیزم عمل این پروتئین‌های ضد میکروبی و تعیین ساختار آن‌ها نیز می‌تواند در دستور کار قرار بگیرد.
- پیشنهاد می‌شود جهت تولید هر چه بیشتر این پروتئین‌های ضد میکروبی بهینه سازی محیط کشت انجام بگیرد.

1 - 3-(4,5-Dimethylthiazol-2-yl)-2,5-Diphenyltetrazolium Bromide

## پیوست

### ۱. محلول‌ها

#### ۱- محلول‌های مورد استفاده در ژل PAGE<sup>۱</sup>

محلول استوک اکریل آمید (۳۰/۸ درصد). ۳۰ گرم اکریل آمید و ۰/۸ گرم بیس اکریل آمید در حدود ۵۰ میلی‌لیتر آب مقطر حل می‌شود و سپس حجم نهایی آن را به ۱۰۰ میلی‌لیتر می‌رسانیم. محلول را صاف کرده و در ظرف تیره می‌ریزیم. این محلول تا سه ماه در یخچال قابل نگهداری است.

بافر ژل پایین. این بافر دارای غلظت ۱/۵ مولار تریس با pH ۸/۸ است. برای تهیه آن ۱۸/۲ گرم تریس باز را در حدود ۷۰ میلی‌لیتر آب مقطر حل می‌کنیم. سپس pH آن را با اسید کلریدریک ۲ مولار تا ۸/۸ پایین آورید و حجم نهایی را با آب مقطر به ۱۰۰ میلی‌لیتر می‌رسانیم.

بافر ژل بالا. این بافر دارای غلظت ۵/۰ مولار تریس با pH ۶/۸ است. برای تهیه آن ۶/۱ گرم تریس باز در حدود ۵۰ میلی‌لیتر آب مقطر حل می‌شود. سپس با اسید کلریدریک ۲ مولار، pH آن را به ۶/۸ تنظیم می‌کنیم و حجم نهایی را با آب مقطر به ۱۰۰ میلی‌لیتر می‌رسانیم.

بافر الکترود. این بافر دارای غلظت ۲۵ مولار تریس باز و ۱۹۲ میلی‌مولار گلایسین<sup>۲</sup> است. برای تهیه آن ۳ گرم تریس باز و ۱۴/۴ گرم گلایسین را در یک لیتر آب مقطر حل کردیم. pH این بافر حدود ۸/۳ است و نیازی به تنظیم ندارد.

بافر نمونه ۵. شامل ۱۵ میلی‌لیتر تریس ۱ مولار با pH ۶/۸ ، ۲۵ میلی‌لیتر گلیسرول و ۱۰ میلی‌لیتر آب مقطر می‌باشد. پس از مخلوط کردن این مواد، چند بلور برمودن فنول بلو اضافه می‌شود تا بافر به رنگ آبی تیره درآید.

1 - Polyacrylamide gel electrophoresis

2 - Glycine

**پرسولفات آمونیوم ۱۰ درصد (w/v).** ۰/۱ گرم پر سولفات آمونیوم را در یک میلیلیتر آب م قطر حل کردیم. این محلول باید تازه تهیه شود.

**TEMED ۱۰ درصد (V/V).** ۰/۹ میلیلیتر TEMED و ۰/۱ میلیلیتر آب م قطر را با هم مخلوط می‌کنیم. این محلول نیز باید تازه تهیه شود.

#### ۲-۱ محلول‌های رنگ آمیزی با کوماسی‌بلو (G250 یا R250)

رنگ آمیزی با محلول کلوئیدی G-250 براساس روش بلاکسلی<sup>۱</sup> و بوئز<sup>۲</sup> با بعضی تغییرات انجام می‌گیرد. با توجه به حالت کلوئیدی کوماسی در این روش، زمینه ژل آنچنان رنگ نمی‌شود. حساسیت رنگ آمیزی با کوماسی G-250 به مراتب بیش از رنگ آمیزی با R-250 است و در حدود ۳۰-۴۰ نانوگرم پروتئین در هر باند است. بدین منظور مقدار ۰/۲ گرم از پودر رنگ را وزن کرده و در ۲۰ میلیلیتر اسید استیک و ۹۰ میلیلیتر متانول حل می‌کنیم. سپس حجم نهایی را با آب م قطر به ۲۰۰ میلیلیتر می‌رسانیم.

#### ۲-۲ محلول رنگ بر<sup>۳</sup>

این محلول حاوی ۱۰۰ میلیلیتر متانول، ۱۰۰ میلیلیتر اسید استیک گلایسال و ۸۰۰ میلیلیتر آب م قطر است.

#### ۴-۱ محلول رنگ آمیزی با نیترات نقره

نقره از اواسط قرن ۱۷ میلادی در عکاسی و سپس در روش‌های بافت شناسی مورد استفاده قرار گرفت. استفاده از نقره برای رنگ آمیزی پروتئین‌ها در الکتروفورز توسط اسوتیزر<sup>۱</sup> و همکارانش در

1 - Blakesley

2 - Boezi

3 - Destain

سال ۱۹۷۹ میلادی مطرح گردید. از آن زمان تاکنون بیش از صد مقاله در مورد اشکال مختلف رنگ آمیزی با روش نقره به چاپ رسیده است.

حساسیت اشکال مختلف روش نقره دهها تا صدها برابر روش کوماسی آبی است. در بعضی روش‌های نقره تا ۰/۰ نانو گرم پروتئین در هر باند قابل تشخیص است. بدین لحاظ با این روش اجزای بسیار ناچیز یک نمونه و اجزای یک نمونه پروتئینی بسیار رقیق را می‌توان تشخیص داد. معمولاً اشکالی از روش نقره که سریع‌تر انجام می‌گیرند، حساسیت کمتری دارند. رنگ آمیزی با روش نقره به رغم حساسیت بسیار بالا اشکالاتی هم دارد. این روش وقت‌گیر و گران است. به مواد شیمیایی و آب مقطر با درجه خلوص بالا نیازمند بوده، در غیر اینصورت، کیفیت رنگ آمیزی مطلوب نیست. اثر آبینه‌ای نقره و عدم و یا ضعف رنگ پذیری بعضی از پروتئین‌ها از مشکلات دیگر این روش است.

رنگ آمیزی با نیترات نقره در ۸ مرحله صورت می‌گیرد که در ذیل به تشریح آن می‌پردازم:  
مرحله ۱: فرمالدئید ۵۰ میکرولیتر، اسید استیک ۱۲ میلی‌لیتر و متانول ۵۰ میلی‌لیتر را با هم ترکیب کرده و حجم نهایی را به ۱۰۰ می‌رسانیم. سپس ژل به مدت یک ساعت در محلول فوق باقی می‌ماند و به آرامی شیک<sup>۱</sup> می‌شود.

مرحله ۲: ژل را در می‌آوریم و در اتانول ۵۰ درصد قرار می‌دهیم (دو تا ۱۰ دقیقه‌ای). بعد از ۱۰ دقیقه خالی می‌کنیم و در اتانول جدید قرار می‌دهیم.

مرحله ۳: ۰/۰۲ گرم  $\text{Na}_2\text{SO}_2\text{O}_3.5\text{H}_2\text{O}$  را در ۱۰۰ میلی‌لیتر آب مقطر حل می‌کنیم (به مدت یک دقیقه در آن بماند). ۲ میلی‌لیتر از محلول فوق برای استفاده در مرحله ۷ کنار بماند.

مرحله ۴: ۳ تا ۲۰ ثانیه با آب مقطر شستشو می‌دهیم.

1 - Switzer  
2 - Shake

**مرحله ۵:** در محلول ۵۰ میکرولیتر فرمالدئید و ۰/۲ گرم  $\text{AgNO}_3$  (حجم نهایی را به ۱۰۰ میلیلیتر می‌رسانیم). به مدت ۲۰ دقیقه بماند.

**مرحله ۶:** با آب مقطر به مدت ۳ تا ۲۰ ثانیه ژل را می‌شوییم.

**مرحله ۷:** ۲ میلیلیتر از محلول مرحله شماره ۷ را در ۱۰۰ میلیلیتر آب مقطر ریخته و به آن ۵۰ میکرولیتر فرمالدئید اضافه می‌کنیم.

**مرحله ۸:** هر موقعی که باندها ظاهر شد بلافضله محلول را تخلیه می‌کنیم و محلول متابول ۵۰ درصد و اسید استیک ۱۲ درصد را روی آن می‌ریزیم.

### TBE بافر ۱-۵

از این بافر برای الکتروفورز DNA استفاده شد. ترکیبات محلول ذخیره ۵ بار تغليظ شده آن ( $x$ ) ۵ در زیر دیده می‌شود (جدول ۲-۵). pH بافر بایستی قبل از اتوکلاو روی ۸ تنظیم گردد. پس از تهیه، بافر به مدت ۲۰ دقیقه اتوکلاو می‌شود. این بافر در دمای اتاق نگهداری و در زمان مصرف با آب مقطر به میزان  $x$  ۰.۵ رقیق شد.

### ۱-۶ تهیه آگارز ۱ درصد

برای تهیه ژل آگارز ۱ درصد، ۱ گرم از آگارز با استفاده از بافر TBE به حجم ۱۰۰ رسانده شد.

### ۱-۷ محلول رنگ‌آمیزی ژل الکتروفورز

محلول ذخیره اتیدیوم برماید (sigma) با غلظت ۱۰ میلیگرم در میلیلیتر در آب مقطر حل شد. این محلول باید در تاریکی نگهداری شود.

## ۲. محیط کشت‌های مورد استفاده در این پژوهش

### ۱-۲ محیط (Yeast Extracte , Peptone ) YP

این محیط حاوی پپتون و عصاره مخمر است که محیطی اختصاصی برای رشد باکتری‌هاست. به نظر می‌رسد زانتوموناس بهترین رشد را در همین محیط دارد. برای تهیه این محیط کشت در حجم ۲۰ میلی‌لیتر، ابتدا مقدار ۱/۰ گرم پپتون و ۰/۰۶ گرم عصاره مخمر را وزن و سپس با آب مقطر به حجم ۲۰ میلی‌لیتر می‌رسانیم. سپس به مدت ۲۰ دقیقه در دمای ۱۲۱ درجه سلسیوس، محیط کشت را اتوکلاو می‌کنیم.

### (Potato Dextrose Broth) PDB ۲-

این محیط حاوی پپتون و گلوکز است. pH کم این محیط مانع از رشد باکتری‌ها می‌شود. برای تهیه این محیط در حجم یک لیتر مقدار ۲۰ گرم گلوکز و ۴ گرم پپتون را توزین کرده و سپس با آب مقطر به حجم ۱۰۰۰ میلی‌لیتر می‌رسانیم. سپس درون آن یک مگنت قرار داده، آنرا روی استریر<sup>۱</sup> گذاشته و اجازه می‌دهیم پپتون و گلوکز حل شود. پس از آن به مدت ۲۰ دقیقه در دمای ۱۲۱ درجه سلسیوس اتوکلاو می‌شود.

### (Potato Dextrose Agar) PDA ۳-۲

برای تهیه این محیط کشت از پودر آماده آن استفاده شد. بدین منظور مقدار ۱۹/۵ گرم از پودر آماده PDA را توزین کرده و با آب مقطر به حجم ۵۰۰ میلی‌لیتر می‌رسانیم. سپس یک مگنت در آن قرار داده و آن را روی استریر قرار می‌دهیم. پس از اینکه محیط همگنی حاصل شد محیط را برداشته و به مدت ۲۰ دقیقه در دمای ۱۲۱ درجه سلسیوس اتوکلاو می‌کنیم. این مقدار محیط ساخته شده برای ۲۲ پتری دیش ۹ سانتی‌متری شیشه‌ای کافی می‌باشد.

### ۱-۳ محیط نگهداری ذخیره باکتری‌ها

برای نگهداری باکتری‌ها باید از آن‌ها استوک تهیه کرد. برای این کار ابتدا باکتری را در محیط جامد کشت می‌دهیم. پس از ۲۴ ساعت به میزان یک لوب از محیط کشت باکتری برداشته و وارد ۵ سی‌سی محیط مایع YP می‌کنیم. سپس در دمای ۳۲ درجه و دور rpm ۱۸۰ به مدت ۱۶ ساعت محیط کشت را انکوبه کردیم. لازم به ذکر اینکه ۱۶-۱۴ ساعت زمان مناسبی برای رشد باکتری‌ها است. سپس باکتری را در g ۸۰۰۰ و به مدت ۱۰ دقیقه سانتریفیوژ می‌کنیم. در زیر هود و در شرایط کاملاً استریل مایع رویی<sup>۱</sup> را خارج کرده و رسوب<sup>۲</sup> را نگه می‌داریم. در فالکونی دیگر مقدار ۸۰۰ میکرولیتر از محیط کشت و ۲۰۰ میکرولیتر از گلیسرول را که قبلاً اتوکلاو شده بود، با یکدیگر با ورتکس<sup>۳</sup> مخلوط می‌کنیم. سپس محتويات فالکون مذکور را به فالکون حاوی رسوب باکتری، اضافه می‌کنیم و با تکان دادن با دست، باکتری را در محیط فوق حل می‌کنیم. سپس تعدادی میکروتیوب برداشته و به هر یک مقداری از مخلوط فوق را اضافه می‌کنیم و درنهایت استوک‌ها را در دمای -۷۰ درجه سلسیوس قرار می‌دهیم.

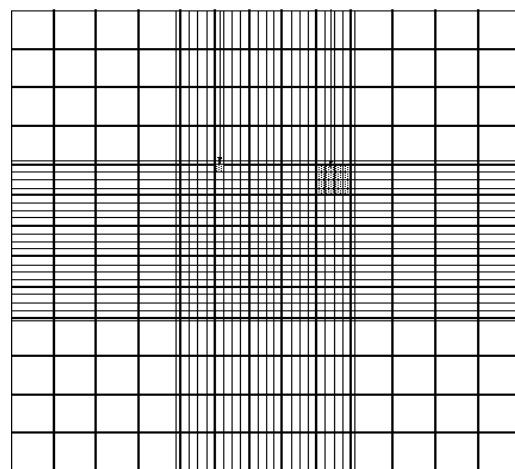
### ۳. شمارش اسپور

۱۰ میکرولیتر از سوسپانسیون یکنواخت اسپوری روی لام شمارش نئobar (هموسیتومتر) قرار داده شد. این لام دارای ۴ مربع ۱۶ خانه‌ای می‌باشد که برای شمارش، اسپورهای تمام ۴ مربع ۱۶ خانه‌ای شمرده می‌شود. تصویر این لام زیر میکروسکوپ در شکل (۱-۲) آمده است. تعداد به دست آمده ابتدا تقسیم بر ۴ و سپس در  $10^4$  ضرب می‌شود که تعداد اسپور در ۱۰ میکرولیتر سوسپانسیون اسپوری را نشان می‌دهد. سپس با توجه به ضریب رقت مقدار تلقيق اسپور محاسبه می‌شود.

1 - Supernatant

2 - Pellet

3 - Vortex



شکل ۱-۲ تصویر لام شمارش نئوبار (هموسیتومتر) زیر میکروسکوپ  
 $10 \times$  ضریب رقت  $\times 4 /$  تعداد کل اسپورهای شمرده شده در هر چهار مربع = تعداد اسپور در سوسپانسیون

#### ۴. نحوه استفاده از PMSF

PMSF یک بازدارنده برای فعالیت سرین پروتئازها است. این ترکیب خیلی سریع در آب حل می‌شود و استوک آن را می‌توان در اتانول، ایزوپروپانول و DMSO تهیه کرد.

برای استفاده از این ترکیب، باید در محلول نهایی ۱ میلی مولار باشد. چون درست کردن ۱ میلی مولار سخت است، ۱۰۰ میلی مولار درست می‌کنیم و بعد در نمونه‌ها رقیق می‌شود و به ۱ میلی مولار می‌رسد. مثلاً در ۱ لیتر محیط کشت:

$$1 \text{ Lit} \times 147 \text{ g/l} \times 0.1 = 0.147 \text{ g}$$

نکته: وزن مولکولی PMSF، ۱۴۷ گرم بر لیتر است.

بنابراین ۰/۱۴۷ گرم PMSF را در ۱۰ میلی لیتر متانول حل کردیم. در حقیقت به هر فالکون (۲۰ عدد) مقدار ۵/۰ میلی لیتر اضافه می گردد.

##### ۵. خالص سازی محصول PCR طبق کیت Roch

خالص سازی محصول PCR طبق پروتکل زیر صورت گرفت. این مراحل برای ۱۰۰ میکرولیتر محصول PCR می باشد.

۱. ۵۰۰ میکرولیتر Binding buffer را به ۱۰۰ میکرولیتر محصول PCR اضافه کرده و خوب

مخلط می کنیم.

۲. فیلتر تیوب را به تیوب جمع کننده<sup>۱</sup> وارد می کنیم و نمونه را از مرحله ۱ به فیلتر تیوب انتقال می دهیم. ۳۰ تا ۶۰ ثانیه با دور بالا در دمای ۱۵-۲۵ درجه سلسیوس سانتریفیوژ می کنیم.

۳. محلول داخل تیوب جمع کننده را دور ریخته و دوباره فیلتر تیوب داخل آن قرار داده شد.

۴. ۵۰۰ میکرولیتر بافر شستشو<sup>۲</sup> را به بالای فیلتر تیوب اضافه شد و ۱ دقیقه در سرعت ۱۳۰۰۰×g سانتریفیوژ شد.

۵. محلول زیری را دور ریخته و ۲۰۰ میکرولیتر بافر شستشو اضافه کردیم و ۱ دقیقه در سرعت ۱۳۰۰۰×g سانتریفیوژ شد.

1 - Collection tube

2 - Wash buffer

۶. محلول زیری همراه با تیوب جمع کننده دور انداخته و فیلتر تیوب را درون یک میکروسانتریفیوز استریل ۱/۵ میلی لیتری وارد کردیم.
۷. ۱۰۰-۵۰ میکرولیتر بافر ایلوت کننده<sup>۱</sup> را به فیلتر تیوب اضافه کرده و ۱ دقیقه در سرعت  $13000\times g$  سانتریفیوز شد.
۸. DNA خالص شده در دمای ۲۰- درجه سانتی گراد نگهداری شد.

---

1 - Elution buffer

## پیوست جداول

**جدول ۱. نحوه آماده سازی ژل پایین در PAGE**

درصد T						اجزای ژل پایین
(ml)%۲۰	(ml)%۱۷/۵	(ml)%۱۵	(ml)%۱۲/۵	(ml)%۱۰	(ml)%۷/۵	
۳	۳	۳	۳	۳	۳	بافر ژل پایین
۷/۸	۶/۸	۵/۸	۴/۹	۳/۹	۲/۹	محلول استوک اکریل آمید
۱/۲	۲/۲	۳/۲	۴/۱	۵/۱	۶/۱	آب مقطر
۰/۰۵	۰/۰۵	۰/۰۵	۰/۰۵	۰/۰۵	۰/۰۵	پرسولفات آمونیوم ۱۰ درصد
۰/۰۵	۰/۰۵	۰/۰۵	۰/۰۵	۰/۰۵	۰/۰۵	۱۰ TEMED

**جدول ۲. نحوه آماده سازی ژل بالا در PAGE**

درصد T			اجزای ژل بالا
۵ درصد (ml)	۴ درصد (ml)	۳ درصد (ml)	
۱/۲۵	۱/۲۵	۱/۲۵	بافر ژل بالا
۰/۸۱	۰/۶۵	۰/۵	محلول استوک اکریل آمید
۲/۹	۳/۰۵	۳/۲	آب مقطر
۰/۰۵	۰/۰۵	۰/۰۵	پرسولفات آمونیوم ۱۰ درصد
۰/۰۱۵	۰/۰۱۵	۰/۰۱۵	۱۰ TEMED

---

**جدول ۳. نحوه آماده سازی ژل پایین و میانی در SDS PAGE Tris Tricin**

اجزای ژل	(ml) ژل پایین (٪/۱۶/۵)	(ml) ژل میانی (٪/۱۰)
بافر ژل پایین - میانی	۴	۲
محلول استوک اکریل آمید	۶/۶	۲
گلیسروول	۱/۳	-
آب مقطر	-	۱/۹۵
پرسولفات آمونیوم ۱۰ درصد	۰/۰۵	۰/۰۲۵
۱۰ TEMED درصد	۰/۰۵	۰/۰۲۵

---

**جدول ۴. نحوه آماده سازی ژل بالا در SDS PAGE Tris Tricin**

اجزای ژل	(ml) ژل بالا (٪/۴)
بافر ژل بالا	۱/۵
محلول استوک اکریل آمید	۰/۸
آب مقطر	۳/۶
پرسولفات آمونیوم ۱۰ درصد	۰/۰۵
۱۰ TEMED درصد	۰/۰۲
۰/۰۵ مولار EDTA	۰/۰۲

---

**جدول ۵. ترکیبات و مقدار آن‌ها در بافر CTAB**

NaCl 5 M	CTAB	EDTA 0.5 M	Tris 1 M	ماده
				مقدار ماده در ۱ لیتر
۲۸۰ ml	۲۰ g	۴۰ ml	۱۰۰ ml	

**جدول ۶. ترکیبات بافر ۵x - TBE**

ترکیبات	مقدار در حجم ۱۰۰۰ سی سی
EDTA	۳/۷۵ g
Boric acid	۲۷/۵ g
Tris-base	۵۴ g

## منابع

- احمدزاده، م.، ۱۳۸۱، بررسی اثر ریزوباکتری‌های آنتاگونیست از جنس‌های *Bacillus* و *Pseudomonas* علیه بیماری‌های پوسیدگی بذر و مرگ گیاهچه لوبیا و مطالعه مکانیزم‌های آنتاگونیستی آن‌ها. رساله دکتری دانشکده کشاورزی دانشگاه تهران، ص ۱۴۶.
- بابایی، ن.، ملکزاده، ف.، امامی، م. و بابایی، م.، ۱۳۷۸، بررسی خواص ضد میکروبی استرپتومیسین‌ها و قارچ‌های جدا شده از خاک‌های جنگل آمل و مناطق بیابانی کهریزک و حسن آباد خالصه. پژوهش و سازندگی در زراعت و باغبانی. ص ۱۲۰-۱۲۴.
- حریقی، م.، مطلبی، م.، زمانی، م.، ۱۳۸۵، خالص سازی آنزیم کیتیناز ۴۲ از ۵۲۲۰ *Trichoderma atroviride* PTCC. مجله زیست‌شناسی ایران. ص ۲۱۴-۲۰۳.
- خسروشاهی، م.، ۱۳۸۵، راهبردهای منابع آب در بیابان و بیابان زدایی: شاخص مهم بیابان زدایی از منظر آب. در دسترس در آدرس اینترنتی. <http://khosromk.blogfa.com/post-62.aspx>.
- سجادی، س.ا.، حسن‌زاده، ن.، بهرامی، م. و خسروی، و.، ۱۳۸۵، بررسی امکان مبارزه بیولوژیک با عامل بیماری سوختگی غلاف برگ برنج توسط آنتاگونیست‌های باکتریایی. ویژه‌نامه علمی-پژوهشی علوم کشاورزی. ص ۲۰۲-۲۱۲.
- سید اصلی، ن.، زمانی، م.، مطلبی، م.، حریقی، م.، ۱۳۸۳، مطالعه تولید آنزیم کیتیناز در قارچ تریکودرما. مجله زیست‌شناسی ایران. ص ۲۲۳-۲۲۷.
- صالحی، س.، رضایی مقدم، ک.، آجیلی، ع.، ۱۳۸۸. نگرش و تمایل کارشناسان کشاورزی به کاربرد فناوری‌های میزان متغیر سوم با استفاده از مدل معادلات ساختاری. مجله علوم و فنون کشاورزی و منابع طبیعی. ص ۷۵۷-۷۷۱.
- صارمی، ح.، اثرات منفی سوموم مصرفی برای کنترل آفات و بیماری‌های گیاهی در بهداشت محیط‌زیست و کاهش مصرف آن با افزایش روش‌های کنترل بیولوژیک، چهارمین همایش کشوری بهداشت محیط. ص ۱۰۶۹-۱۰۷.
- کاشانی، ع.، ۱۳۸۰، کشاورزی پایدار در ایران، مفاهیم، روش‌ها و وضع موجود مجله جهاد. ص ۲۴۰-۲۴۱.
- مزگانی، ن.، اسماعیل خانیان، س.، عاملی، م.، یوسفی، ا.، ۱۳۸۵، شناسایی و تشخیص باکتریوسمین تولید شده توسط *Lactobacillus acidophilus* (RN78). ص ۴۲-۳۶.

- Agrios, G. (2005) Plant pathology, Drechsel, D., 922.
- Abel, T. (1995) Pore-forming bacteriocins of gram-positive bacteria and self-protection mechanisms of producer organisms. FEMS Microbiol. Lett. **129**: 1–10.
- Baba, T. and Schneewind, O. (1998) Instruments of microbial warfare: bacteriocin synthesis, toxicity and immunity. Trends Microbiol. **6**:66–71.
- Baker, K.F. (1987) Evolving concepts of biological control of plant pathogens. Annual Review of phytopathology **25**: 67-85.
- Barja, J.L., Lemos, M.L., Toranzo, A. (1989) Purification and characterization of an antibacterial substance produced by a marine *Alteromonas* species. Antimicrob Agents Chemother. **33**: 1674–1679.
- Benedict, R.G., Braddy, L.R. (1972) Antimicrobial activities of Mushroom metabolites. J. Pharm. Sci. **61**: 1820 – 1822.
- Bevins, C. (1994) Antimicrobial peptides as agents of mucosal immunity. Ciba Found. Symp **186**: 250–269.
- Boman, H.G. (1995) Peptide antibiotics and their role in innate immunity. Annu. Rev. Immunol **13**: 61–92
- Broekaert, W.F., Cammue, B.P.A., Debolle, M.F.C., Thevissen, K., Desamblanx, G.W. and Osborn, R.W. (1997) Antimicrobial peptides from plants. Crit. Rev. Plant Sci. **16**: 297–323.
- Cammue, B.P.A., Thevissen, K., Hendriks, M., Eggermont, K., Goderis, I.J., Proost, P., Damme, J.V., Osborn, R.W., Guerbette, F., Kader, J.C., Broekaert, W.F. (1995) A potent

- antimicrobial protein from onion seeds showing sequence homology to plant lipid transfer proteins. *Plant Physiol.* **109**: 445–455.
- Campbell, R. (1989) Biological control of microbial plant pathogens, 218.
- Cheikhlyoussef, A., Pogori, N., Zhang, H. (2007) Study of the inhibition effects of *Bidobacterium* supernatants towards growth of *Bacillus cereus* and *Escherichia coli*. *Int J Dairy Sc.* **2**:116–125.
- Cheikhlyoussef, A., Pogor,i N., Chen, W., Zhang, H. (2008) Antimicrobial proteinaceous compounds obtained from *Bidobacteria*: from production to their application. *Int J Food Microbiol.* **125**: 215–222.
- Cook, R.J., Baker, K.F. (1983) The nature and practice of biological control of plant pathogens.St Paul, Minnesota American phttopathological Society.
- Csordas, A., and Michl, H. (1970) Isolation and structure of a haemolytic polypeptide from the defensive secretion of European *Bombina* species. *Monatsh. Chem* **101**: 182–189.
- Dathe, M., Nikolenko, H., Meyer, J., Beyermann, M. and Bienert, M. (2001) Optimization of the antimicrobial activity of magainin peptides by modification of charge. *FEBS Lett* **501**:146–150.
- Destoumieux, D., Bulet, P., Loew, D., Dorsselaer, A.V., Rodriguez, J., Bachère, E. (1997) Penaeidins, a new family of antimicrobial peptides isolated from the shrimp *Penaeus vannamei* (Decapoda). *J Biol Chem* **272**: 398–406.
- Devuyst, L. and Vandamme, E.J. (1994) Bacteriocins of LAB, microbiology, Genetics and applications. Blackie Academic and Professional. London.
- Elov, J.N. (1998) A sensitive and quick microplate method to determine the minimal Inhibitory concentration of plant extracts for bacteria. *Planta Med* **64**: 711–713.
- Erlman, D., and Bodansky, M. (1971) Biosynthesis of peptide antibiotics. *Annu. Rev. Biochem* **40**: 449–464.
- Fagad, O.E., Oylade, A.A. (2009) A comparative of the antibacterial activites of some wood-decay fungi to synthetic antibiotic discs. *EJEAFCHE* **8**: 184-188.
- Farrokhi, N., Whitelegge, J.P., and Brusslan, J.A. (2008) Plant peptides and peptidomics. *Plant Biotechnol* **6**: 105–134.
- Fuchs, S.W., Bochmann, S., Kotter, P., Wichelhaus, T., Karas, M., Stein, T., Entian, K.D. (2011) Entianin, a Novel Subtilin-Like Lantibiotic from *Bacillus subtilis* DSM 15029T with High Antimicrobial Activity. *Appl Environ Microbiol*: 1698-1707.
- Ganz, T., and Lehrer, R.I. (1997) Antimicrobial peptides of leukocytes. *Curr. Opin. Hematol.* **4**: 53–58.
- Garcia-Bustos, J.F., Mendez, E. (1985) Structure and mode of action of microcin 7, an antibacterial peptide produced by *Escherichia coli*. *Antimicrob Agents Chemother*: 791-797.
- Gardener, B.B.M., Fravel, D.R. (2002) Biological control of plant pathogens : research, commercialization, and application in the USA,plant health instructor.doi: 10.1094.
- Geison, R.P. (2000) *Nalgiovense* carries a gene which is homologus to the *paf* gene of *P. chrysogenum* which codes for an antifungal peptide. *Int J Food Microbiol* **62**: 95–101.
- Giuliani, A., Pirri, G., Nicoletto, S.F. (2007) Antimicrobial peptides: an overview of a promising class of therapeutics. *Central Eur J Biol* **1**: 1–33.
- Grunewald, J. and Marahiel, M.A. (2006) Chemoenzymatic and template-directed synthesis of bioactive macrocyclic peptides. *Microbiol Mol Biol Rev.* **70**: 121–146.
- Habermann, E. (1972) Bee and wasp venoms. *Science*. **177**: 314–322.
- Hajji, M., Jellouli, K., Hmidet, N., Balti, R., Kamoun, A.S., Naseri, M. (2010) A highly thermostable antimicrobial peptide from *Aspergillus clavatus* ES1: biochemical and molecular characterization, *JInd microbial biotechnol* **37** : 805-813.
- Hancock, R.E., Chapple, D.S. (1999) Peptide antibiotics. *Antimicrob Agents Chemother* **43**: 1317–1323.

- Hancock, R.E.W., Falla, T., and Brown, M.H. (1995) Cationic bactericidal peptides. *Adv. Microb. Physiol* **37**: 135–175.
- Hancock, R.E.W. and Lehrer, R. (1998) Cationic peptides: a new source of antibiotics. *Trends Biotechnol* **16**:82–88.
- Hartly, C. (1921) Damping off in forest nurseries. *USDA Bulletin* **943**: 1-99.
- Henry, A.w. (1943) The natural microflora of soil in relation to the foot rot problem of weat, *Canadian of Research* **4**: 69-77.
- Henning, D. (2000) Construction of hybrid peptide synthetase by module and domain fusions. *PNAS* **97** (11): 5848-5853.
- Hoffman, J.A., and Reichart, J.M. (1997) *Drosophila* immunity. *Cell Biol* **7**:309–316.
- Hu, Z., Ye, M.Q., Xia, L.Q., Tu, W.J., Li, L., Zou, G.L. (2006) Purification and characterization of an antibacterial protein from the cultured mycelia of *Cordyceps sinensis*. *Wuhan University Journal of Natural Sciences* **3**: 709–714.
- Hultmark, D., Steiner, H., Rasmusson, T., and Boman, H.G. (1980) Insect immunity: purification and properties of three inducible bactericidal proteins from hemolymph of immunized pupae of *Hyalophora cecropia*. *Eur. J. Biochem* **106**:7–16.
- Huynh, Q.K., Bergmeyer, J.R., Zobel, J.F. (1992) Isolation and characterization of a 22 kDa protein with antifungal properties from maize seeds. *Biochem Biophys Res Commun* **182**: 1–5.
- Jabrane, A., Sabri, A., Compere, P., Jacques, P., Vandenbergh, I., Van Beeumen, J. and Thonart, P. (2002) Characterization of serracin P, a phage-tail-like bacteriocin, and its activity against *Erwinia amylovora*, the fire blight pathogen. *Appl. Environ. Microbiol*, **68**: 5704-5710.
- Jackson, R.W. (2009) Plant pathogenic Bacteria:Genomics and Molecular Biology, 330.ISBN:978-1-90455-37-0.
- Jack, R.W., and Jung, G. (1998). Natural peptides with antimicrobial activity. *Chimia* **52**:48–55.
- James, S.G., Holmstrom, C., Kjelleberg, S. (1996) Purification and characterization of a novel antibacterial protein from the marine bacterium D2. *Appl Environ Microbiol* **62**: 2783–2788.
- Kato, T., Matsuda, T., Yoneyama, Y., Kato, H. and Nakamura, R. (1993) Isolation of *Enterococcus faecium* with antibacterial activity and characterization of its bacteriocin. *Biosci Biotech Biochem* **57**:551-556.
- Kelleher, N.L. and Hicks, L.M. (2005) Contemporary mass spectrometry for the direct detection of enzyme intermediates. *Curr Opin Chem Biol* **9**: 424–430.
- Kiss, G., and Michl, H. (1962) On the venomous skin secretion of the orange speckled frog *Bombina variegata*. *Toxicon* **1**: 33–39.
- Kleinkauf, H. and von Dohren, H. (1988) Peptide antibiotics, b-lactams and related compounds. *Crit. Rev. Biotechnol.* **8**: 1–32.
- Kreil, G. (1994) Antimicrobial peptides from amphibian skin: an overview. *Ciba Found. Symp.* **186**:77–90.
- Krishnakumari, V., Nagaraj, R. (1997) Antimicrobial and hemolytic activities of crabrolin, a 13-residue peptide from the venom of the European hornet, *Vespa crabro*, and its analogs. *J Pept Res* **50**: 88–93.
- Krishna, K., Gardener, B.M. (2006) Biological control of plant pathogens.The plant health instctor. 1-25.
- Kristensen, H.H. (2005) Plectasin is a peptide antibiotic with therapeutic potential from a saprophytic fungus. *nature* **437**: 975-980.
- Lacadena, J., Martinez, A., Gasset, M., Patino, B., Campos, R., Vazquez, C. (1995) Characterization of the antifungal protein Secreted by the mould *Aspergillus giganteus*. *Arch Biochem Biophys* **324**: 273–281.

- Lata, S., Sharma, B.K., Raghava, G.P.S. (2007) Analysis and prediction of antibacterial peptides. *BMC Bioinformatics* **8**:1-10
- Lemaitre, C., Orange, N., Saglio, P., Saint, N., Gagnon, J., Molle, G. (1996) Characterization and ion channel activities of novel antibacterial proteins from the skin mucosa of carp (*Cyprinus carpio*). *Eur J Biochem* **240**: 143–149.
- Lemaitre, B., Reichhart, J. and Hoffman, J.A. (1997) Drosophila host defense: differential induction of antimicrobial peptide genes after infection by various classes of microorganisms. *Proc. Natl. Acad. Sci. USA* **94**:14614– 14619.
- Longeon, A., Peduzzi, J., Barthelemy, M., Corre, S., Nicolas, J.L., Guyot M. (2004) Purification and partial identification of novel antimicrobial protein from marine bacterium *Pseudoalteromonas* species strain X153. *Mar Biotechnol* **6**: 633–641.
- Marx, F. (2004) Small, basic antifungal proteins secreted from Wlamentous ascomycetes: comparative study regarding expression, structure, function and potential application. *Appl Microbiol Biotechnol* **65**:33–42.
- Mayr-Hartings, A., hedges, A.J., and Berkeley, R.C.W. (1972) Methods for studying bacteriocins. *Methods Microbiol* **7**: 315-422.
- Millard, W.A. and Taylor, C.B. (1927) Antagonism of microorganism as the controlling factor in the inhibition of Scab by green manuring. *Annals of Applied Biology* **14**: 202-16.
- Mor, A., and Nicolas, P. (1994). Isolation and structure of novel defensive peptides from frog skin. *Eur. J. Biochem* **219**:145–154.
- Mootz, H.D., Schwarzer, D. and Marahiel, M.A. (2002) Ways of assembling complex natural products on modular nonribosomal peptide synthetases. *ChemBioChem* **3**: 490–504.
- Mygind, P.H., Fischer, R.L., Schnorr, K.M., Hansen, M.T., Sonksen, C.P., Ludvigsen, S., Raventos, D., Buskov, S., Christensen, B., Maria, L.D., Taboureau,O., Yaver, D., Gorgensen, S.G.E., Sorensen M.V., Christensen, B.E., Kjaerlff, S., Moller, N.F., Lehrer, R.L., Zasloff, M., Ngai, P.H.K., Zhao, Z., Ng, T.B. (2005) Agrocybin,an Antifungal peptide from the edible mushroom *Agrocybe clindracea*. *PEPTIDES* **26**: 191-196.
- Nicolas, G.M.H., LaPointe, G., Lavoie, M.C. (2006) Mutacin H-29B is identical to mutacin II (J-T8). *BMC Microbiol* **6**: 3.
- Otvos, L. (2005) Antibacterial peptides and proteins with multiple cellular targets. *J Peptide Sci*, **11**:697-706.
- Perlman, D. and Bodansky, M. (1971) Biosynthesis of peptide antibiotics. *Annu. Rev. Biochem* **40**: 449–464.
- Radji, M., sumiati, A., rachmayani, R. and Elya, B. (2011) Isolation of fungal endophytes from *Garcinia mangostana* and their antibacterial activity **1**: 103-107.
- Rea MC, S.C., Clayton, E., OConnor, P.M., Whittal, R.M., Zheng, J., Vederas, J.C., Ross, R.P., Hill, C. (2010) Thuricin CD, a posttranslationally modified bacteriocin with a narrow spectrum of activity against Clostridium difficile. *Proc Natl Acad Sci U S A*: 9352-9357.
- Reiber, K., Reeves, E.P., Neville, C., Winkler, R., Gebhardt, P., Kavanagh, K. and Doyle, S. (2005) The expression of three nonribosomal peptide synthetases in *Aspergillus fumigatus* is mediated by the availability of free iron. *FEMS Microbiol Lett* **248**: 83–91.
- Rezaei-Moghaddam, K., Karami, E. and Gibson, J. (2005) Conceptualizing sustainable agriculture: Iran as an illustrative case. *J. Sustainable Agric* **27**: 25-56
- Rishbeth, J. (1963) Stump protection against *Fomes annosus*.III Inoculation with *Peniophora gigantea*. *Annals of Applied Biology* **52**: 63-77.
- Rokni-Zadeh, H., Li, W., Sanchez-Rodriguez, A., Sinnaeve, D., Rozenski, J., Martins, J.C., De Mot, R. (2012) Genetic and Functional Characterization of Cyclic Lipopeptide White-Line-Inducing Principle (WLIP) Production by Rice Rhizosphere Isolate *Pseudomonas putida* RW10S2. *Appl. Environ. Microbiol* **78**: 4826–4834.

- Rosengren, K.J., Daly, N.L., Goransson, U., Jones, A., Craik, D.J. (2003) Microcin J25 has a threaded sidechain-to-backbone ring structure and not a head-to-tail cyclized backbone. *J Am Chem Soc* **41**: 12464-12474.
- Sanford, G.B. (1926) Some factors affecting the pathogenicity of *Actinomyces scabies*. *Phytopathology* **16**: 525-47.
- Selsted, M. E., Szklarek, D., Ganz, T. & Lehrer, R. I. (1985) Activity of rabbit leukocyte peptides against *Candida albicans*. *Infect. Immun.* **49**: 202–206.
- Shai, Y. and Oren, Z. (2001) From “carpet” mechanism to de-novo designed diastereomeric cell-selective antimicrobial peptides. *Peptides* **22**:1629–1641.
- Silva, M.G., Dose, A. (2004) The best penicillin for resistant bacteria. *Journal of Antibiotics* **48**: 562-569.
- Smith, K.P., Havey, M. J. and Handelsman, J. (1993) Suppression of cottony leak of cucumber with *Bacillus cereus* strain UW85. *Plant Dis.* **77**:139-142.
- Stack, D., Nevill, C., Doyle, S. (2007) Nonribosomal peptide synthesis in *Aspergillus fumigatus* and other fungi. *Microbiology* **153**: 1297-1306.
- Steiner, H., Hultmark, D., Engstrom, A., Bennich, H., Boman, H.G. (1981) Sequence and specificity of two antibacterial proteins involved in insect immunity. *Nature* **292**: 246–248.
- Stein, T., Vater, J., Kruft, V., Otto, A., Wittmann-Liebold, B., Franke, P., Panico, M., McDowell, R. and Morris, H.R. (1996) The multiple carrier model of nonribosomal peptide biosynthesis at modular multienzyme templates. *J. Biol. Chem* **271**: 15428–15435.
- Tagg, J.R., Dajani, A.S. and Wannamaker, L.W. (1976) Bacteriocins of Gram-positive bacteria. *Bacteriol Rev* **40**:722-756.
- Tahara, T., Kanatani, K., Yoshida, K., Hirosumi, M., Sakamoto, M. and Oshimura, M. (1991) Purification and some properties of acidocin 8912, a novel bacteriocin produced by *L. acidophilus* TK 8912. *Biosci Biotech Biochem* **56**:1212-1215.
- Talas, T. (2004) Screening antimicrobial activities of basic protein fractions from dry and germinated wheat seeds. *Biologia Plantarum* **48**: 583–588.
- Tong, W.Y., Darah, I. and Latifeh, Z. (2011) Antimicrobial activities of endophytic fungal isolation from medicinal herb *Orthosiphon stamineus* benth. **5**: 831-836.
- Torres-Larios, A., Gurrola, G.B., Zamudio, F.Z., Possani, L.D. (2000) Hadurin, a new antimicrobial peptide from the venom of the scorpion *Hadrurus aztecus*. *Eur J Biochem* **267**: 5023–5031.
- Turgay, K., Krause, M. and Marahiel, M.A. (1992) *Microbiol* **6**: 529.
- Van Belkum, M.J., Kok, J.G., Venema, H., Holo, I.F., Konings, W.N. and Abbe, T. (1991) The bacteriocin lactococcin A specifically increases permeability of lactococcal cytoplasmic membranes in a voltage-independent, protein mediated manner. *J. Bacteriol.* **173**:7934–7941.
- Vidaver, A.K. and Lambrecht, P.A. (2004) Bacteria as plant pathogens. plant health instructor.doi:10.1094.
- Wiest, A., Grzegorski, D., Xu, B.W., Goulard, C., Rebuffat, S., Ebbole, D.J., Bodo, B. and Kenerley, C. (2002) Identification of peptaibols from *Trichoderma virens* and cloning of a peptaibol synthetase. *J Biol Chem* **277**: 20862–20868.
- Yeaman, M.R. and Yount, N.Y. (2003) Mechanisms of Antimicrobial Peptide Action and Resistance. *P HARMACOLOGICAL REVIEWS* **55**:27–55
- Zasloff, M. (2002) Antimicrobial peptides of multicellular organisms. *Nature* **415**: 389–395.
- Zheng, S., Liu, Q., Zhang, G., Wang, H., Ng, T.B. (2010) Purification and characterization of an antibacterial protein from dried fruiting bodies of antibacterial protein from dried fruiting bodies the wild mushroom *Clitocybe sinopica*. *ABPs* **57**: 43-48.
- Zendo, T.F.M., Ueda, K., Higuchi, T., Nakayama, J., Sonomoto, K., (2003) Purification and biological characterization of halocin C<sub>8</sub>, a novel Identification of the lantibiotic nisin Q, a

new natural nisin variant produced by *Lactococcus lactis* 61-14 isolated from a river in Japan. Biosci Biotechnol Biochem **67**: 1616-1619.

## **Abstract**

Bacterial phytopathogens have a great impact on yield loss. In between, the causative agent of citrus canker *Xanthomonas citri* subsp. *citri* (Xcc), has influenced citri culture worldwide. Use of chemicals, the common method of bacterial control, has many negative effects on ecosystems. On the other hand, biological control of bacterial pathogens is an environmentally friendly technique that was considered in this study. Two fungal secretomes were used to study their antagonistic effects against an isolate of Xcc, namely NIGEB-88 with disk diffusion method. In order to determine the nature of antimicrobial agent, present in both secretomes, they were treated with a range of protease. As a result the antimicrobial activity were diminished significantly that suggesting being a protein by nature. In continuation of our studies the inhibitory spectrum of antimicrobial proteins (AMPs) were tested against available bacterial and fungal species, that could inhibit their growth. These compounds showed to be tolerant in response to heat, basic and acidic pHs and number of detergents, too.

**Keywords:** Bacterial disease, Fungi, Biological control



**Shahrood University of Technology  
Faculty of Agronomy and Plant Breeding**

The Dissertation of M.Sc. in plant Biotechnology

**Study on the Interaction of Fungi with Plant Pathogenic  
Bacteria for Bacteria Biocontrol**

**Sara kazemzadeh**

**Supervisors:**

Dr. N. Farrokhi  
Dr. M. Mamarabadi

**Advisors:**

Dr. S.Aminzadeh  
Dr. Sh.Gharanjik

**Date: September 2013**